

## Le cheval dans la culture eubéenne des Âges obscurs

**Auteur :** Arambatzis, Eva

**Promoteur(s) :** Morard, Thomas

**Faculté :** Faculté de Philosophie et Lettres

**Diplôme :** Master en histoire de l'art et archéologie, orientation générale, à finalité approfondie

**Année académique :** 2023-2024

**URI/URL :** <http://hdl.handle.net/2268.2/21756>

---

### Avertissement à l'attention des usagers :

Tous les documents placés en accès ouvert sur le site le site MatheO sont protégés par le droit d'auteur. Conformément aux principes énoncés par la "Budapest Open Access Initiative"(BOAI, 2002), l'utilisateur du site peut lire, télécharger, copier, transmettre, imprimer, chercher ou faire un lien vers le texte intégral de ces documents, les disséquer pour les indexer, s'en servir de données pour un logiciel, ou s'en servir à toute autre fin légale (ou prévue par la réglementation relative au droit d'auteur). Toute utilisation du document à des fins commerciales est strictement interdite.

Par ailleurs, l'utilisateur s'engage à respecter les droits moraux de l'auteur, principalement le droit à l'intégrité de l'oeuvre et le droit de paternité et ce dans toute utilisation que l'utilisateur entreprend. Ainsi, à titre d'exemple, lorsqu'il reproduira un document par extrait ou dans son intégralité, l'utilisateur citera de manière complète les sources telles que mentionnées ci-dessus. Toute utilisation non explicitement autorisée ci-avant (telle que par exemple, la modification du document ou son résumé) nécessite l'autorisation préalable et expresse des auteurs ou de leurs ayants droit.

---



Faculté de Philosophie et Lettres  
Histoire de l'Art et archéologie

# ΙΙΠΠΟΙ

Le cheval dans la culture eubéenne des Âges obscurs



Eva Arambatzis

**Cahier d'illustrations**

Image de couverture : Dessin du fragment de cratère ME16635 de Xéropolis.  
(SIMON & VERDAN 2014, Fig. 3.)

# Planche 1

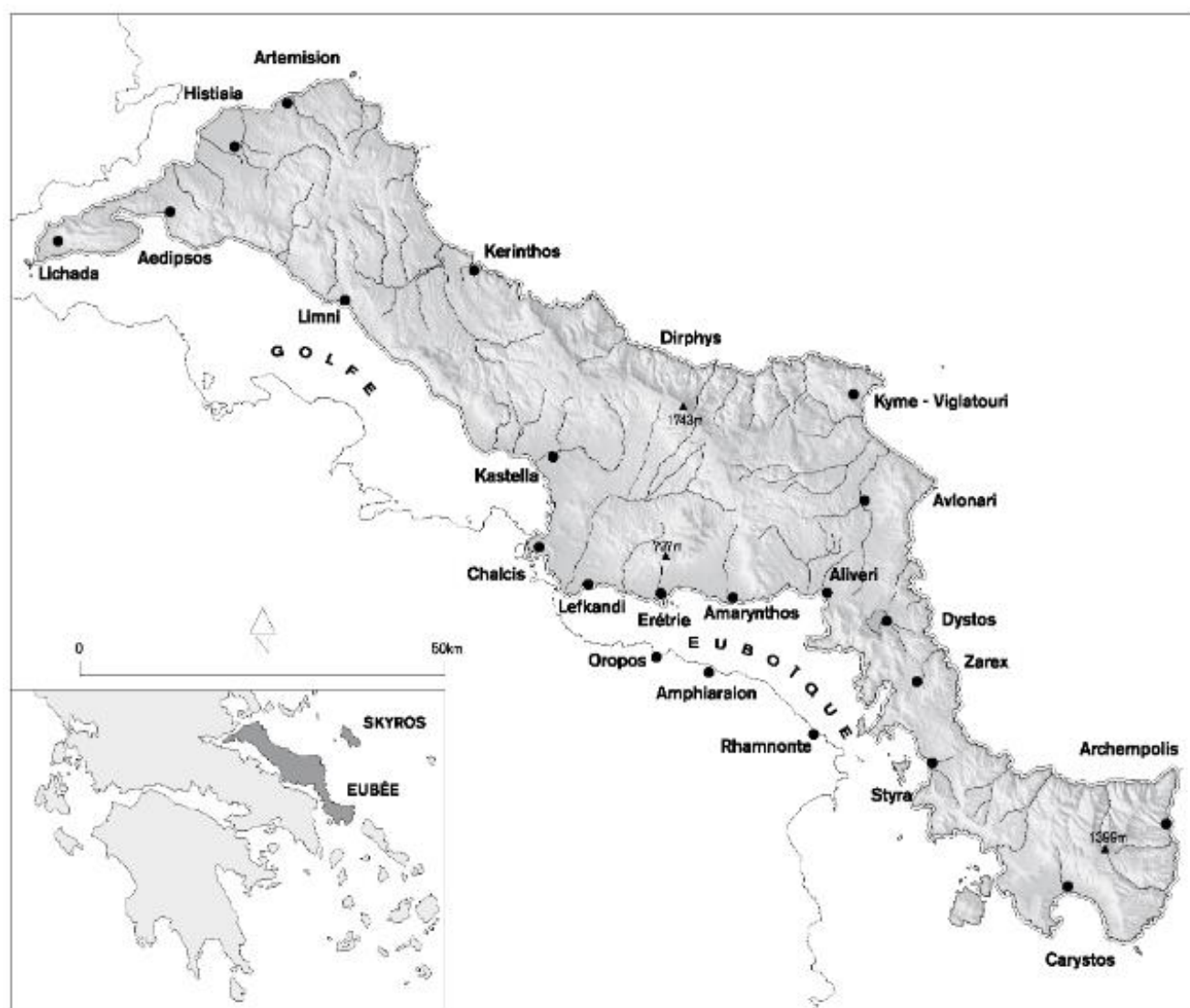


Fig. 1 : Carte de l'île d'Eubée et de ces principaux sites.

(*Eretria* XVII, Pl. 1.)

## Planche 2

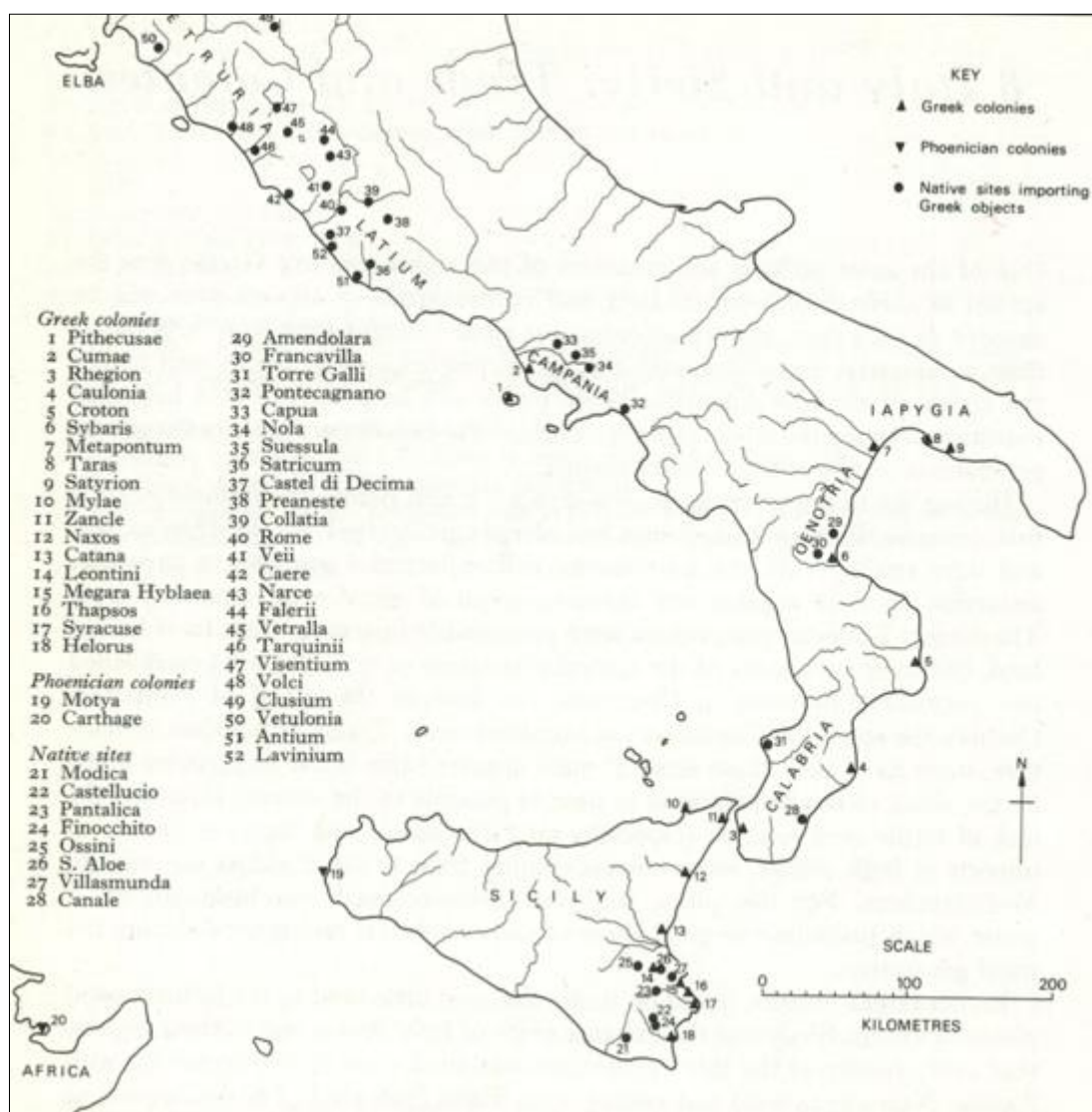


Fig. 2 : Carte des colonies et cités d'Italie du sud et de Sicile au VIII<sup>e</sup> siècle av. J.-C.  
(COLDSTREAM 1977, Fig. 72)

### Planche 3



Fig. 3 : Carte des colonies fondée ou co-fondées par les Eubéens, avec en rouge, les sites concernés par cette étude.

(GREGER 2023. Modifié par l’auteure.)

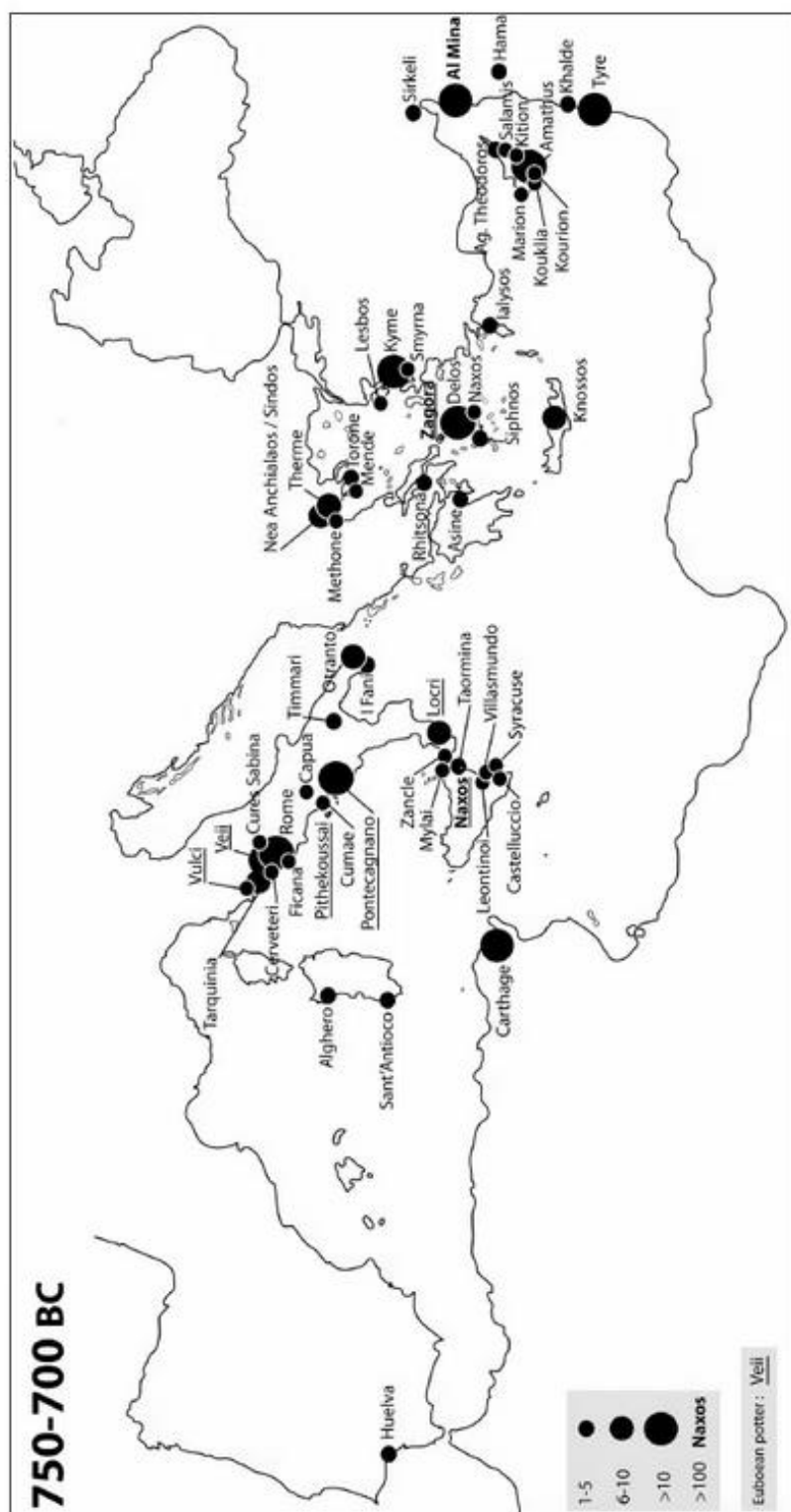


Fig. 4: Carte de la distribution de céramiques eubéennes durant le VIII<sup>e</sup> siècle av. J.-C., dans le bassin méditerranéen (DESCOEUDRES 2005, Fig. 3.)

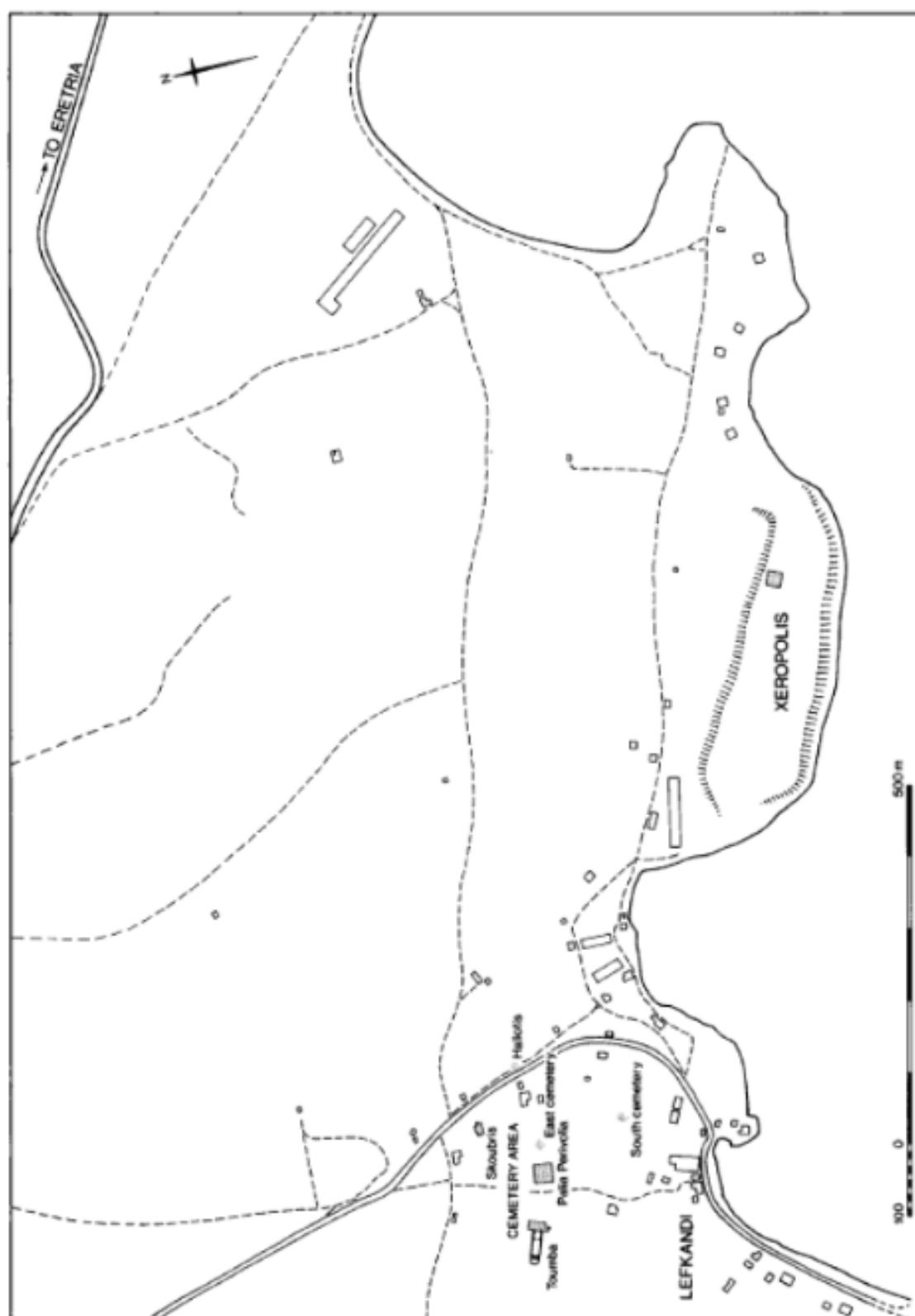


Fig. 5: Plan de Lefkandi, des nécropoles et du site urbain de Xéropolis.

(*LEFKANDI* II, Pl. 1.)



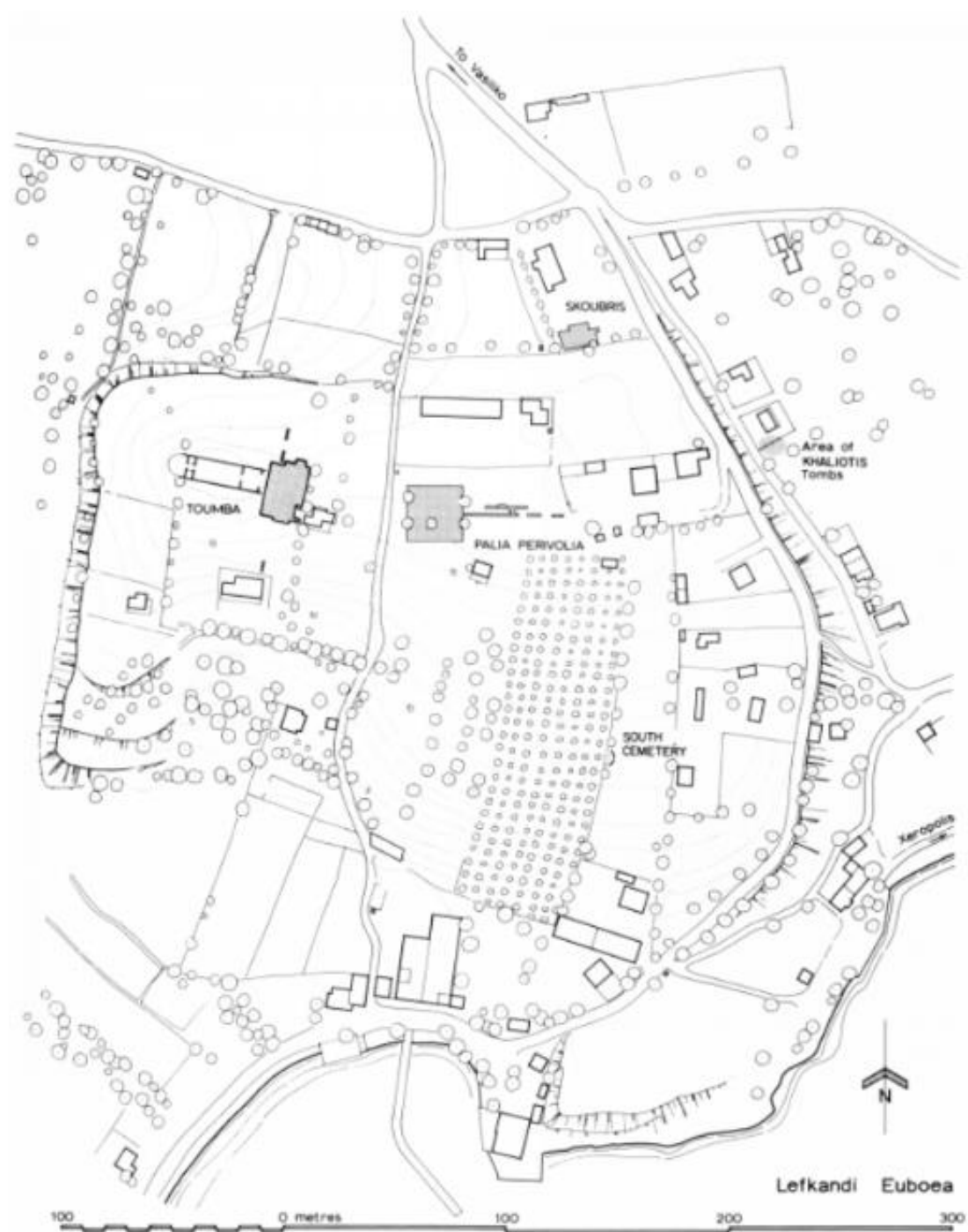


Fig. 6: Plan de Lefkandi, des nécropoles et le site urbain de Xéropolis.  
(*LEFKANDI* II , Pl. 3.)

Planche 7



Fig. 7: Photo aérienne de Lefkandi et ses environs, avec l'emplacement de l'hérôon de la nécropole de Toumba, tracé en blanc (en haut à gauche).

(*LEFKANDI* II, Pl. 2.)

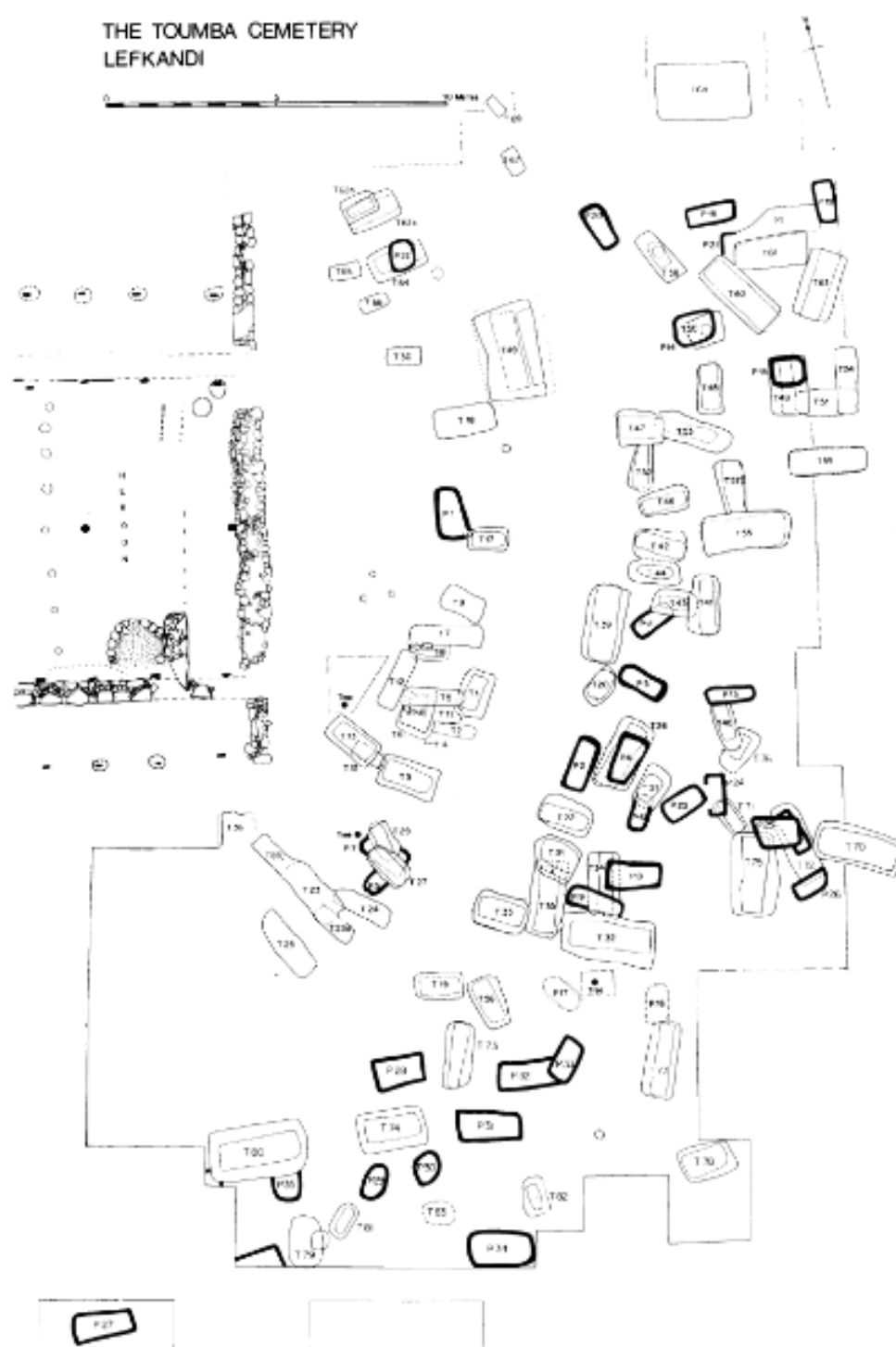


Fig. 8: Plan de la nécropole de Toumba, à Lefkandi, de l'hérôon et des tombes alentours.  
(POPHAM & LEMOS 1996, Pl. 3.)

Planche 9

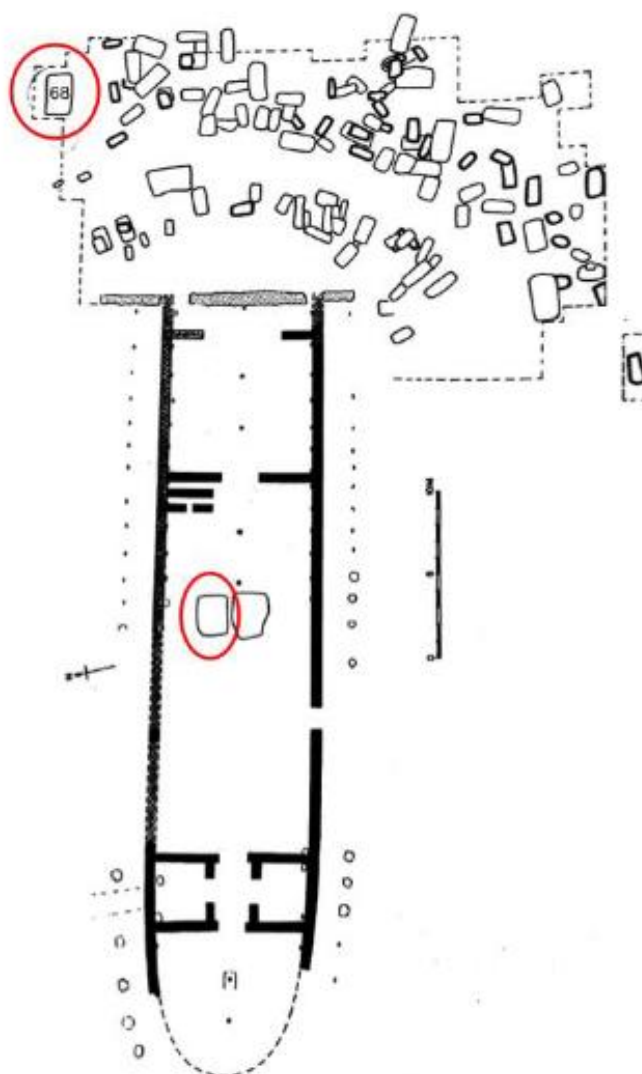
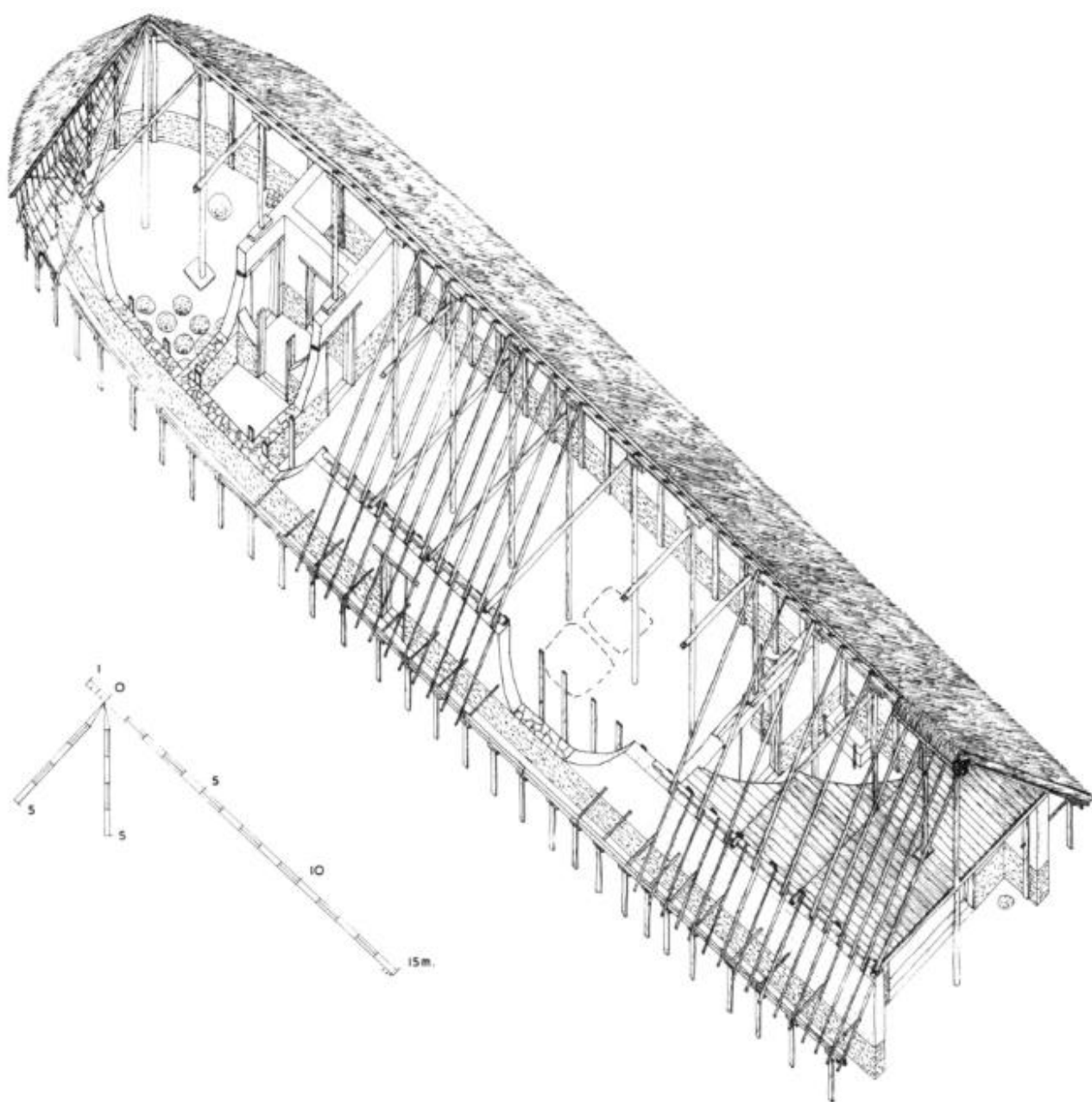


Fig. 9: Plan de l'hérôon et des tombes aux alentours avec, en rouge, les fosses accueillants des squelettes de chevaux.

(POPHAM & LEMOS 1996, Pl. 4. Modifié par SØBAKKEN 2019, Fig. 16.)

Planche 10



Axonometric drawing of the building as reconstructed

Fig. 10: Plan reconstituant l'hérôon de Tumba, à Lefkandi, et ses élévations.  
(*LEFKANDI* II, Pl. 28.)

# Planche 11

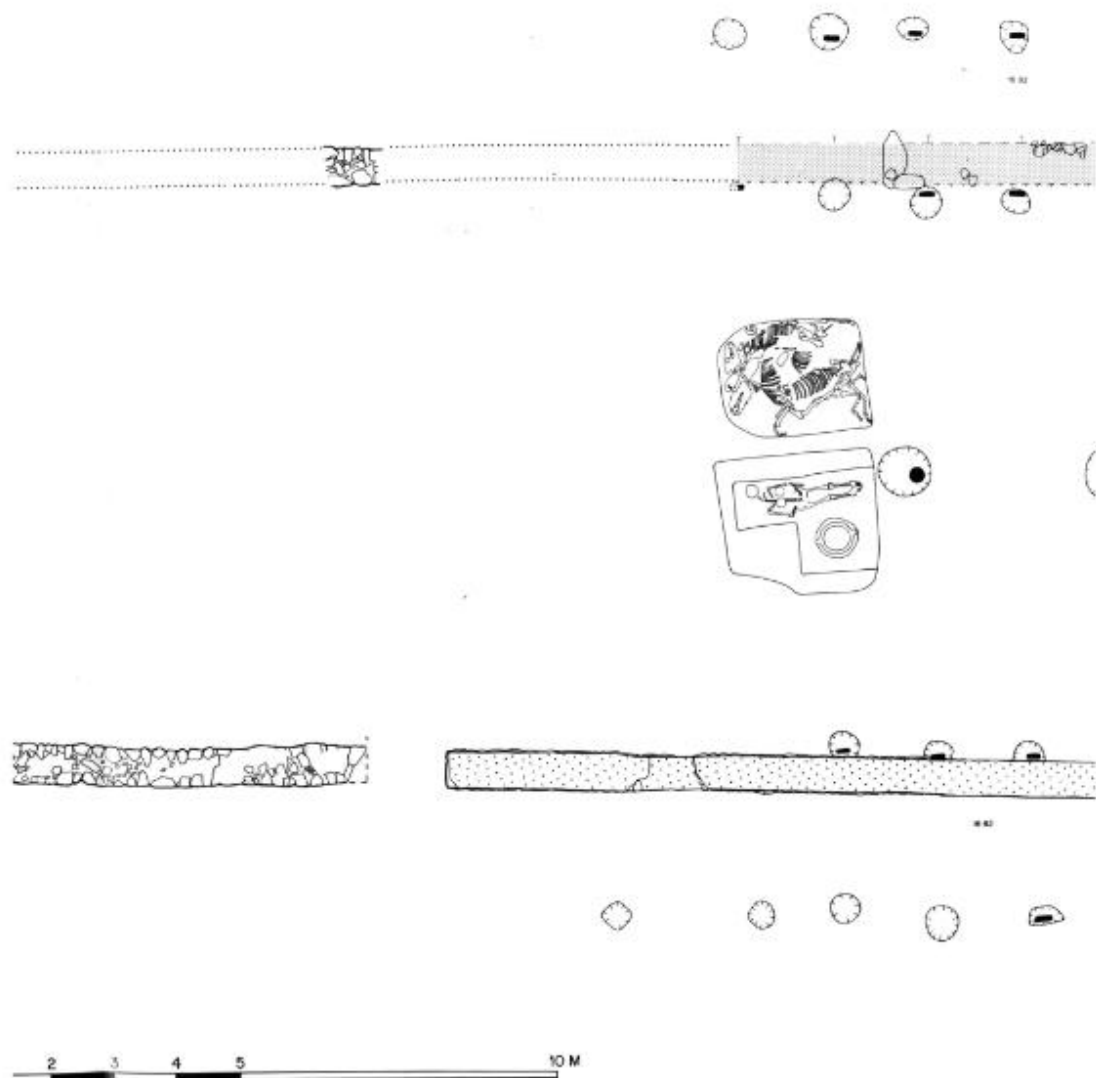
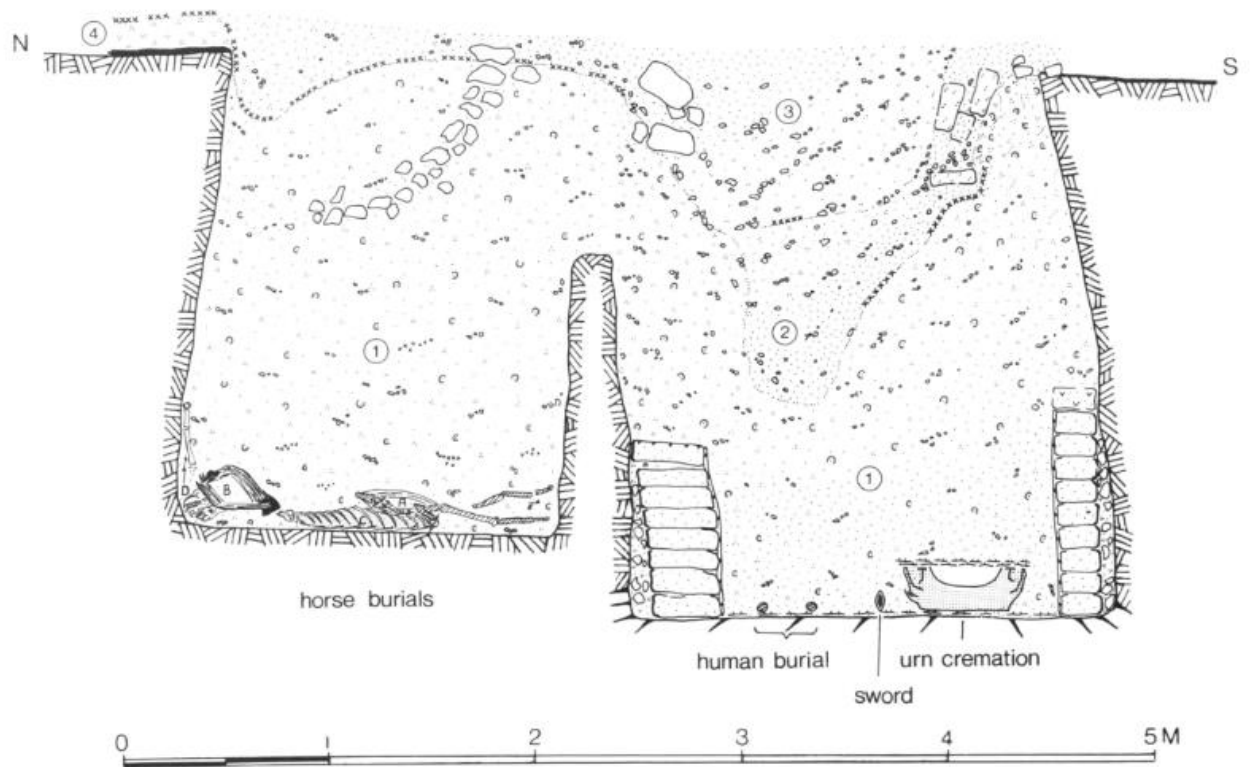


Fig. 11: Plan de l'hérôon de Toumba, à Lefkandi, et des fosses funéraires internes.  
(*LEFKANDI* II, Pl. 38.)

## Planche 12



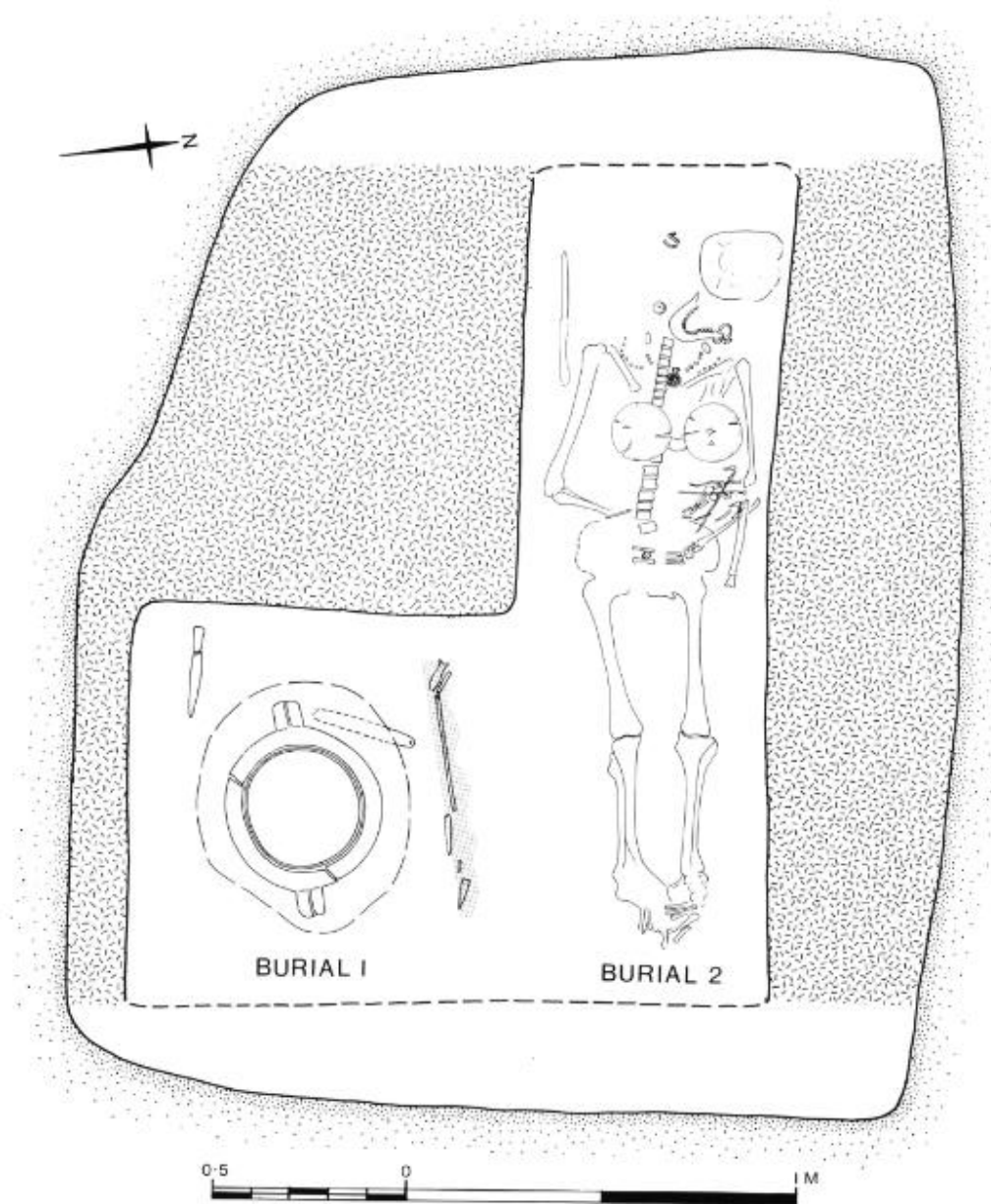
### Description of levels:

- (1) Refill of conglomerate (small stones and sandy soil), with carbon flecks in north shaft and more sand in south shaft.
- (2) Brown slightly sandy soil with mudbricks, over a thin layer of grey fibrous material. Intrusive fill from building into area of subsidence.
- (3) As (2) but slightly lighter brown and without mudbricks.
- (4) Projected from East Section. Yellow sandy soil, over grey clay floor, with fibrous material above. Remains of reed roofing above an initial filling of the building.

Conventions for soils and mudbrick colours are the same as those used for the East and West Sections.

Central Room, N-S. Section through the burial shafts on the line of the bulldozed cutting

Fig. 12: Plan de coupe des deux fosses funéraires de l'hérôn de Toumba, à Lefkandi.  
(LEFKANDI II, Pl. 12.)

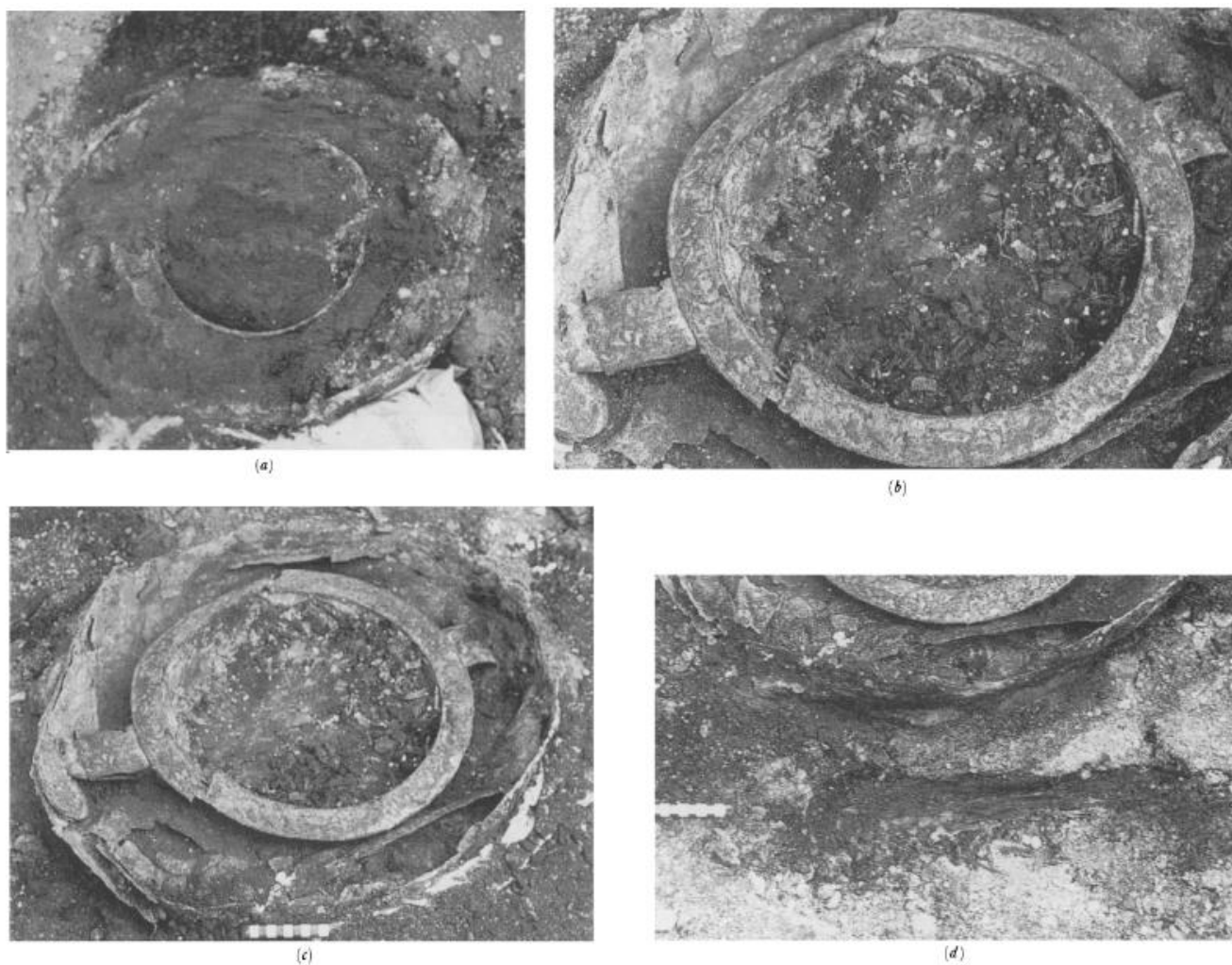


Central Room, plan of the burials in the S. shaft

Fig. 13: Plan de la fosse sud de l'hérôon de Toumba, accueillant les défunts humains.  
(*LEFKANDI II*, Pl. 13.)



Planche 14



S. Burial Shaft, (a) wood remains covering the bronze amphora and bowl (b-c) amphora rim after clearance (d) wood remains of sword scabbard

Fig. 14: Photos de la tombe masculine de l'hérôon de Toumba, dans la fosse sud.  
(*LEFKANDI* II, Pl. 16.)

Planche 15

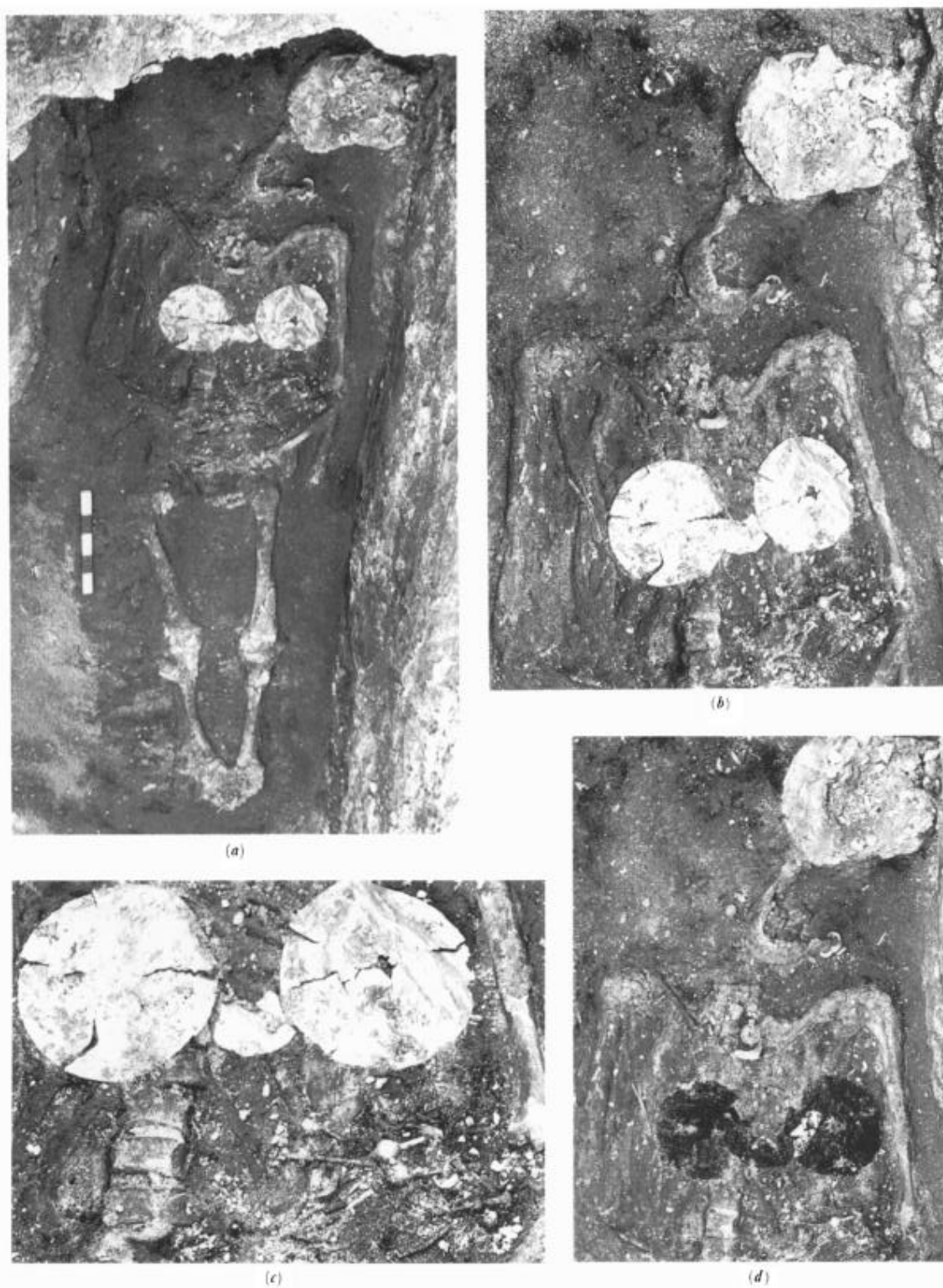


Fig. 15: Photos de la tombe féminine de l'hérôn de Toumba, dans la fosse sud.  
(LEFKANDI II, Pl. 15.)

Planche 16

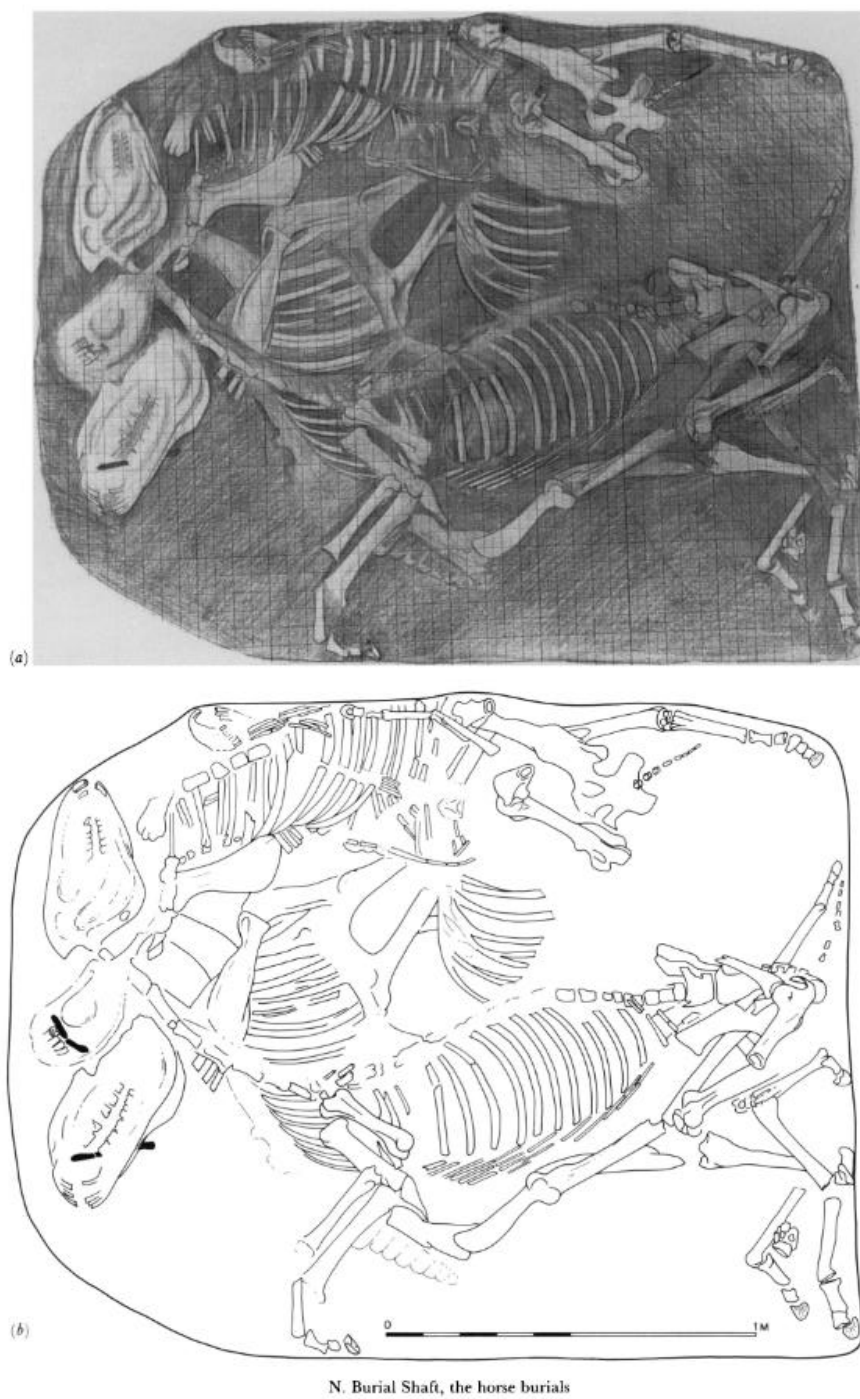


Fig. 16: Dessin et plan de la fosse nord de l'hérôon de Toumba, accueillant les quatre cadavres de chevaux.

(*LEFKANDI II*, Pl. 22.)

Planche 17

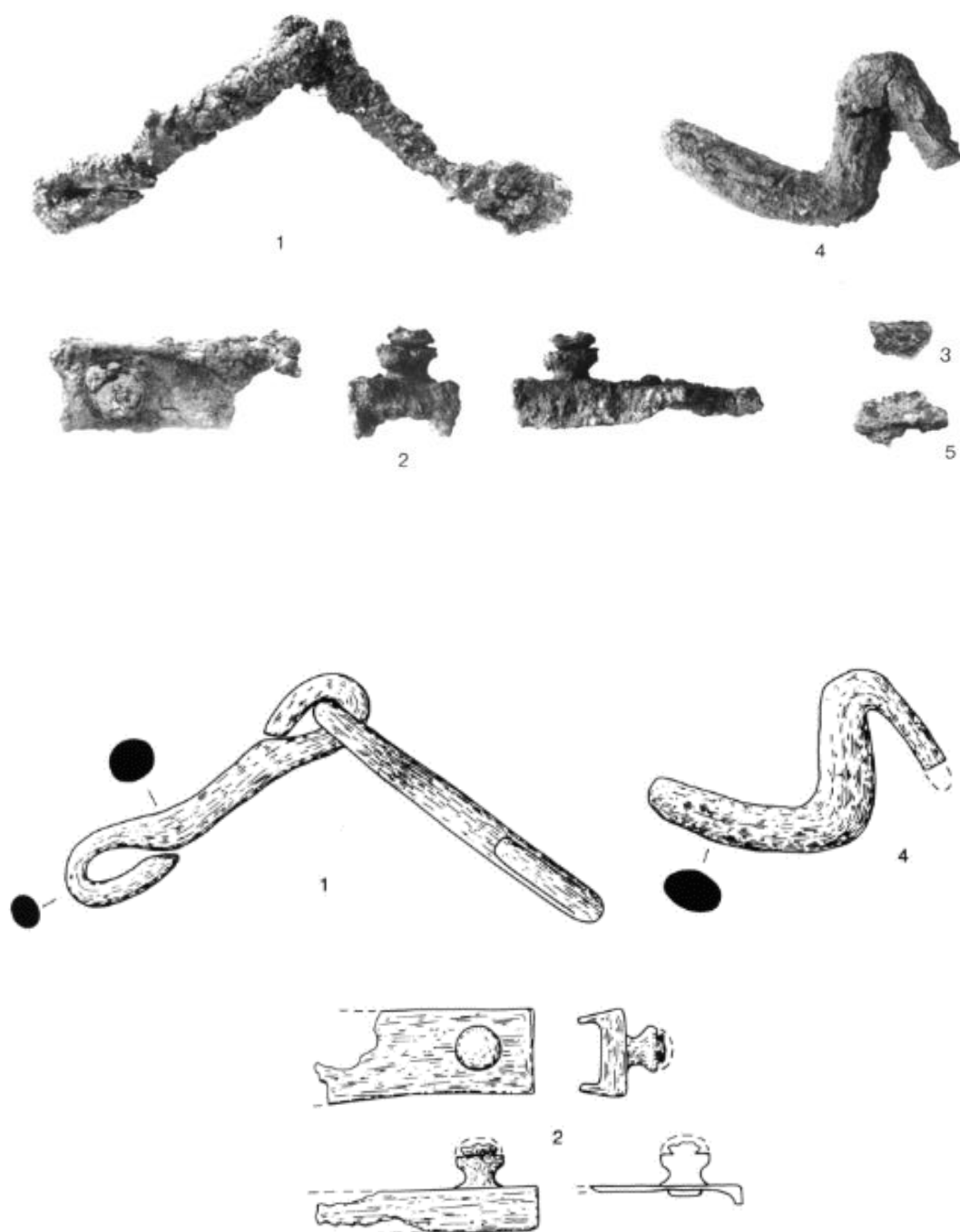
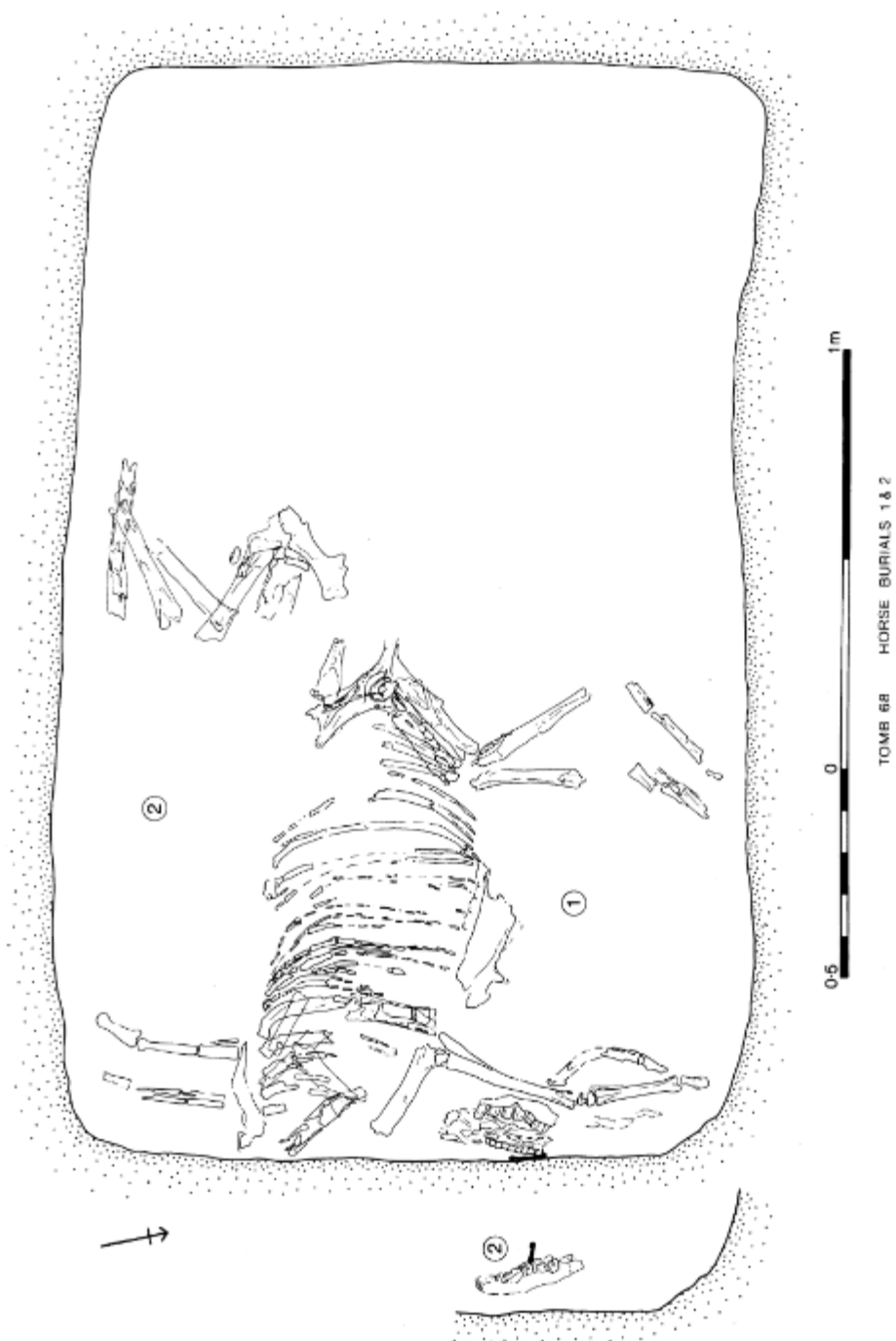


Fig. 17: Photos et dessins des éléments de harnachement de chevaux en fer, découverts au sein de la fosse nord de l'hérôon de Toumba.

(*LEFKANDI* II, Pl. 32 et 34.)



Tomb 68, the superimposed horse burials 1 and 2. Scale as shown

Fig. 18: Plan de la tombe 68 de la nécropole de Toumba.  
(POPHAM & LEMOS 1996, Pl. 22.)

Planche 19

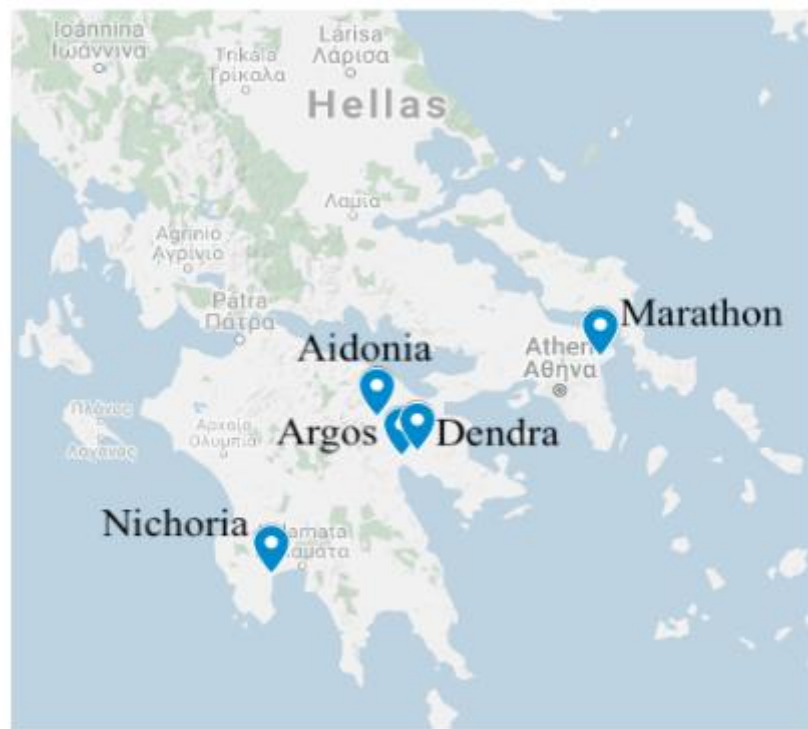


Fig. 19: Carte des sites actifs en Grèce à l'Âge du Bronze présentant des sépultures équines.  
(SØBAKKEN 2019, Fig. 9.)

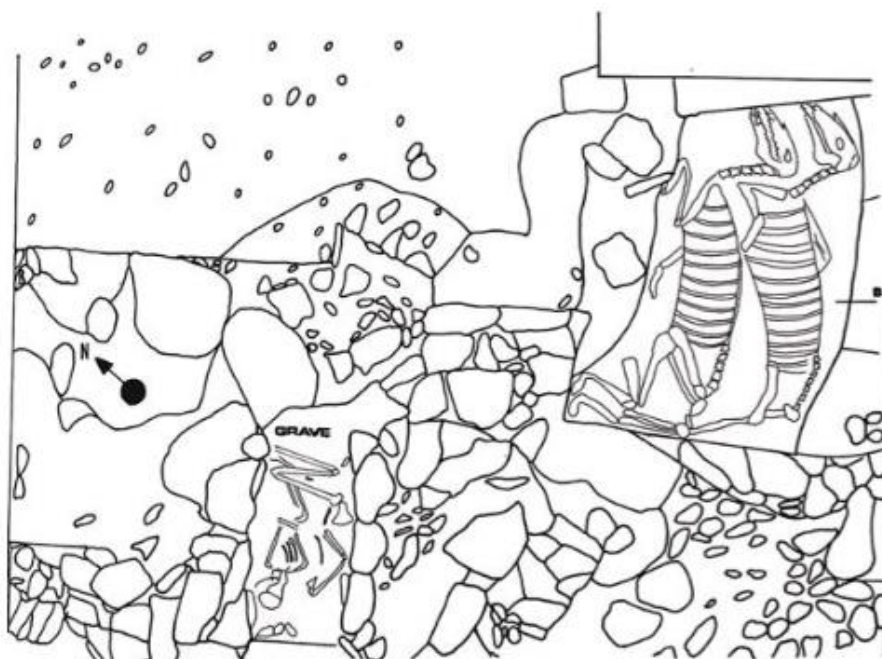


Fig. 20: Plan du tumulus B de Dendra, en Argolide.  
(PROTONOTARIOU-DEILAKI 1990, Fig. 7.)



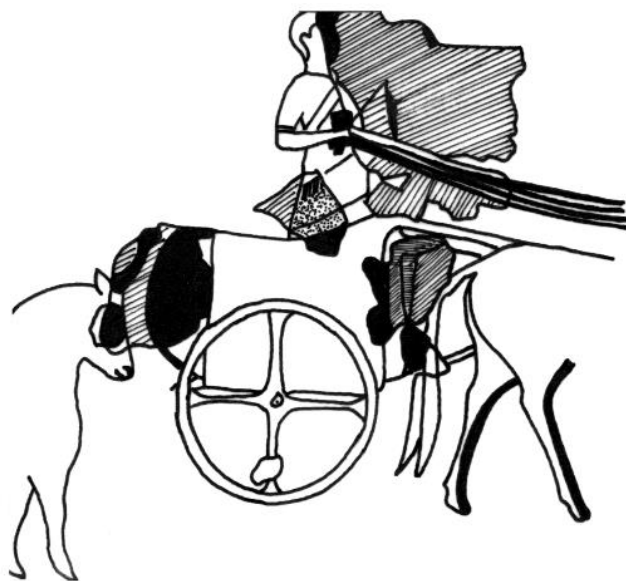


Fig. 21 : Reconstitution de la « fresque du char » de Knossos, daté du MR II/III A.  
(Reconstitution de M. Cameron et dessin de V. Thomas, issu de CANTUEL, MERCIER & THOMAS 2010, Fig. 6.)



Fig. 22 : Reconstitution de la « fresque des palefreniers » du Palais de Mycènes, daté du HRIII A/B1.  
(Musée archéologique de Mycènes. Dessin de V. Thomas, issu de CANTUEL, MERCIER & THOMAS 2010, Fig. 14.)

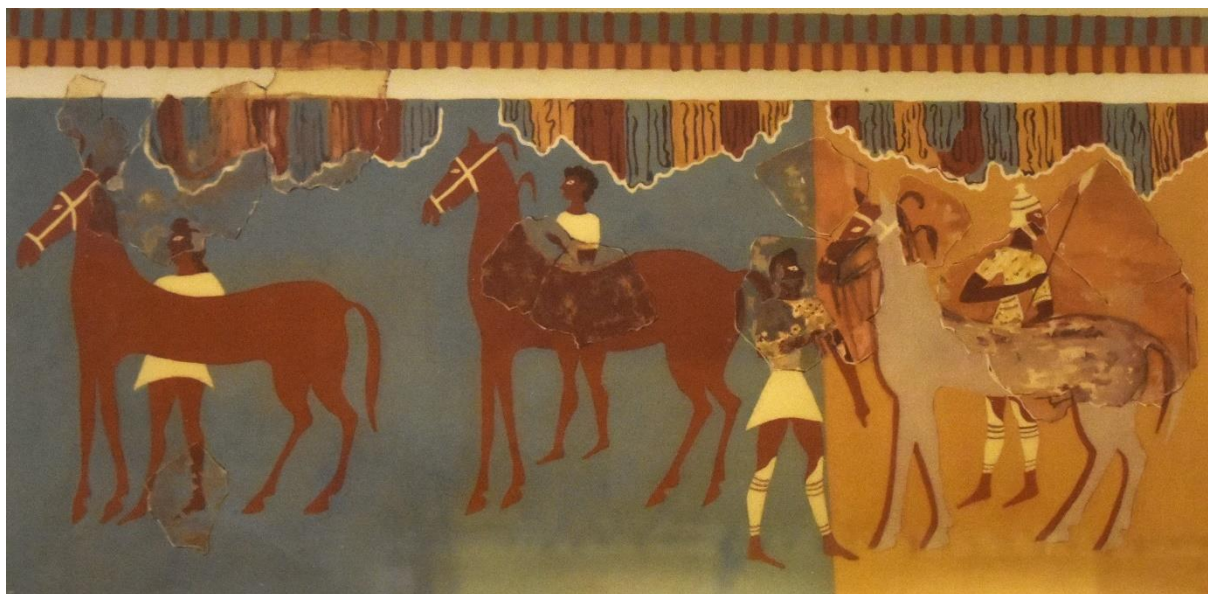


Fig. 23 : Photo de la reconstitution « fresque des palefreniers » du Palais de Mycènes, daté du HRIIIA/B1.

(Musée archéologique de Mycènes. Image personnelle.)





Fig. 24: Cratère fragmentaire de Tirynthe, présentant une scène de chasse, daté du HRIIB/C.  
(Musée national d'Athènes, Inv. 1511, 10248, 10549. Image personnelle.)



Fig. 25: Dessin d'un fragment de cratère de Tirynthe, Helladique récent IIIC/B.  
(Musée national d'Athènes, Inv. 1511, 10248, 10549. Dessin de V. Thomas, tiré de CANTUEL  
*et alii* 2010, Fig. 20.)



Fig. 26: Amphore proto-géométrique attique (vers 975 av. J.-C.), issue de la nécropole du Céramique à Athènes.

(SNODGRASS 1971, Fig. 12.)

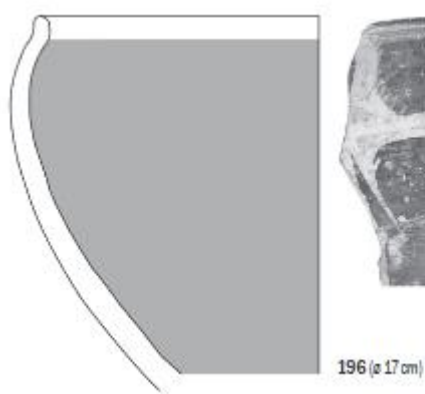


Fig. 27: Canthare attique (?) issu des fosses 253 et 254 à Erétrie, décoré d'un cheval en rehaut blanc sur fond verni, daté du Géométrique récent II.

(Musée d'Erétrie, Inv. 78202-7. VERDAN 2013, Pl. 81.)



Fig. 28: Dessin et photo d'un fragment de cratère de Xéropolis, daté du Géométrique récent (vers le milieu du VIII<sup>e</sup> siècle).

(Musée d'Erétrie, Inv. ME16635. SIMON & VERDAN 2014, Fig. 3.)



Fig. 29: Tesson de Xéropolis, décoré du motif du « cheval à la mangeoire », à la manière du Peintre de Cesnola, du Géométrique récent (vers le milieu du VIII<sup>e</sup> siècle).

(*Lefkandi I* 1979, Pl. 39.)



Fig. 30: Tesson d'une tasse (?) de Xéropolis, daté du Géométrique récent (VIII<sup>e</sup> siècle av. J.-C.).

(*Lefkandi I* 1979, Pl. 55.)



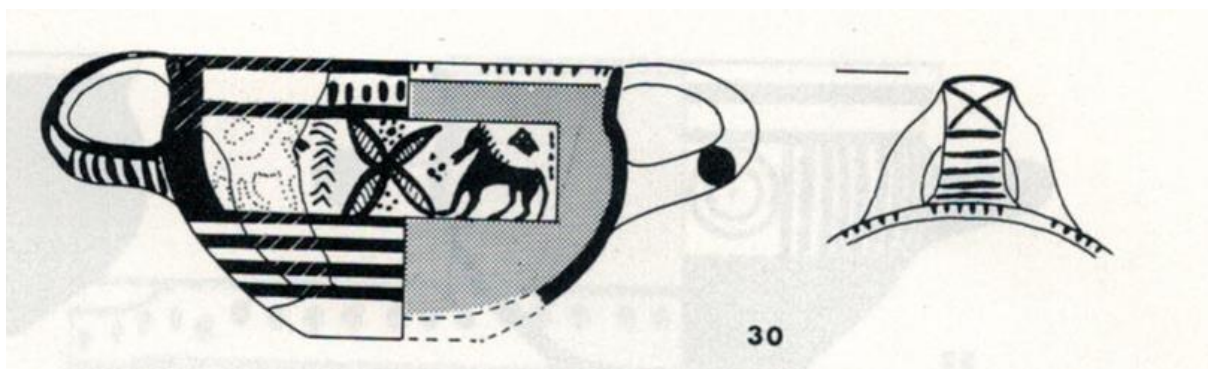


Fig. 31: Photo et dessin d'une tasse de Xéropolis.

(Inv. 66/P285. *Lefkandi I* 1979, Pl. 39 et 61.)

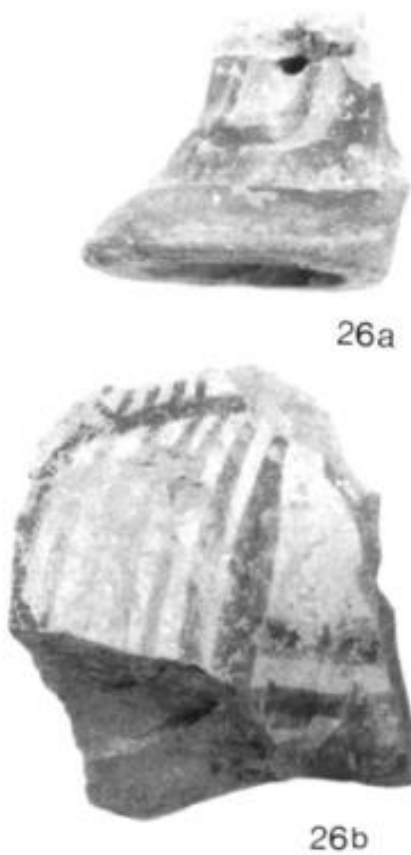


Fig. 32: Fragments de statuette d'un cheval provenant de la nécropole de Toumba, à Lefkandi.  
(*LEFKANDI* II, Pl. 32)



Fig. 33: Statuette attique en forme de cheval sur quatre roues, découvert à Athènes, daté d'époque proto-géométrique.

(DESBOROUGH 1972, Pl. 26.)



Fig. 34: Statuette en forme de cheval sur quatre roues vraisemblablement importée attique, découverte à Lefkandi.

(COLDSTREAM 2004, Pl. 1.)

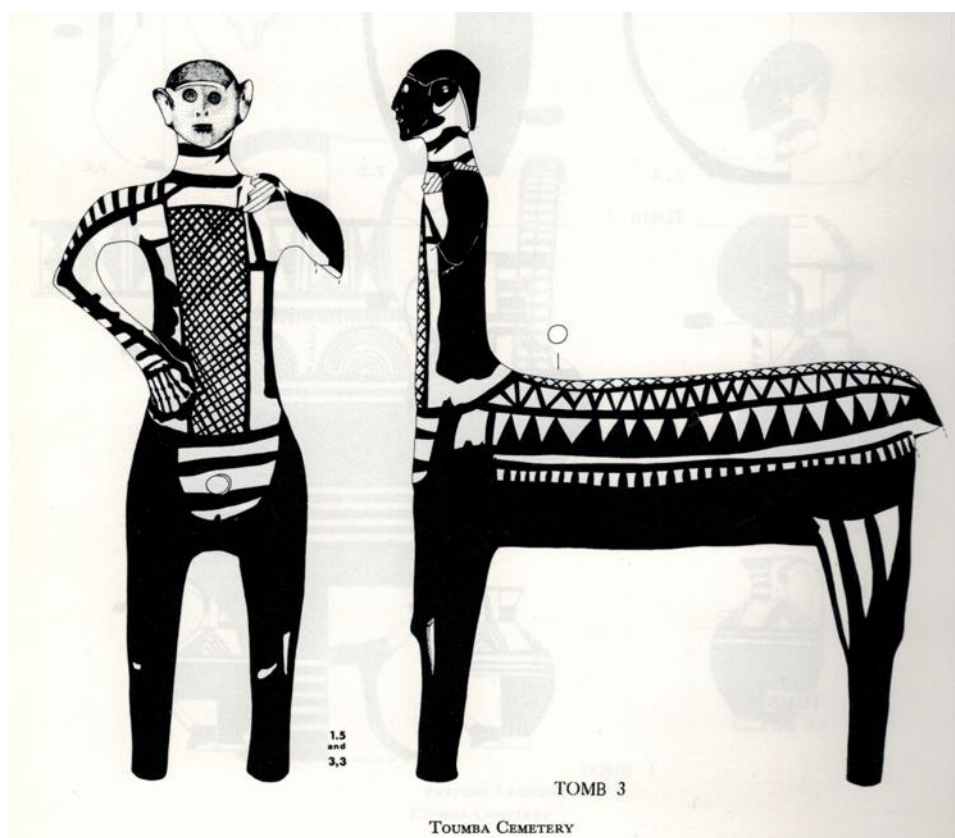


Fig. 35: Dessin et photo de la statuette du « centaure de Lefkandi », provenant de la nécropole de Toumba et daté entre 1050 et 900 av. J.-C.

(*Lefkandi I* 1979, Pl. 169 et 217.)



Planche 30

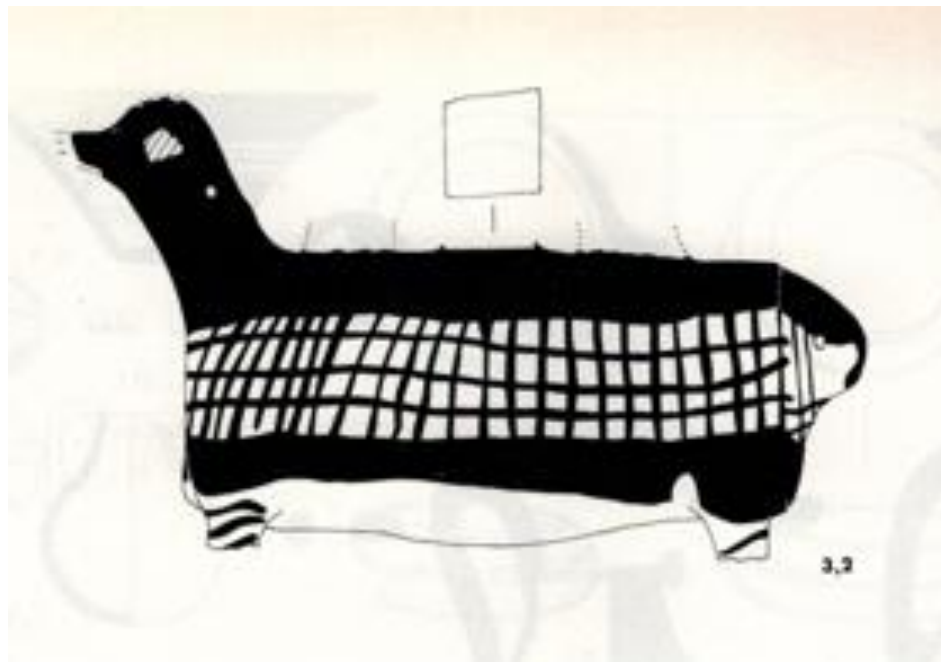


Fig. 36: Dessin et photo du vase zoomorphe (un cheval ?) de la nécropole de Toumba, daté du SPG 1, soit entre 900 et 875 av. J.-C.

(*Lefkandi I* 1979, Pl. 169 et 217.)

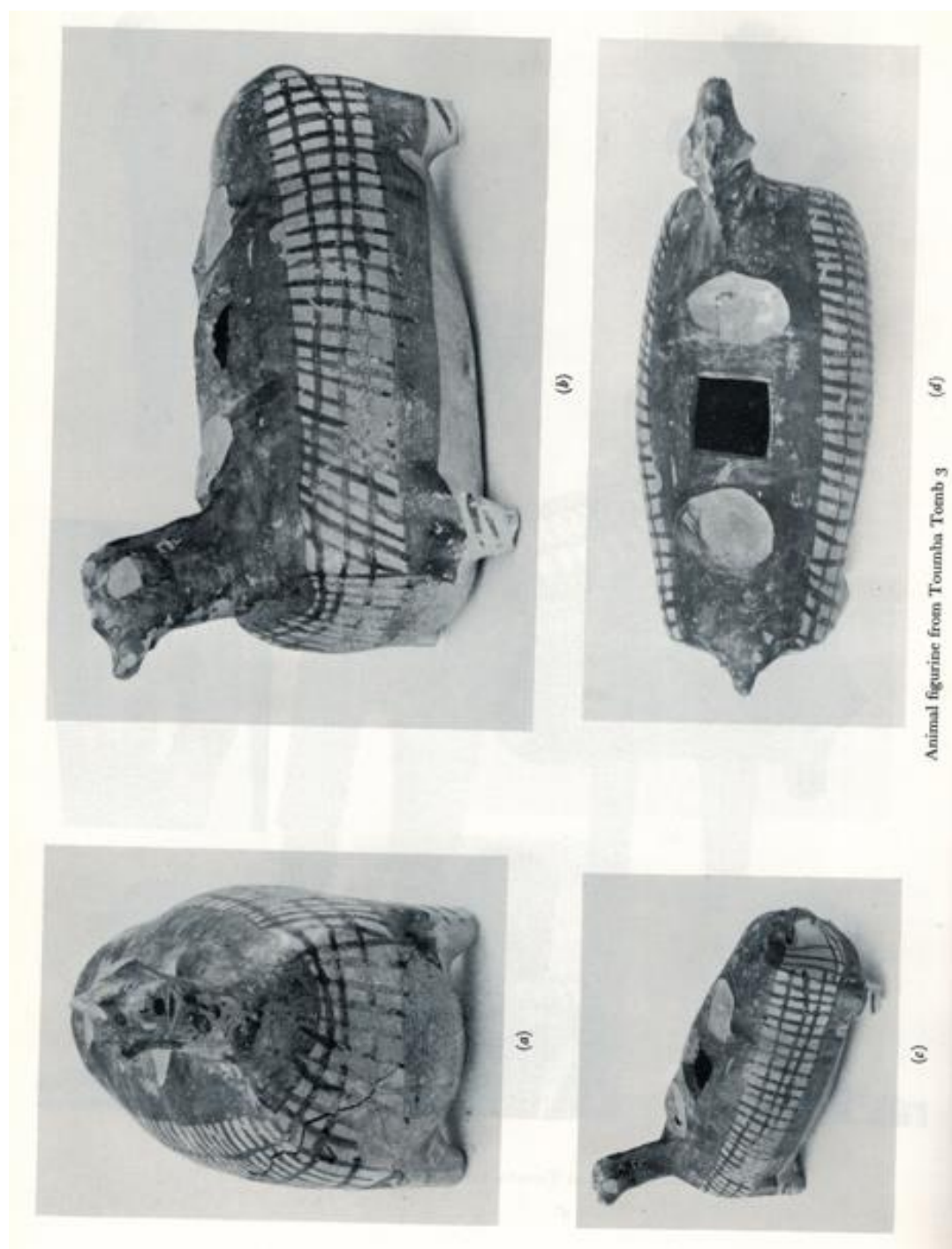


Fig. 37: Photos du vase zoomorphe (un cheval ?) de la nécropole de Toumba, daté du SPG 1, soit entre 900 et 875 av. J.-C.  
(*Lefkandi I* 1979, Pl. 253.)



Fig. 38: Proposition de reconstitution du vase zoomorphe (un cheval ?) de la nécropole de Toumba, daté du SPG 1, soit entre 900 et 875 av. J.-C.

(*Lefkandi I* 1979, Pl. 253. Modifiée par l'auteure.)

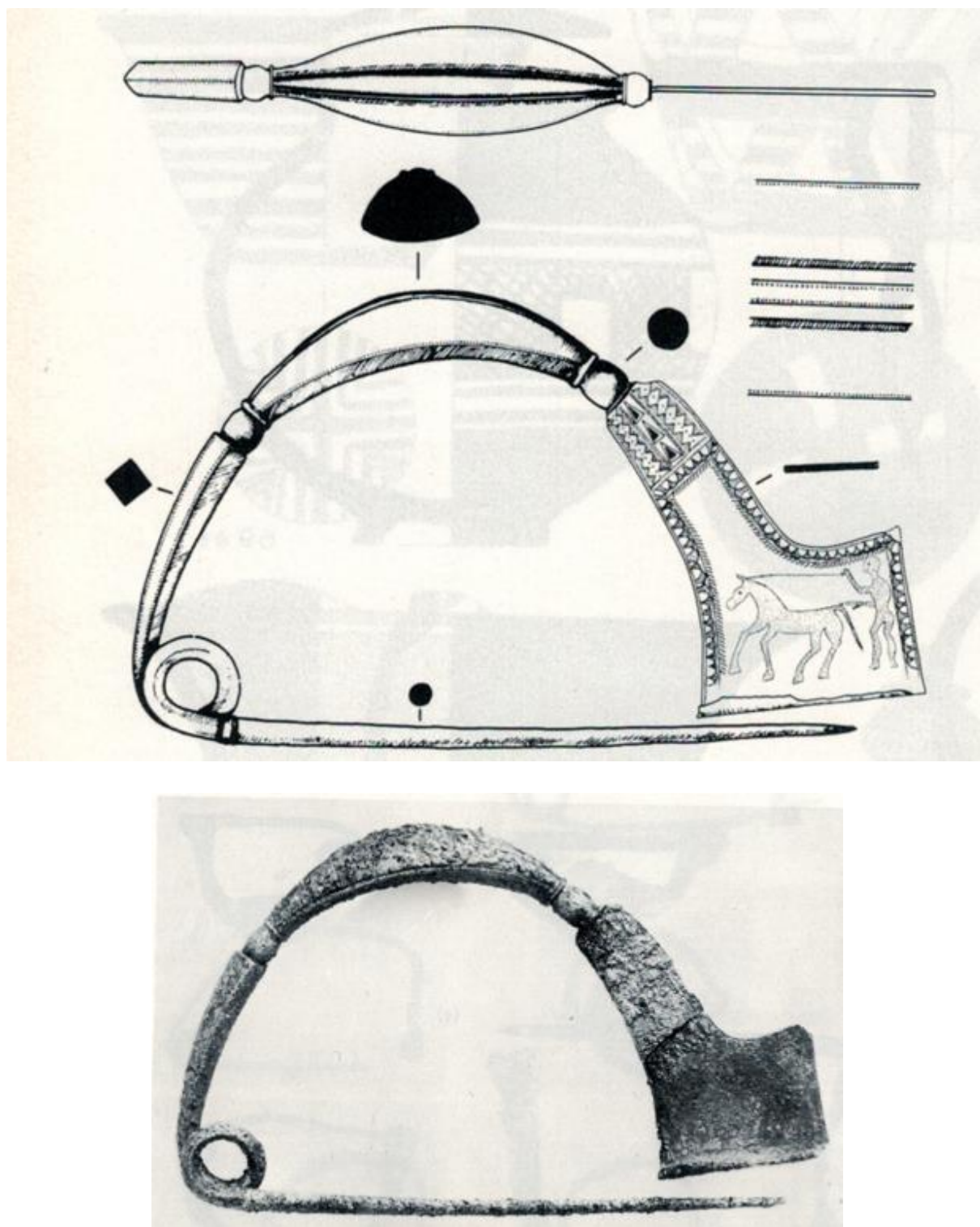


Fig. 39: Dessin et photo d'une fibule en bronze plaquée or aux décors incisé au repoussé, provenant de la tombe 59 de la nécropole de Skoubris, à Lefkandi, daté entre 850 et 830 av. J.-C.

(*Lefkandi I* 1979, Pl. 210 et 240.)



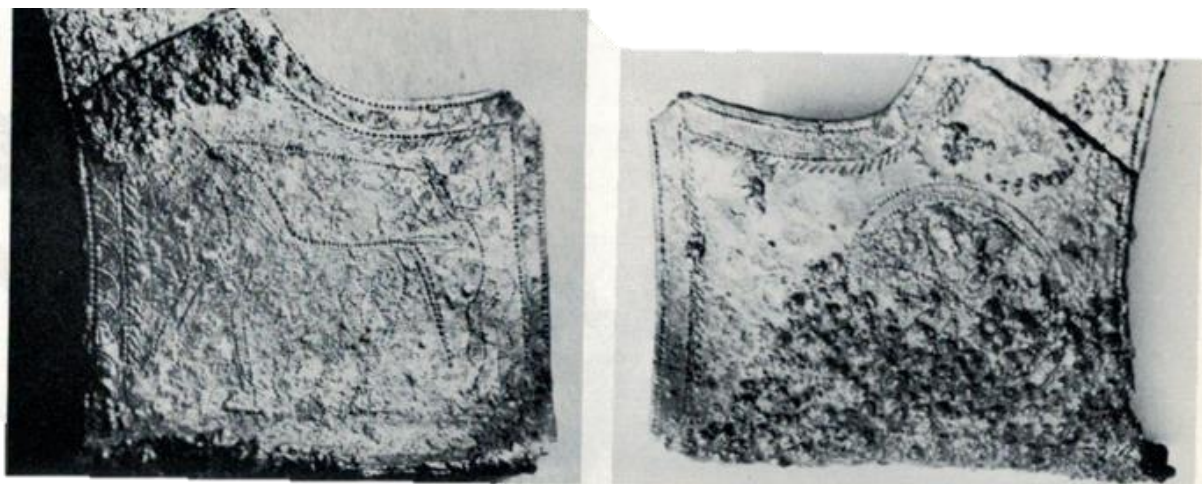


Fig. 40: Détails de la fibule en bronze plaquée or avec décors incisé au repoussé, provenant de la tombe 59 de la nécropole de Skoubris, à Lefkandi, daté entre 850 et 830 av. J.-C.

(*Lefkandi I* 1979, Pl. 240.)

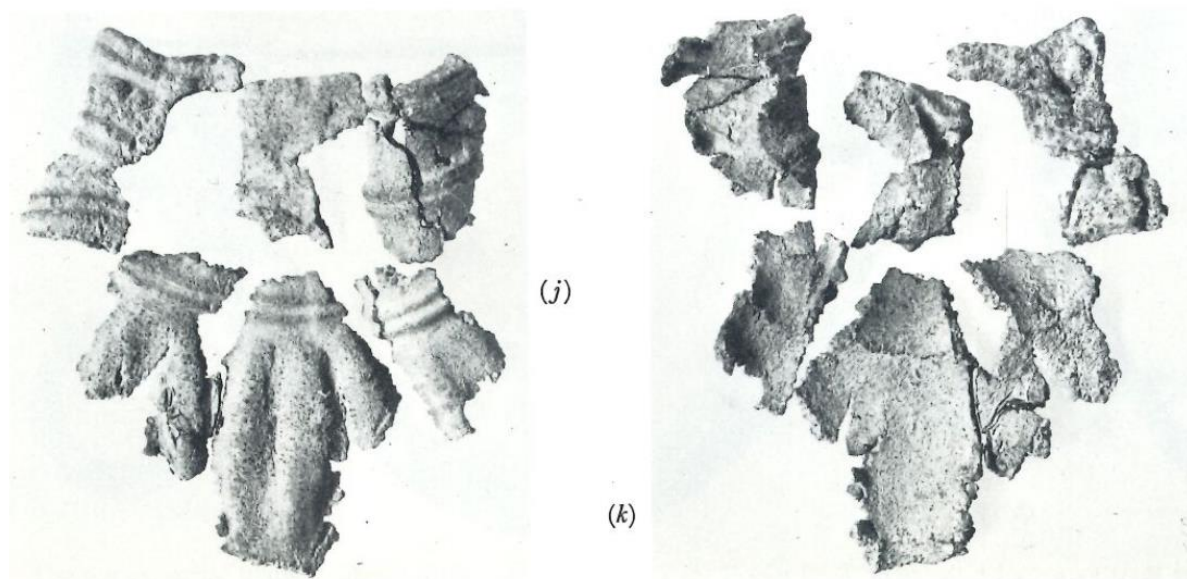


Fig. 41: Deux œillères métalliques, provenant d'une tombe de Lefkandi, daté du SPG 1, soit entre 900 et 875 av. J.-C.

(*Lefkandi I* 1979, Pl. 239.)



Fig. 42: Carte retraçant les liens existant entre l'île d'Eubée et le bassin méditerranéen à l'époque géométrique (avec plusieurs sites tels qu'Al Mina, Chypres, Corinthe et Pithécusses, entre autres).

(GREGER 2023)

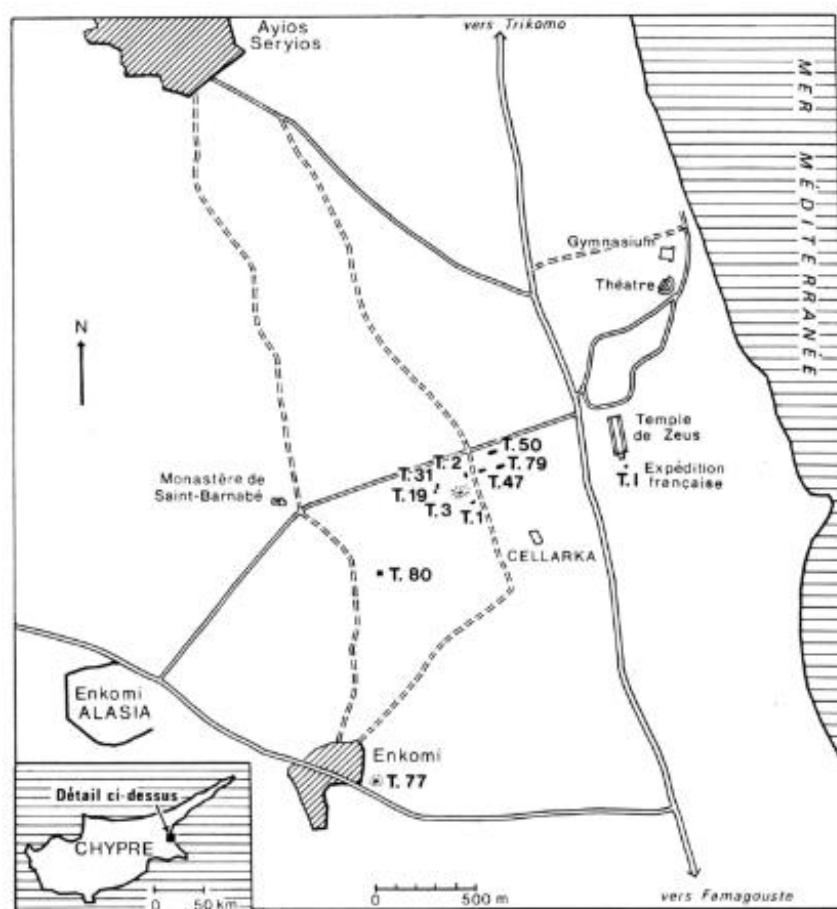


Fig. 43: Plan de la nécropole de Salamine, à Chypre.

(KARAGEORGHIS 1969, Fig. 1.)

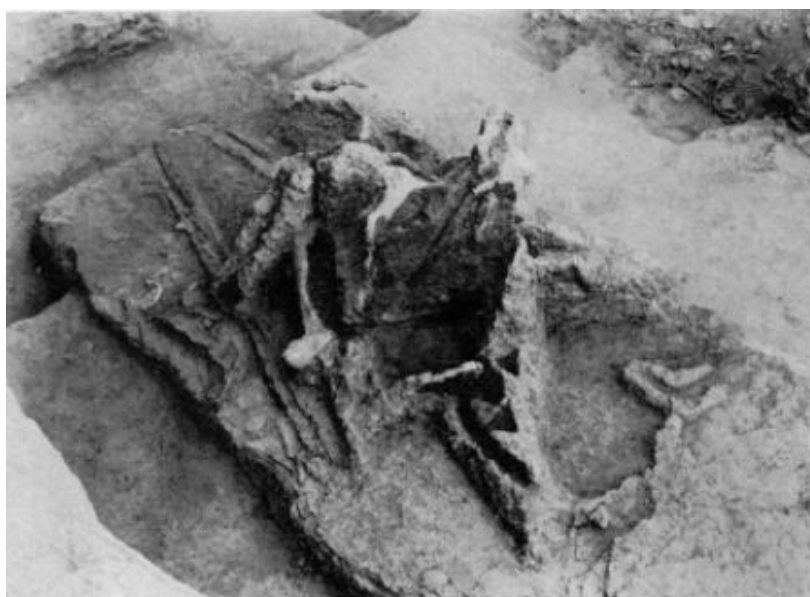


Fig. 44: Photo du char de la tombe 3 de Salamine, à Chypre.

(KARAGEORGHIS 1969, Fig. 3.)



Fig. 45: Un rython (numéro 74) et un askos (numéro 77) de Kourion, à Chypres, en forme de cheval de style Proto-White Painted Ware, datant du XI<sup>e</sup> siècle av. J.-C.

(Inv. 74.51.787 et 74.51,811. KARAGEORGHIS 2000, Fig. 74 et 77.)



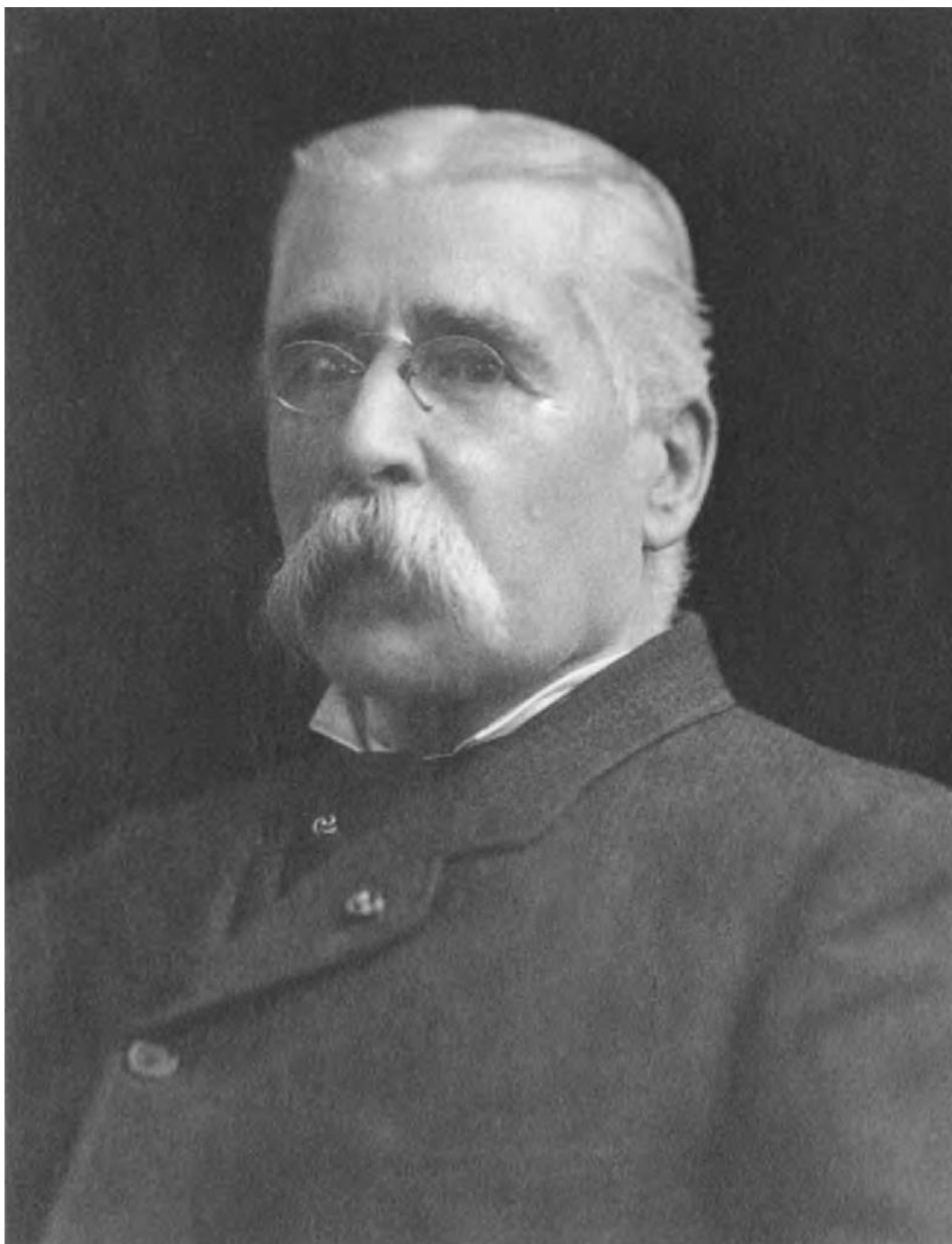


Fig. 46: Photo de Luigi Palma di Cesnola.  
(KARAGEORGHIS 2000, Fig. 7.)



Fig. 47: Le « cratère de Kourion », dit du « Peintre de Cesnola », découvert à Kourion, à Chypres, date de la moitié du VIII<sup>e</sup> siècle, entre 750 et 740 av. J.-C.  
(MET, New York, Inv. 74.51.965. Catalogue en ligne)



Fig. 48: Détail du « cratère de Kourion », dit du « Peintre de Cesnola », découvert à Kourion, à Chypres, date de la moitié du VIII<sup>e</sup> siècle, entre 750 et 740 av. J.-C.

(MET, New York, Inv. 74.51.965. MOORE 2004, Fig. 14.)

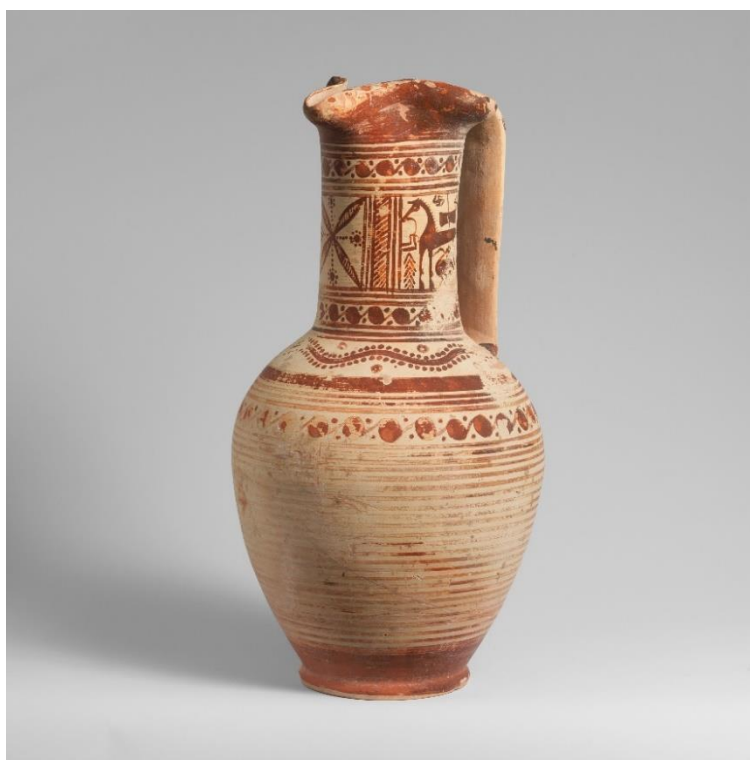


Fig. 49: Ænochoé de Chypre, attribuée au « Peintre de Cesnola ».  
(MET, New York, Inv. 74.51.838. Catalogue en ligne.)



Fig. 50: Dessin du motif du « cheval à la mangeoire » sur une cruche à col coupé du sanctuaire d'Apollon Daphnéphoros, à Erétrie, probablement daté du VIII<sup>e</sup> siècle av. J.-C.  
(Musée d'Erétrie, Inv. 03643-23. SIMON & VERDAN 2014, Fig. 2.)

## Planche 42



Fig. 51: Carte de la plaine lélantine et des alliances durant la guerre lélantine opposant Chalcis, en rouge, et Erétrie, en bleu.  
(GREGER 2023, Fig. 1)

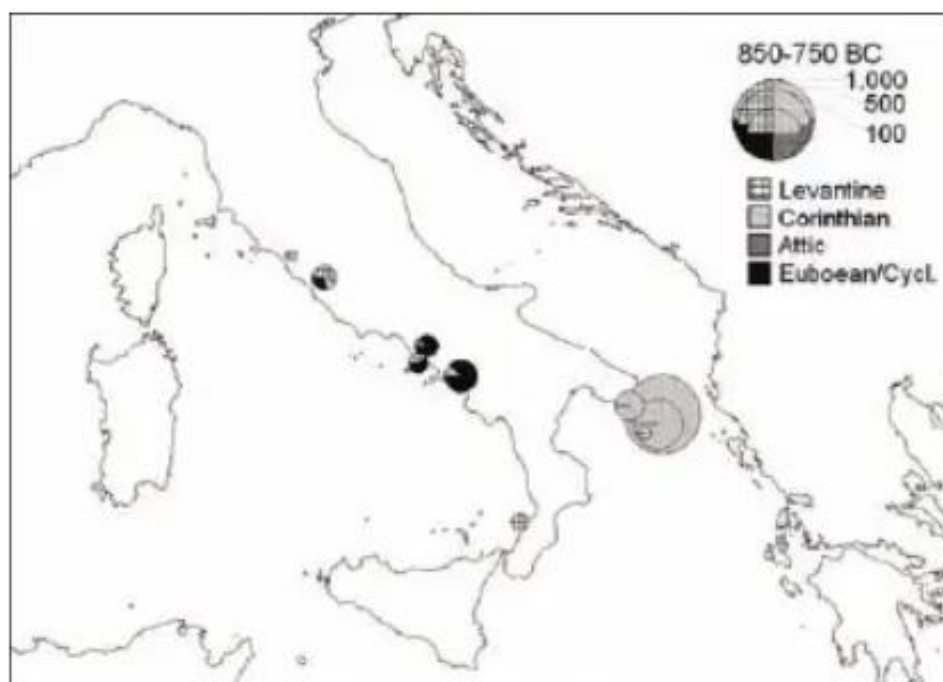


Fig. 52: Carte représentant la distribution des importations en Italie entre 850 et 750 av. J.-C.  
(en noir, les Eubéens).  
(FLETCHER 2007, Fig. 32.)



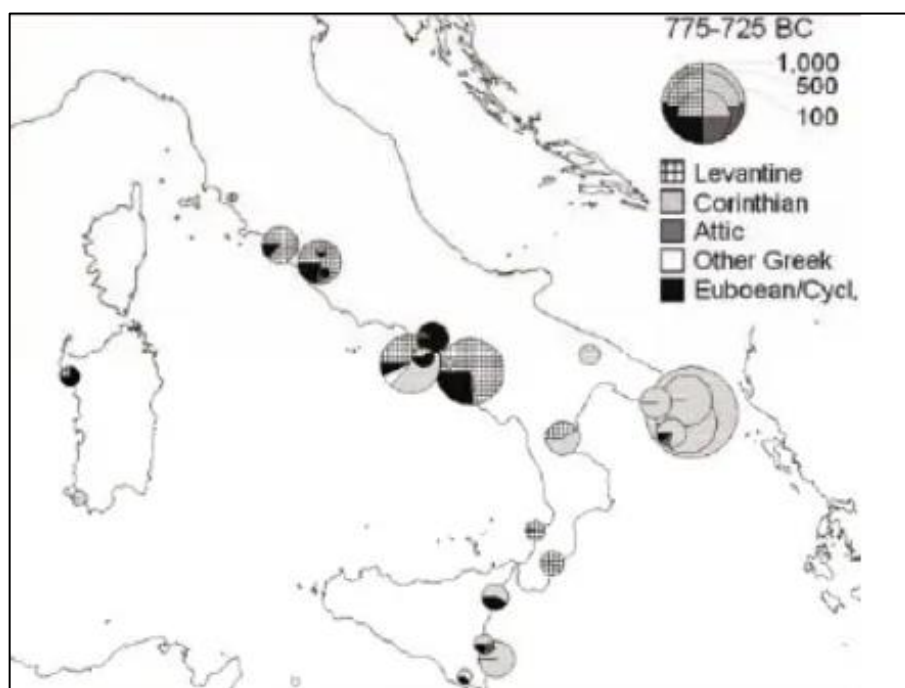


Fig. 53: Carte représentant la distribution des importations en Italie entre 775 et 725 av. J.-C., avec les Eubéens en noir.

(FLETCHER 2007, Fig. 33.)

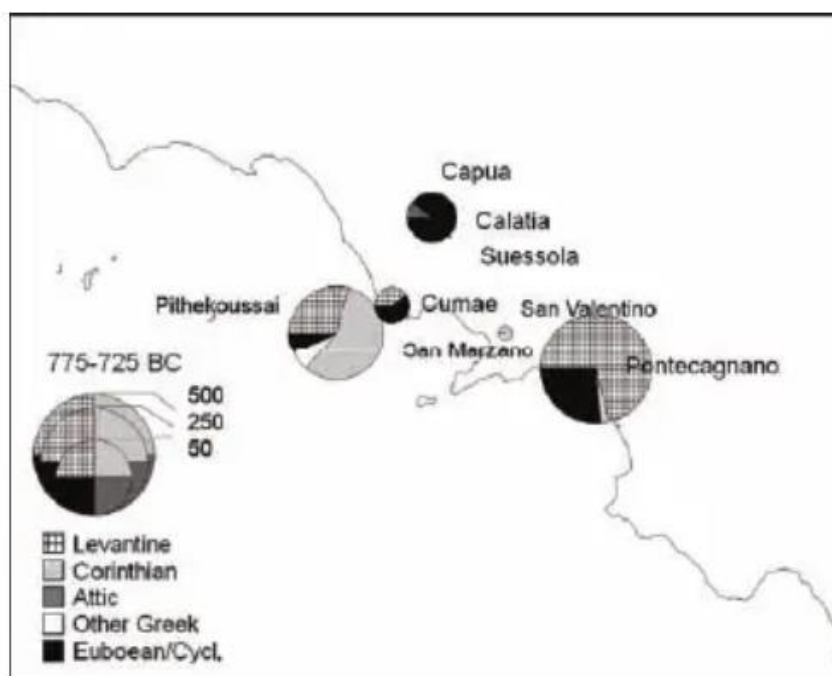


Fig. 54: Carte représentant la distribution des importations en Campanie entre 775 et 725 av. J.-C., avec les Eubéens en noir.

(FLETCHER 2007, Fig. 82.)



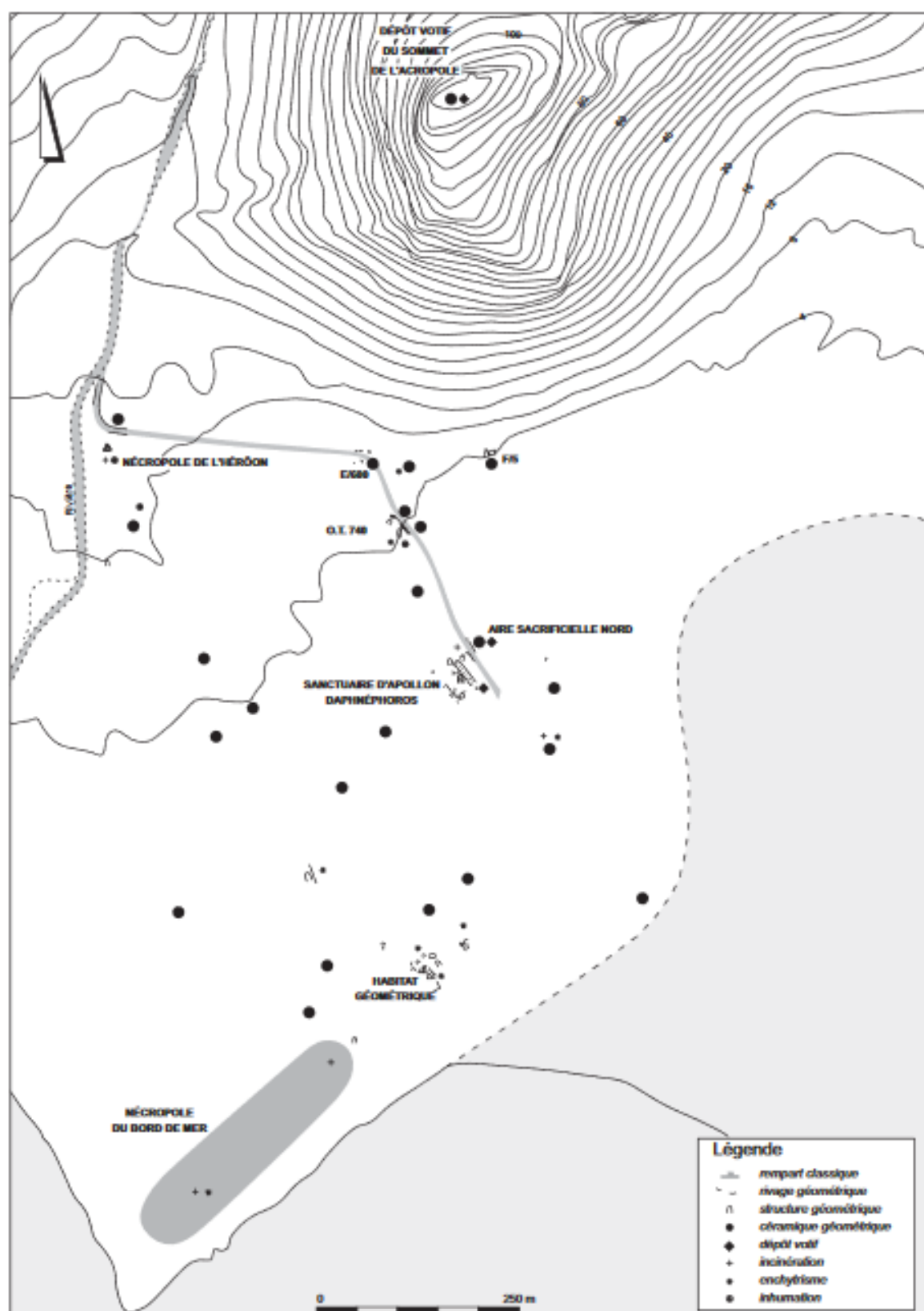


Fig. 55: Plan d'Erétrie à l'époque Géométrique.

(*Eretria* XIV, Pl. 2.)

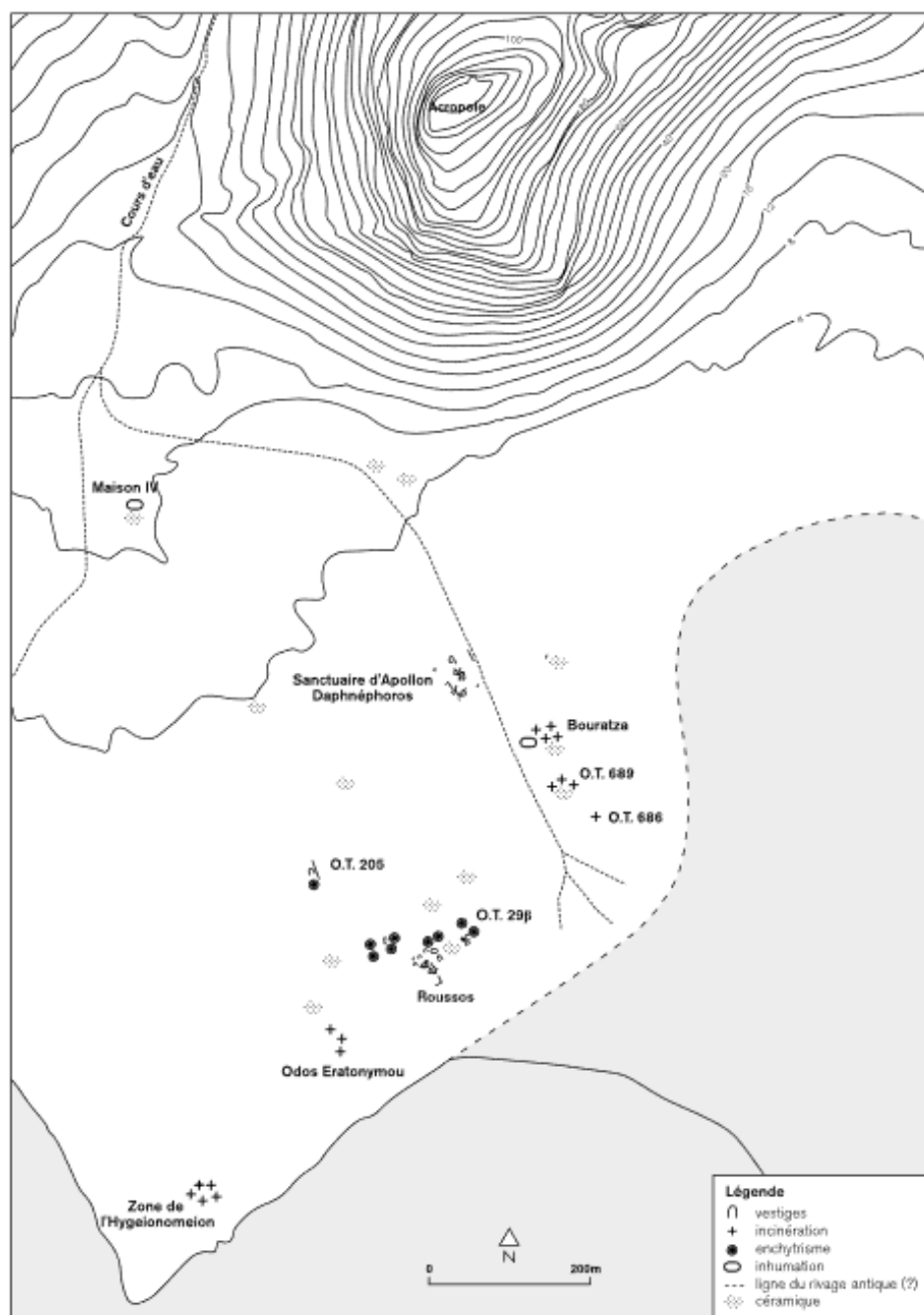


Fig. 56: Plan d'Erétrie durant la première moitié du VIII<sup>e</sup> siècle av. J.-C.  
(*Eretria* XVII, Pl. 15.)

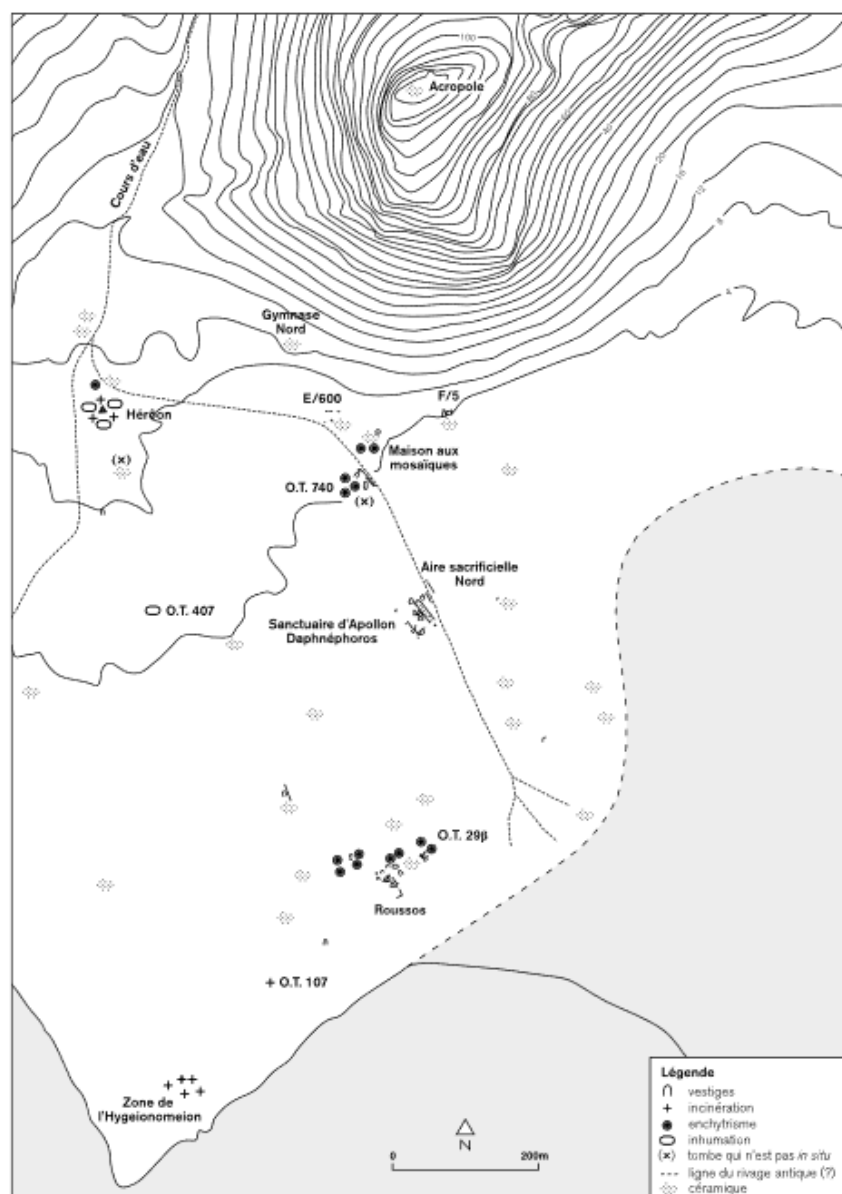


Fig. 57: Plan d'Erétrie durant la seconde moitié du VIII<sup>e</sup> siècle av. J.-C.  
(*Eretria* XVII, Pl. 16.)

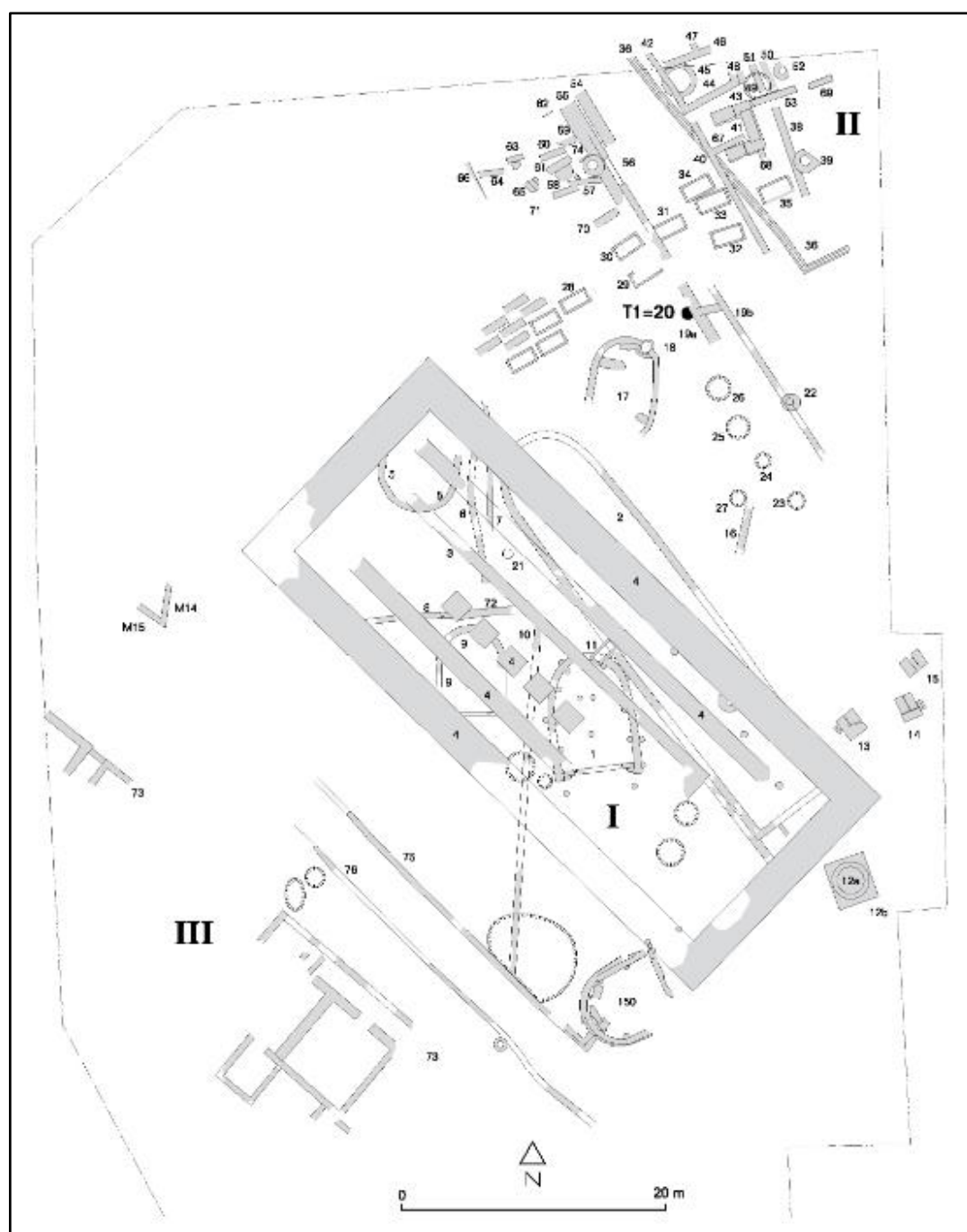


Fig. 58: Plan du sanctuaire d'Apollon Daphnéphoros à Erétrie et des secteurs de fouilles.  
(*Eretria* XVII, Pl. 160.)

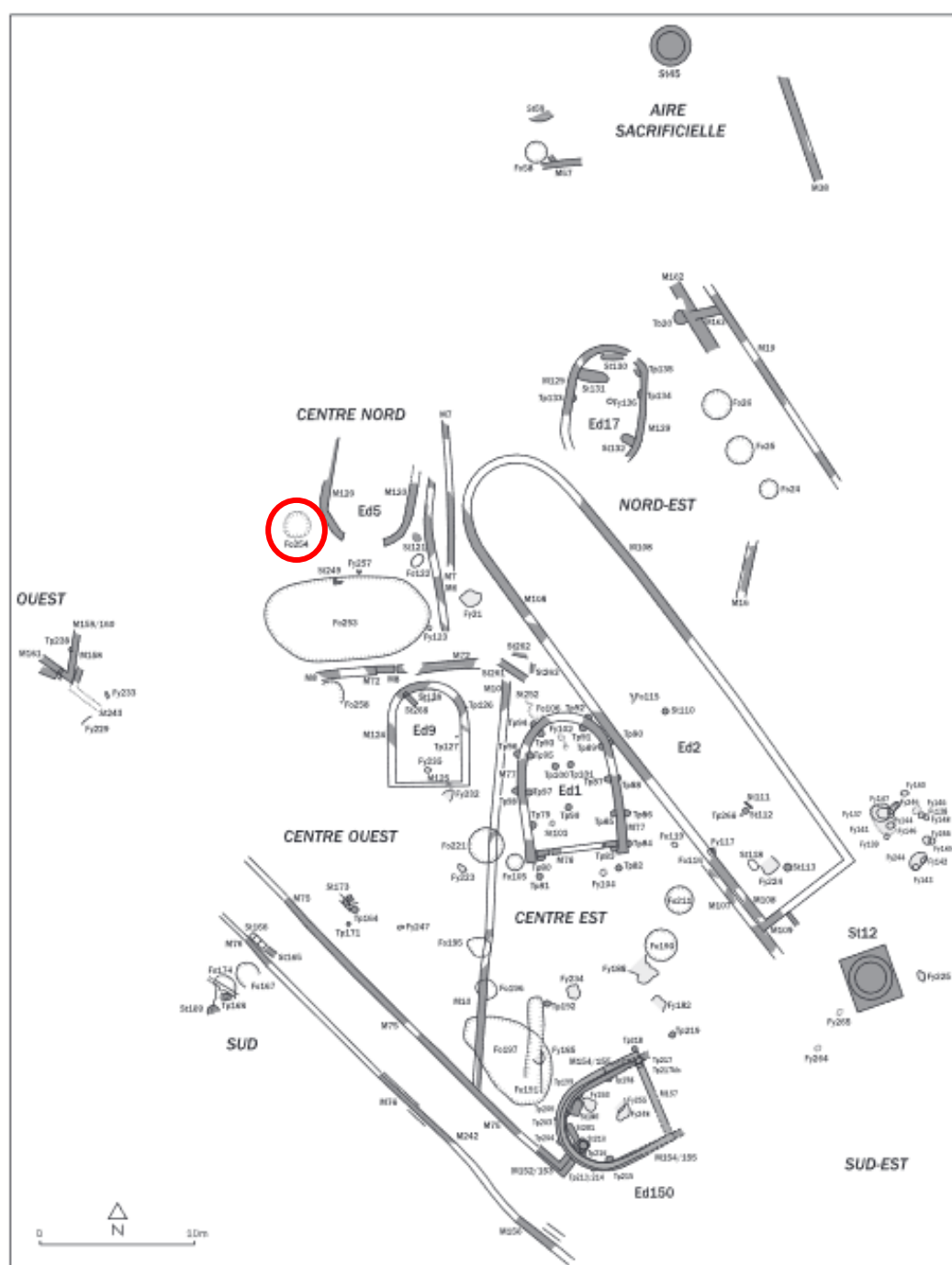
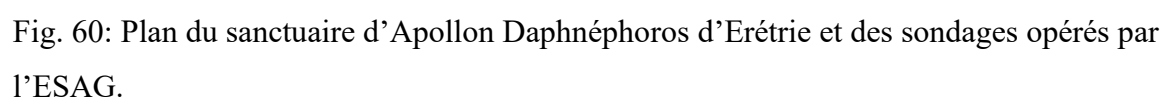


Fig. 59: Plan du sanctuaire d'Apollon Daphnéphoros et de ses vestiges d'époque Géométrique (avec la fosse 254 en rouge).  
(*Eretria* XXII, Pl. 4.)



(*Eretria* XXII, Pl. 5.)





Fig. 61: Le « cratère aux chevaux noirs d'Érétrie », daté au début du VIII<sup>e</sup> siècle av. J.-C.  
(Musée d'Érétrie, Inv. ME19565. Photo de A. Skiadaressis pour l'ESAG, tirée de VERDAN 2012, Pl. 25.)

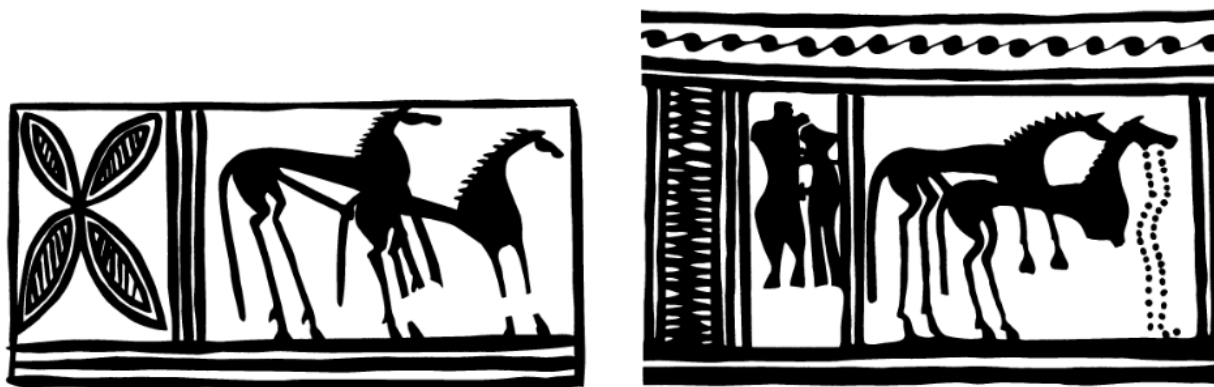


Fig. 62: Dessin des décors des faces A et B du « cratère aux chevaux noirs d'Érétrie ».  
(Musée d'Érétrie, Inv. ME19565. VERDAN 2012, Fig. 1a et 1b.)



Fig. 63: Face B d'une coupe attique à figure rouge, attribuée à Euergides, 510 av. J.-C.  
(Inv. 74-01. HeidICON Université d'Heidelberg)



Fig. 64: Détail de la face B d'une coupe attique à figure rouge, attribuée à Euergides, 510 av. J.-C.

(Inv. 74-01. Photo de l'Archäologisches Institut N.S. 2204d, tirée de MOORE 2004, Fig. 38.)



Fig. 65: Reconstitution du cratère érétrien V116, provenant de la fosse 254 du sanctuaire d'Apollon Daphnéphoros à Erétrie, à la manière du « Peintre de Cesnola », daté du Géométrique récent I (vers le milieu du VIII<sup>e</sup> siècle av. J.-C.).  
(Inv. 72100-14, V116. *Eretria* XXII, Pl. 87, corrigé de *Eretria* XX, Pl. 36.)

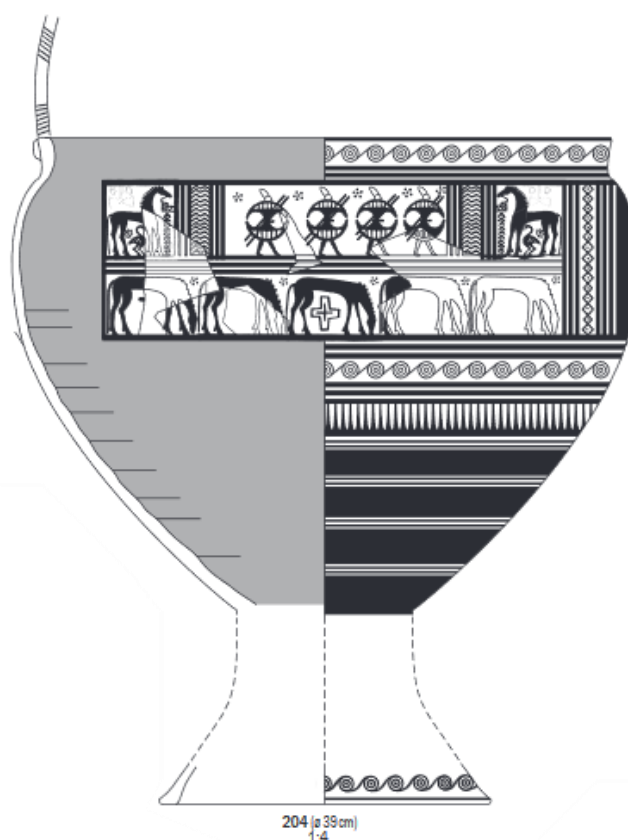


Fig. 66: Reconstitution du cratère érétien V54, provenant de la fosse 253 du sanctuaire d'Apollon Daphnéphoros à Erétrie, à la manière du « Peintre de Cesnola », daté du Géométrique récent (vers le milieu du VIII<sup>e</sup> siècle av. J.-C.).

(Inv. 64283-4, V54. *Eretria* XXII, Pl. 82.)

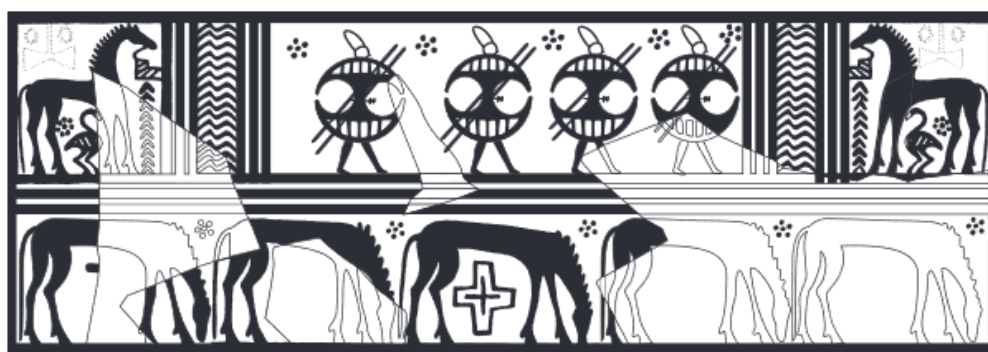


Fig. 67: Détail du décor du cratère érétien V54, provenant de la fosse 253 du sanctuaire d'Apollon Daphnéphoros à Erétrie, à la manière du « Peintre de Cesnola », daté du Géométrique récent (vers le milieu du VIII<sup>e</sup> siècle av. J.-C.).

(Inv. 64283-4, V54. *Eretria* XXII, Pl. 100.)

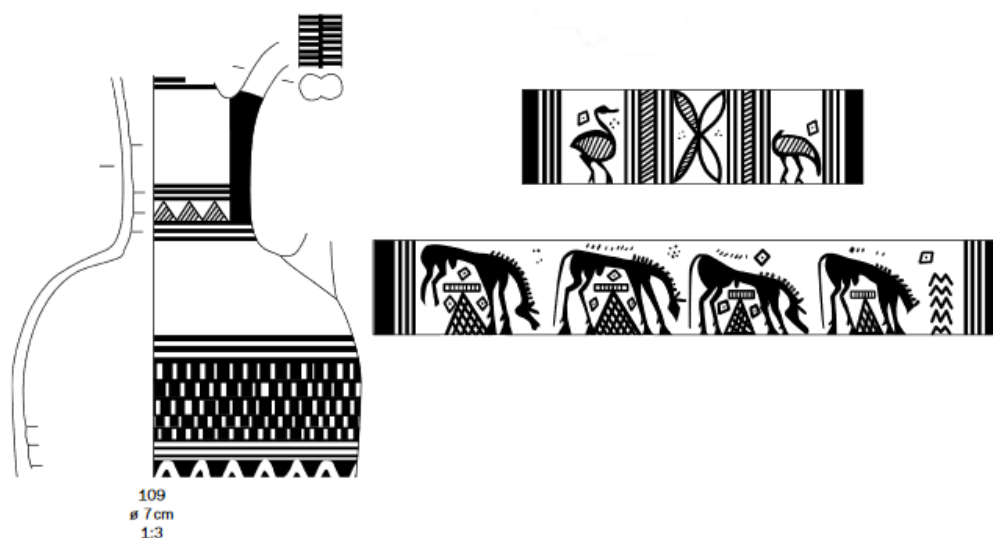


Fig. 68: Dessin d'une cruche à col coupé issue de la fosse 211 du sanctuaire d'Apollon Daphnéphoros à Erétrie et le déroulé de son décor, datée du Géométrique récent.  
(Inv. 03643-23. *Eretria* XX, Pl. 28.)



Fig. 69: Photo d'une cruche à col coupé issue de la fosse 211 du sanctuaire d'Apollon Daphnéphoros à Erétrie et le déroulé de son décor, datée du Géométrique récent.  
(Inv. 03643-23. SIMON & VERDAN 2014, pp. nil.)





Fig. 70: Photo de meule en Albanie, de nos jours.

(<https://www.blocal-travel.com/road-trip/voskopoja-albania/>)



Fig. 71: Photo de meule en Roumanie, de nos jours.

([https://www.freepik.com/premium-photo/traditional-haystack-dry-yellow-hay-wooden-roof-built-with-long-poles-fence-highland-blue-sky-sunny-autumn-day\\_23817528.htm](https://www.freepik.com/premium-photo/traditional-haystack-dry-yellow-hay-wooden-roof-built-with-long-poles-fence-highland-blue-sky-sunny-autumn-day_23817528.htm))



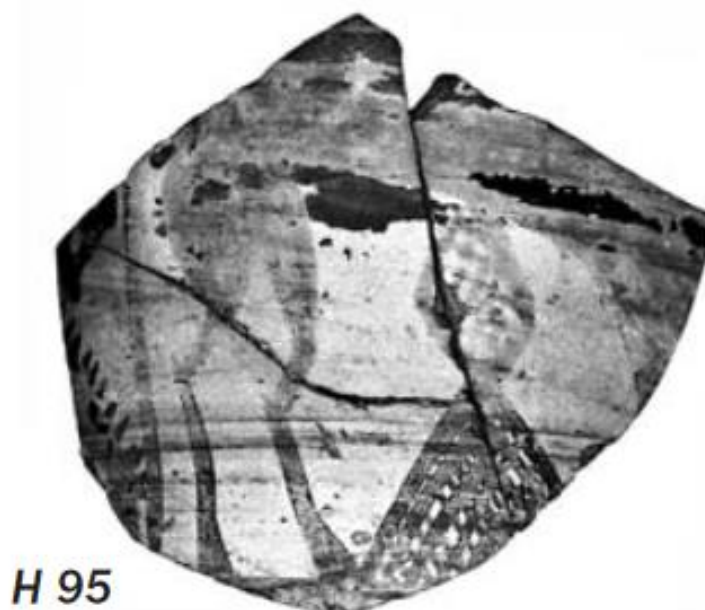


Fig. 72: Un fragment de panse de vaisselle provenant du sanctuaire d'Apollon Daphnéphoros à Erétrie, daté de l'époque Géométrique.

(Inv. E/8-220.7, H95. *Eretria* XIV, Pl. 71.)



Fig. 73: Trois fragment de panse de vaisselle provenant du sanctuaire d'Apollon Daphnéphoros à Erétrie, daté de l'époque Géométrique.

(Inv. E/8-261.1, H96. *Eretria* XIV, Pl. 71.)



Fig. 74: Dessin et reconstitution de la coupe V33 fragmentaire et de son décor, provenant du sanctuaire d'Apollon Daphnéphoros à Erétrie, daté de l'époque Géométrique.

(Inv. E/8-269.1, V33. *Eretria* XIV, Pl. 30.)

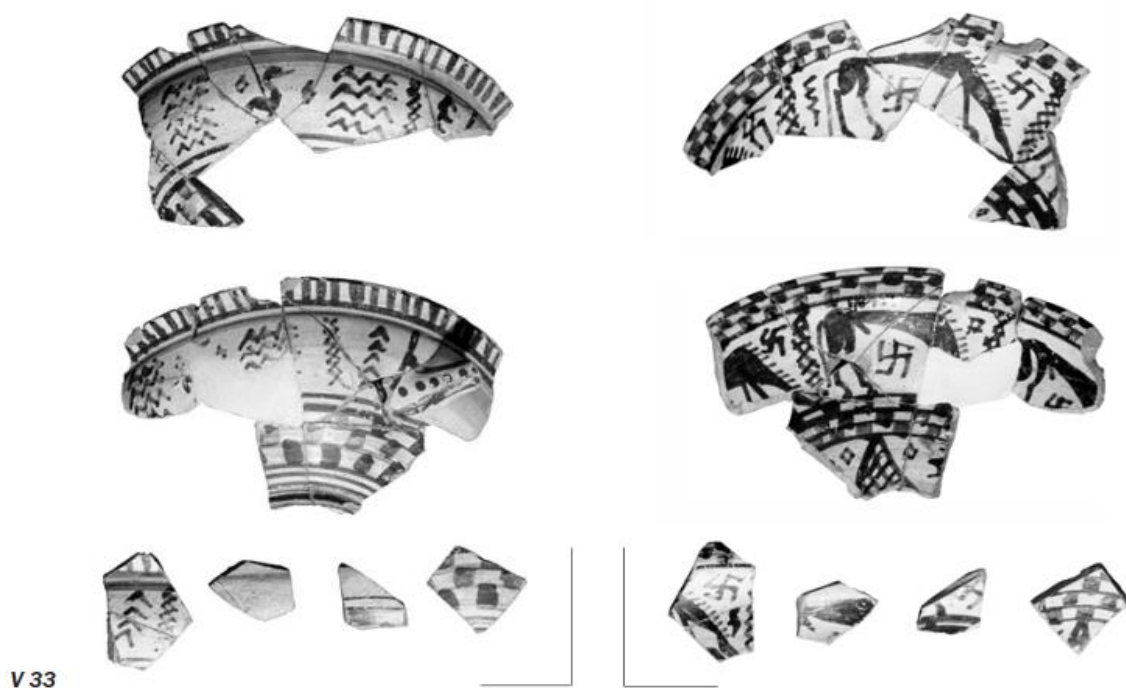


Fig. 75: Photos de fragments de la coupe V33, provenant du sanctuaire d'Apollon Daphnéphoros à Erétrie, daté de l'époque Géométrique.

(Inv. E/8-269.1, V33. *Eretria* XIV, Pl. 103.)

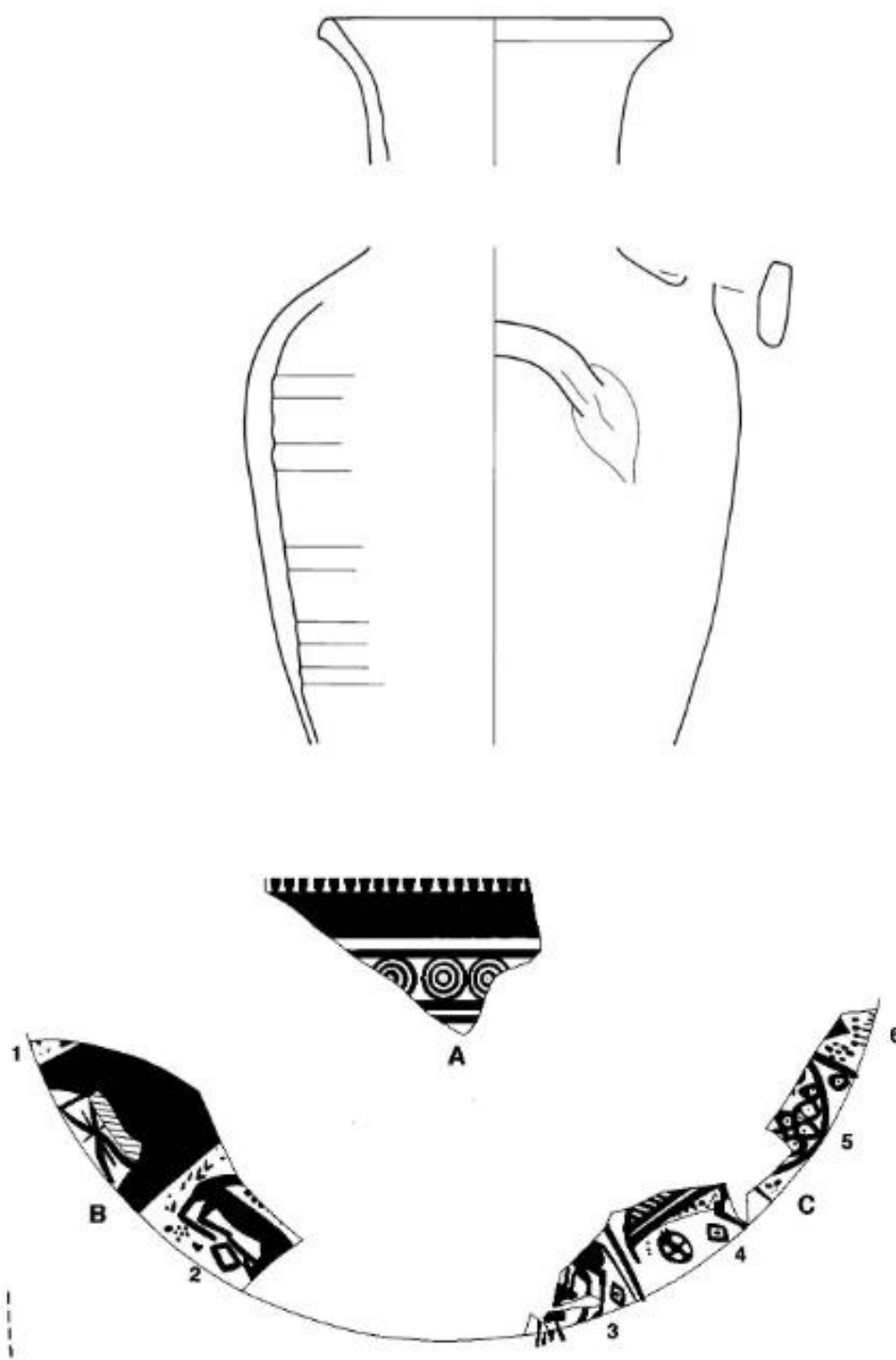


Fig. 76: Dessin et reconstitution de l'hydrie V52 et de son décor sur l'épaule, provenant du sanctuaire d'Apollon Daphnéphoros à Erétrie, daté de l'époque Géométrique.  
(Inv. V 4532, V52. *Eretria* XIV, Pl. 32.)



Fig. 77: Dessin et reconstitution de l'hydrie V52 et de son décor sur la panse, provenant du sanctuaire d'Apollon Daphnéphoros à Erétrie, daté de l'époque Géométrique.  
(Inv. V 4532, V52. *Eretria* XIV, Pl. 32.)

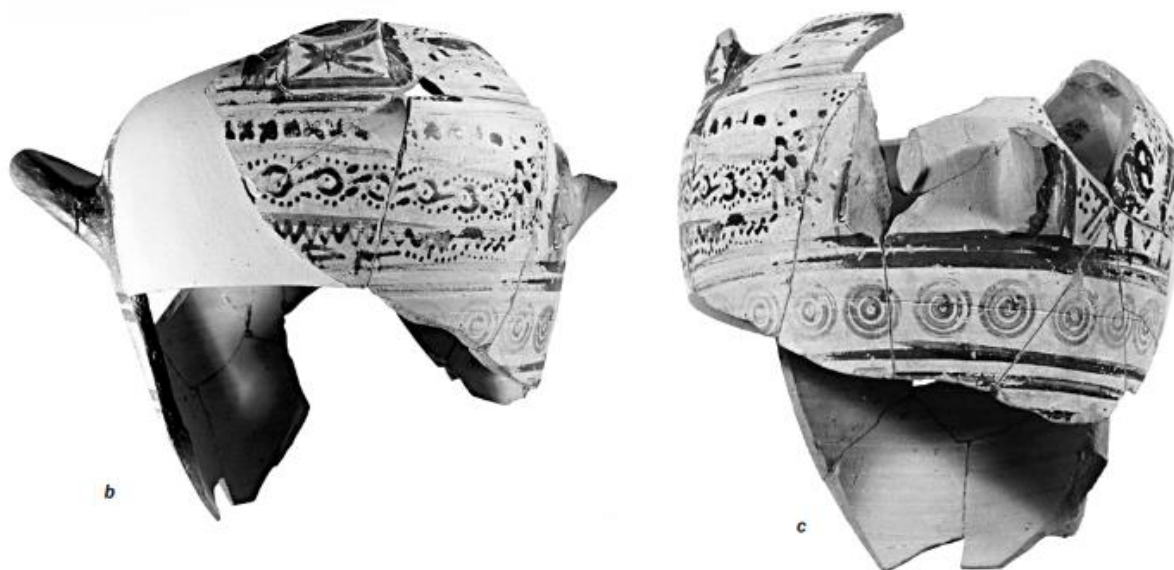


Fig. 78: Les faces A et B de l'hydrie V52 provenant du sanctuaire d'Apollon Daphnéphoros à Erétrie, daté de l'époque Géométrique.  
(Inv. V 4532, V52. *Eretria* XIV, Pl. 105.)



Fig. 79: La face B de l'hydrie V52 provenant du sanctuaire d'Apollon Daphnéphoros à Erétrie, daté de l'époque Géométrique.

(Inv. V 4532, V52. *Eretria* XIV, Pl. 105.)



Fig. 80: Détails de la face B de l'hydrie V52 provenant du sanctuaire d'Apollon Daphnéphoros à Erétrie, daté de l'époque Géométrique.

(Inv. V 4532, V52. *Eretria* XIV, Pl. 106.)





Fig. 81: Détails du décor de la panse d'un cratère attique géométrique attribué au « Peintre du Dipylon », daté entre les IX<sup>e</sup> et VIII<sup>e</sup> siècle av. J.-C.  
(MET, New York, Inv.14.15. Collections en ligne.)



Fig. 82: Cratère fragmentaire attique géométrique attribué au « Peintre du Dipylon », daté vers 750 av. J.-C.  
(Musée du Louvre, Paris, Inv. S 568. Collections en ligne.)





Fig. 83: Faces A et B du cratère attique géométrique de Thèbes dit « de Londres » attribué au groupe du Subdipylon, daté vers 735 av. J.-C.  
(British Museum, London, Inv. 1899,0219.1. Collections en ligne.)



Fig. 84: Céramiques géométriques eubéennes présentant des bateaux. A gauche, une pyxide de la nécropole de Toumba, à Lefkandi. A droite, un tesson de cratère de la nécropole de Skoubris, à Lefkandi également.

(VERDAN 2006, Fig. 4.)



Fig. 85: Amphore chalcidienne à col à figures noires attribuée au « Peintre des inscriptions », datée vers 540 av. J.-C. Son décor représente l'épisode du rapt des chevaux de Rhésos par Ulysse et Diomède.

(Getty Museum à Malibu, Inv. 96.AE.1, collections en ligne)

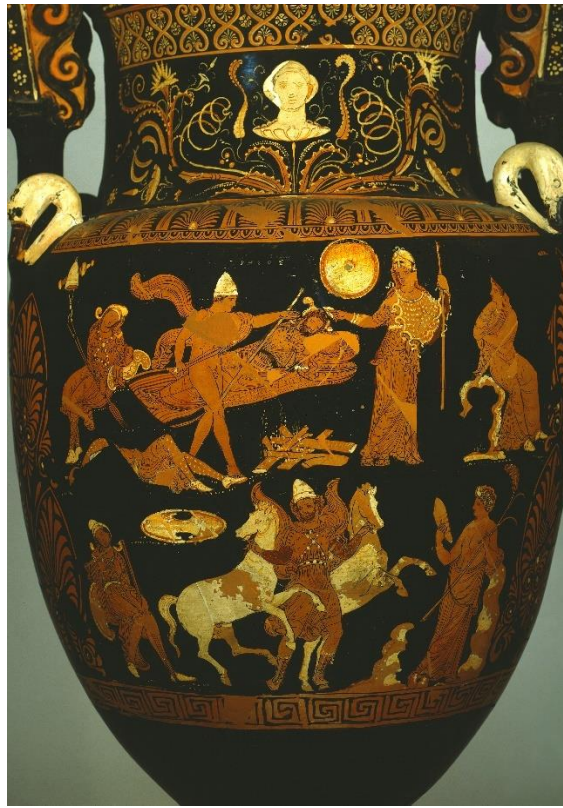


Fig. 86: Cratère à volute apulien attribué au « Peintre de Darius », daté vers 340 av. J.-C. Son décor représente l'épisode du rapt des chevaux de Rhésos par Ulysse et Diomède.  
(Antikensammlung à Berlin, Inv. 1984.39 n3, collections en ligne)



Fig. 87: Hydrie fragmentaire H147 provenant du sanctuaire d'Apollon Daphnéphoros à Erétrie, daté de l'époque Géométrique.  
(Inv. E/8-363.31, H 147. *Eretria* XIV, Pl. 75.)



Fig. 88: Dessin du décor de la panse de l'hydrie H147 provenant du sanctuaire d'Apollon Daphnéphoros à Erétrie, daté de l'époque Géométrique.  
(Inv. E/8-363.31, H 147. *Eretria* XIV, Pl. 75.)



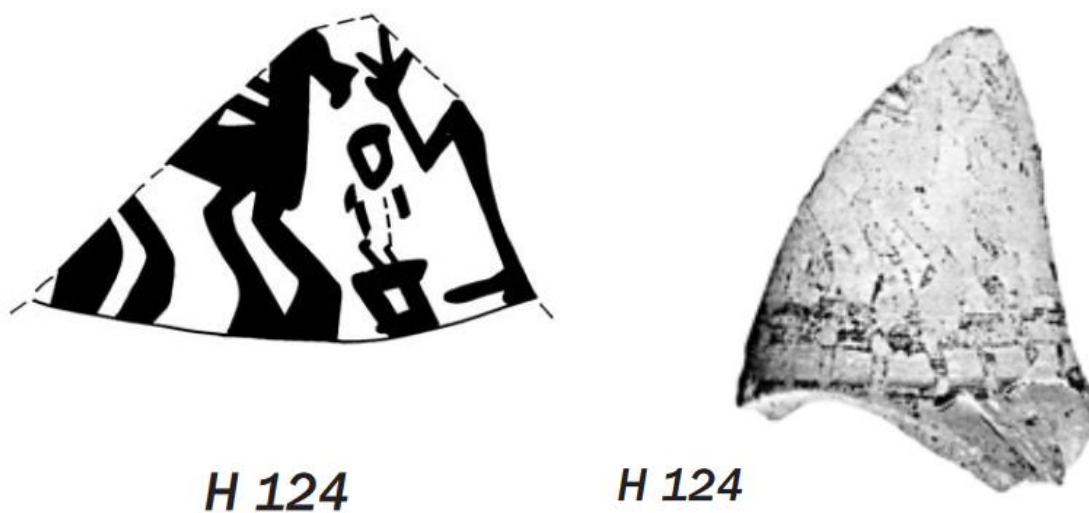


Fig. 89: Dessin et photo du fragment de col H124, provenant du sanctuaire d'Apollon Daphnéphoros à Erétrie, daté de l'époque Géométrique.

(Inv. E/8-259.2, H124. *Eretria* XIV, Pl. 19 et 72.)



**369 (h. 6.6cm)**

Fig. 90: Fragment de panse de vase fermé où l'on distingue le motif du « maître des chevaux » provenant du sanctuaire d'Apollon Daphnéphoros à Erétrie, daté de l'époque Géométrique.

(Inv. 369.704-1. *Eretria* XXII, Pl. 99.)



**H 123**



**H 123**

Fig. 91: Dessin et photo du fragment de col H123, provenant du sanctuaire d'Apollon Daphnéphoros à Erétrie, daté de l'époque Géométrique.

(Inv. F/800-618.15, H123. *Eretria* XIV, Pl. 19 et 72.)



**H 122**



**H 122**

Fig. 92: Dessin et photo du fragment de col H122, provenant du sanctuaire d'Apollon Daphnéphoros à Erétrie, daté de l'époque Géométrique.

(Inv. F/800-532.15, H122. *Eretria* XIV, Pl. 19 et 72.)



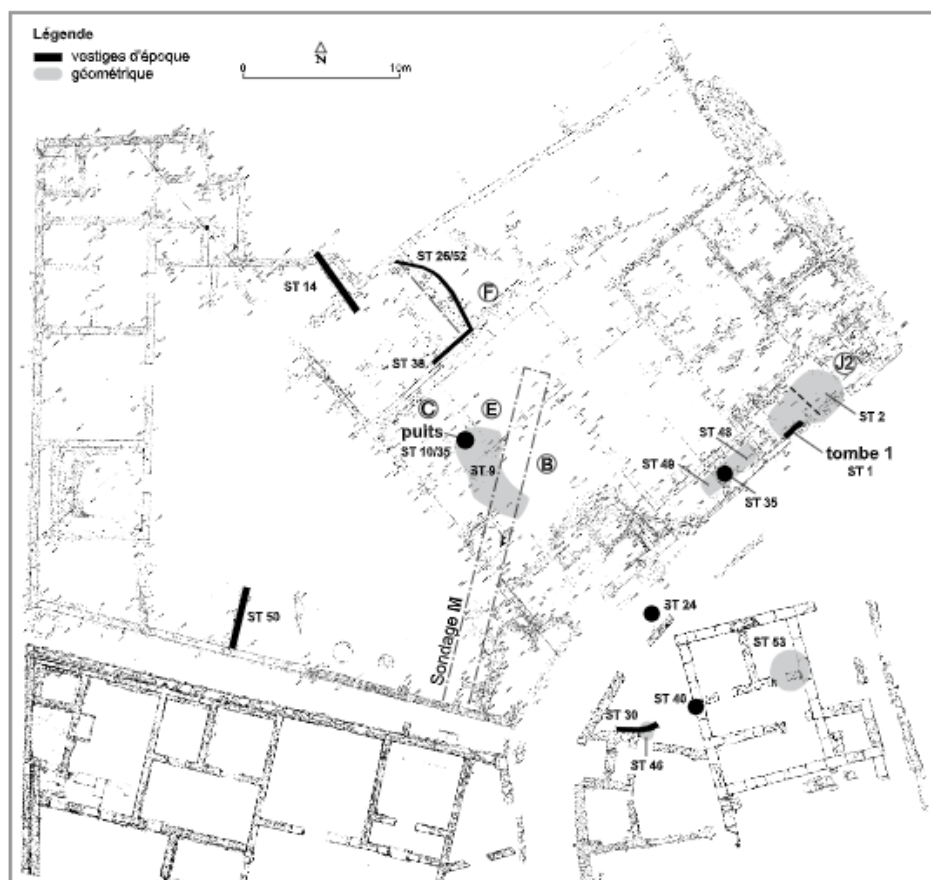


Fig. 93: Plan de la Maison IV à Erétrie.

(*Eretria* XVII, Pl. 125.)



Fig. 94: Lieu de découverte des tessons de « l'amphore fragmentaire de la Tombe 2 », sous la Maison IV d'Erétrie, dans l'angle est de la pièce C.

(*Eretria* XVII, Pl. 129.)

T2.1



Fig. 95: Reconstitution du col de « l'amphore fragmentaire de la Tombe 2 », découverte sous la Maison IV d'Erétrie, daté d'époque géométrique.

(Inv. V 4086 et V 4188. *Eretria* XVII, Pl. 127.)



Fig. 96: Fragments du col de « l'amphore de la Tombe 2 », découverte sous la Maison IV d'Erétrie, daté d'époque géométrique.

(Inv. V 4086 et V 4188. *Eretria* XVII, Pl. 128.)

Planche 71

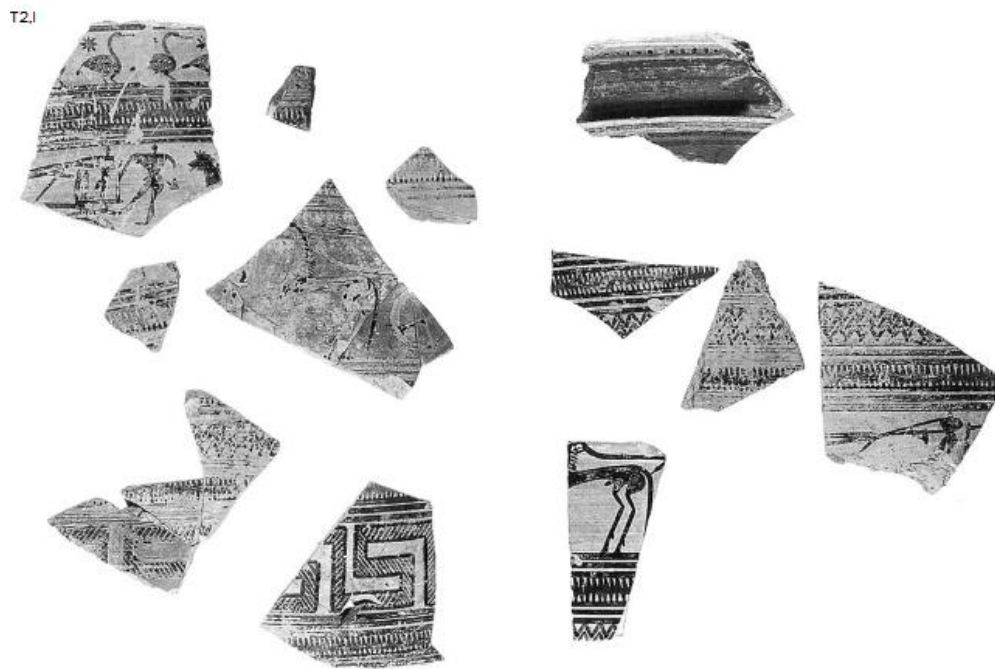


Fig. 97: Tessons de « l'amphore fragmentaire de la Tombe 2 », découverte sous la Maison IV d'Erétrie, daté d'époque géométrique.

(Inv. V 4086 et V 4188. *Eretria* XVII, Pl. 129.)



Fig. 98: Amphore panathénaïque attique à figures noires attribuée au Peintre de Marsyas, datée entre 340-339 av. J.-C.

(The J. Paul Getty Museum, Los Angeles, Inv. 79.AE.147. Collections en ligne.)





Fig. 99: Face A d'une hydrie à figure noire attique attribuée au groupe de Leagros, datée du Ve siècle av. J.-C.

(Museum of Fine Arts, Boston, Inv. 63.473. Collections en ligne.)



Fig. 100: Dessin de la face A d'une hydrie à figure noire attique attribuée au groupe de Leagros, datée du Ve siècle av. J.-C.

(Museum of Fine Arts, Boston, Inv. 63.473. SCANLON 2018, Fig. 1.)



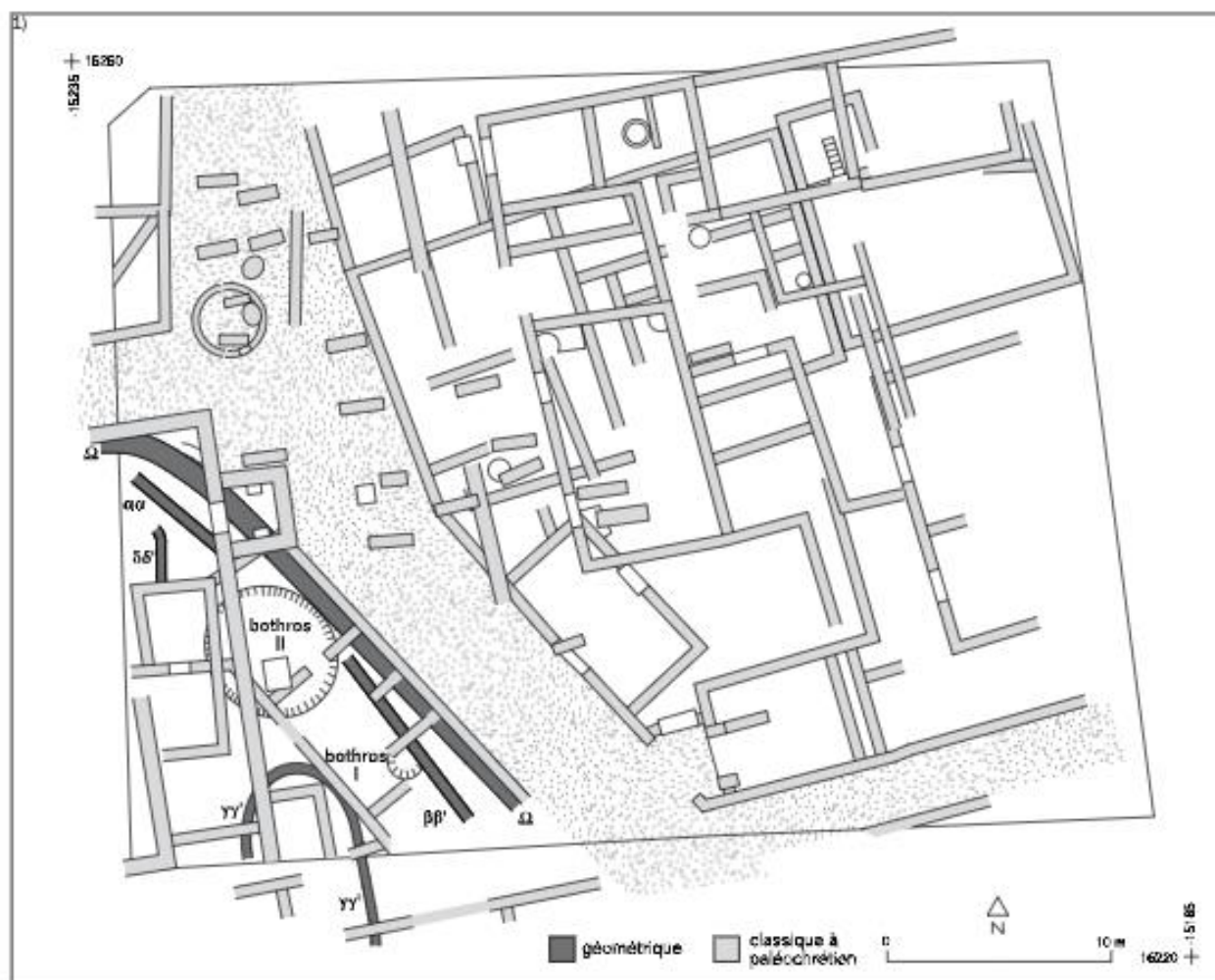


Fig. 101: Plan d'O.T. 740, avec le *bothros* II (en bas à gauche).

(*Eretria* XVII, Pl. 185.)

2)



Fig. 102: Trois statuettes fragmentaires de chevaux provenant du *bothros* II, dans la zone O.T. 740 à Erétrie. (*Eretria* XVII, Pl. 185.)



Fig. 103: Statuette de cheval monté d'un cavalier (?), provenant du sondage 73.6, probablement dans l'édifice 2 à Erétrie.  
(Inv. T4284 (73139-1). *Eretria* XXII, Pl. 109.)

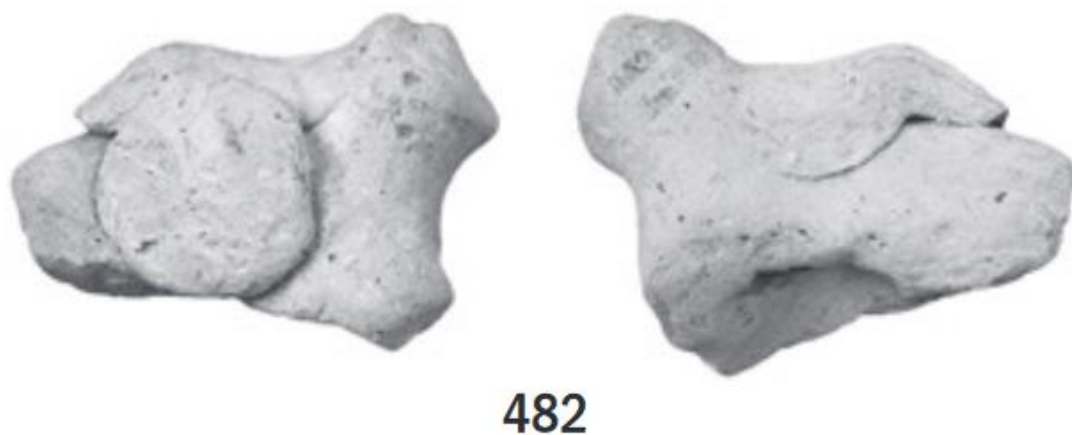


Fig. 104: Statuette de cheval monté d'un cavalier armé d'un bouclier (?), provenant de la fosse 197, dans le sondage 99.5 à Erétrie.

(Inv. T2430 (7133-1). *Eretria* XXII, Pl. 109.)

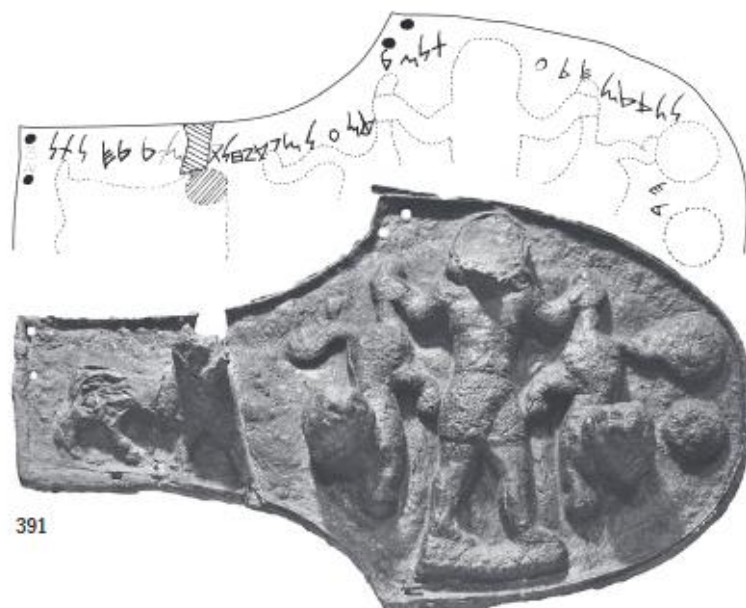


Fig. 105: Première œillère droite de chevaux en bronze, provenant certainement du nord de la Syrie, inscrite et dédiée au roi Hazaël de Damas, datée du IX<sup>e</sup> siècle av. J.-C., découverte par K. Kourouniotis, issue d'un contexte inconnu à Erétrie.  
(Musée archéologique d'Erétrie, Inv. B 273. *Eretria* XXII, Pl. 102.)



Fig. 106: Seconde œillère droite de chevaux en bronze, provenant certainement du nord de la Syrie, non-inscrite, datée du IX<sup>e</sup> siècle av. J.-C., découverte par C. Bérard, issue du sondage 73.8 sous le sol du bâtiment 2 à Erétrie.  
(Musée National d'Athènes, Inv. 15070. *Eretria* XXII, Pl. 102.)

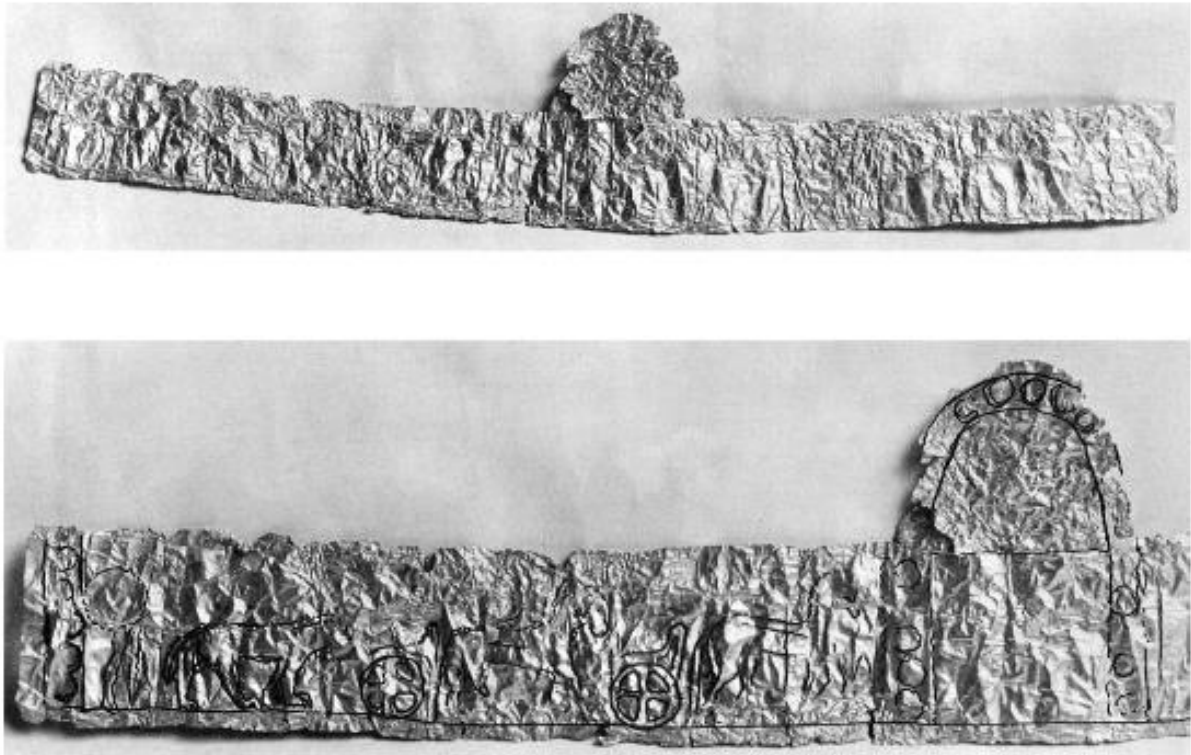


Fig. 107: Diadème en or déplié, issu du « Trésor d'orfèvre », provenant de la zone O.T. 740 à Erétrie. (*Eretria* XVII, Pl. 195.)

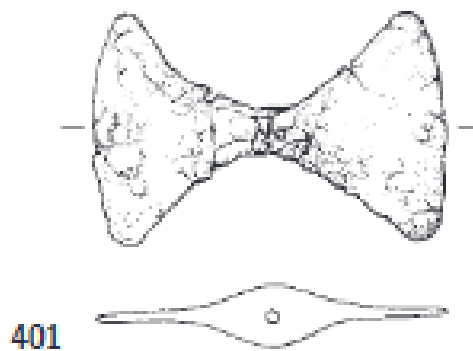


Fig. 108: Double hache miniature percée d'un trou pour y placer un petit manche, provenant du sondage 73 dans le bâtiment 2 à Erétrie.

(Inv. B294 (73143-2). *Eretria* XXII, Pl. 103.)



400

Fig. 109: Dessin d'une chaînette à anneaux multiples en bronze incomplète, provenant du sondage 98 à Erétrie.

(Inv. B1186 (9831-1). *Eretria* XXII, Pl. 103.)



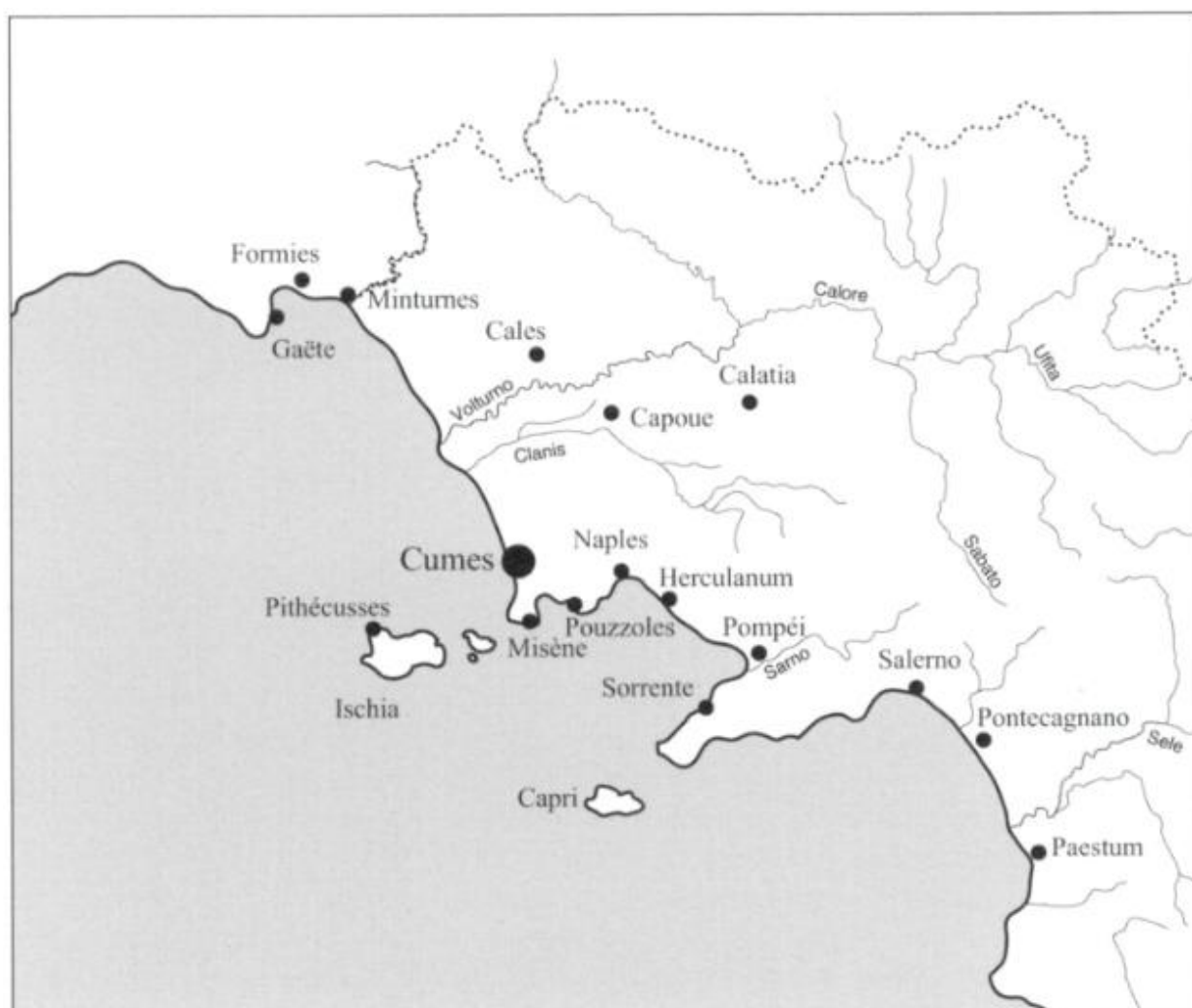


Fig. 110: Carte de la région de la Campanie actuelle et de ces principaux sites, avec notamment Pithécusses et Cumes.

(MUNZI & BRUN 2011, p. 148.)

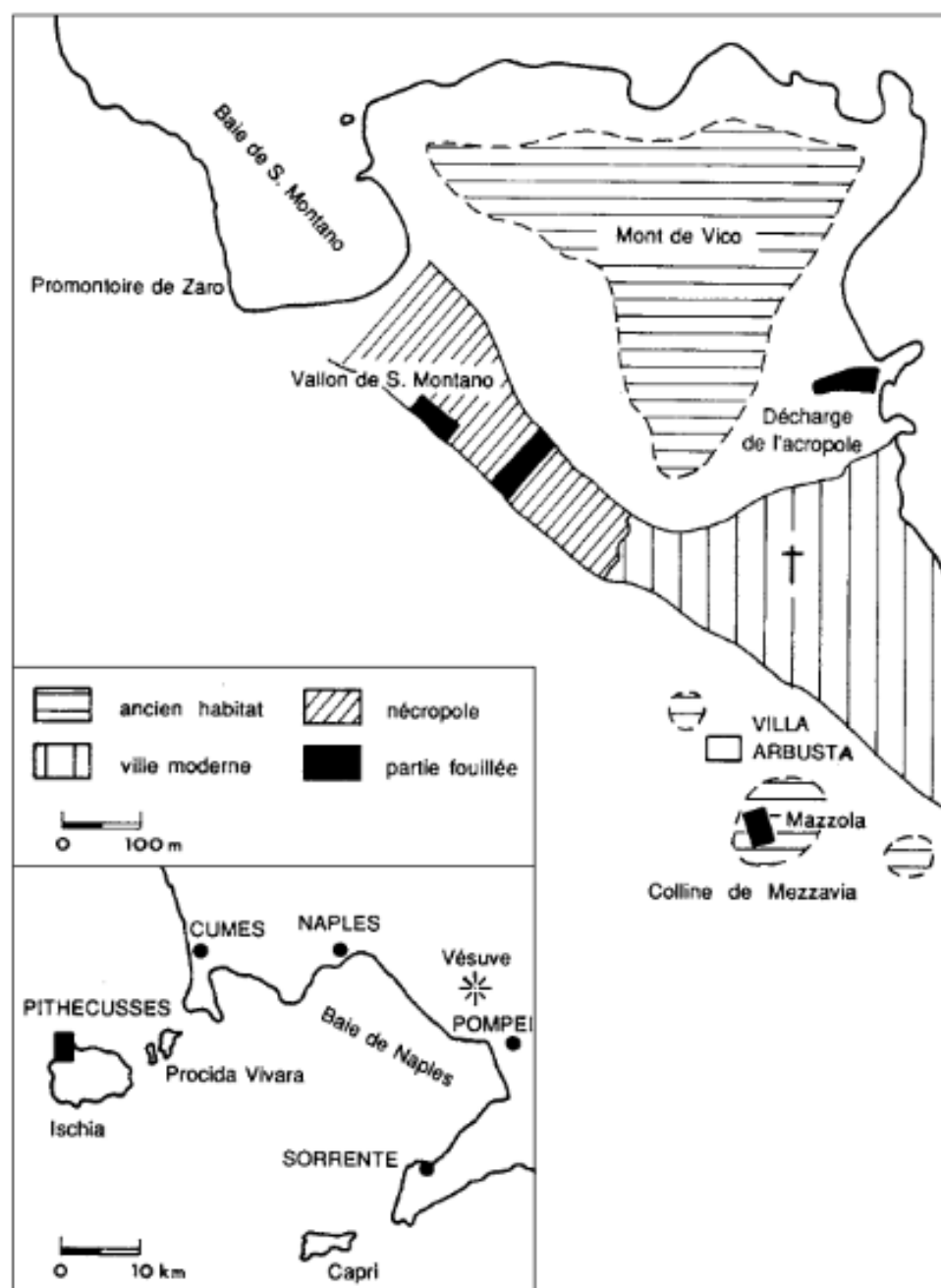


Fig. 111: Plan de Pithécusses et des centres archéologiques importants.  
(*Eretria* XVII, Pl. 213.)

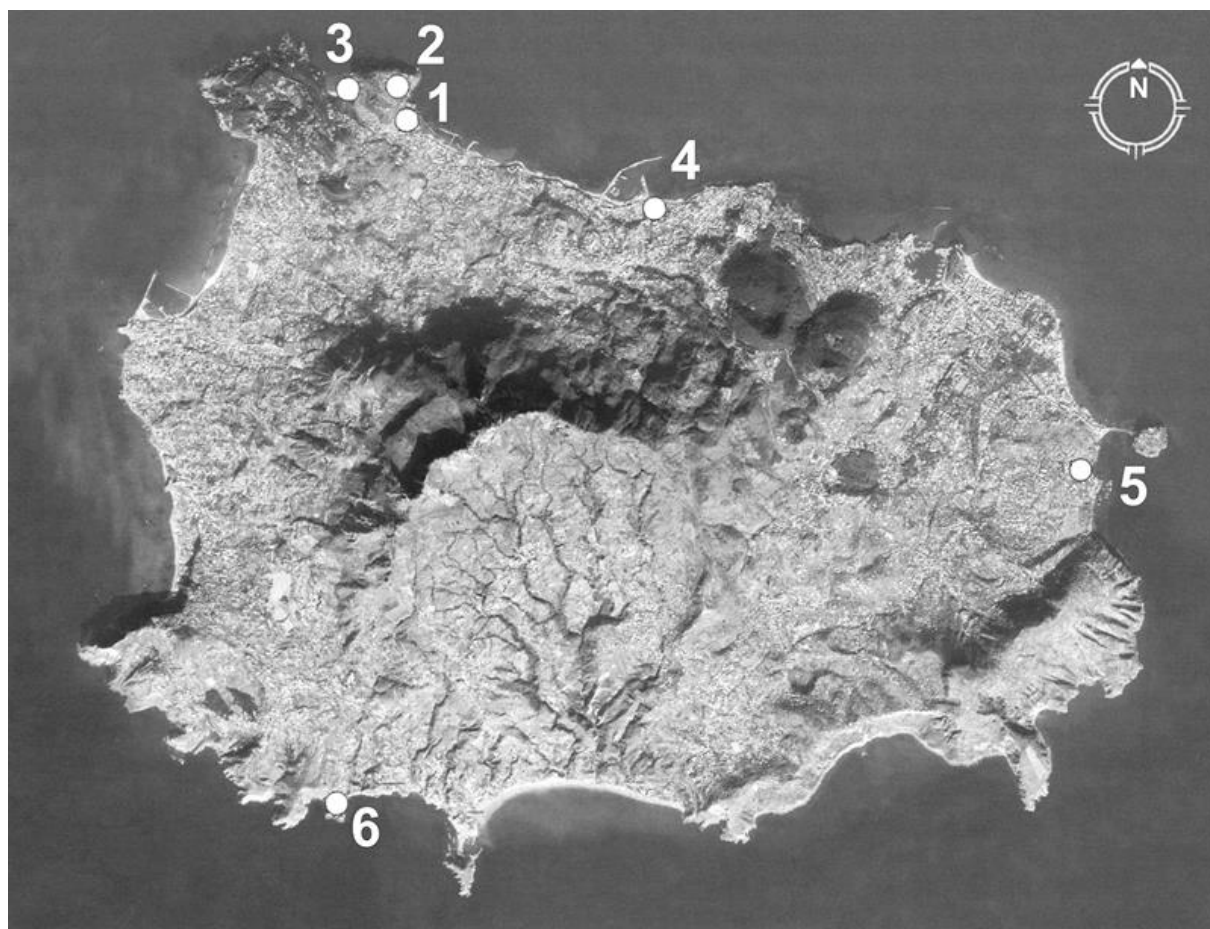


Fig. 112: Vue satellite de l'île d'Ischia avec ses sites principaux (seuls trois points nous intéressent ici : 1. Lacco Ameno, 2. Monte di Vicco, 3. Baie de San Montano).

(GUZZO 2014, Fig. 1.)

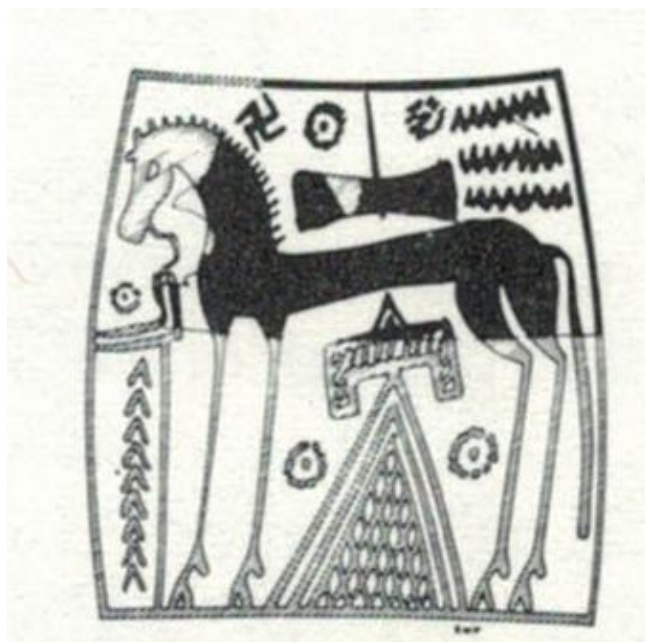


Fig. 113: Reconstitution d'une métope illustrée du motif du « cheval à la mangeoire » sur un cratère provenant de la Maison absidiale, sur la colline de Mezzavia à Pithécusses, daté du Géométrique tardif.

(Musée Archéologique National de Naples, Inv. 245625. COLDSTREAM 1977, Fig. 74d.)



Fig. 114: Cratère dit du « panneau au cheval à la mangeoire » provenant de la Maison absidiale, sur la colline de Mezzavia à Pithécusses, daté du Géométrique tardif.

(Musée Archéologique National de Naples, Inv. 245625. COLDSTREAM 1977, Fig. 74c.)



Fig. 115: Photo couleur du cratère du « panneau au cheval à la mangeoire » provenant de la Maison absidiale, sur la colline de Mezzavia à Pithécusses, daté du Géométrique tardif. (Musée Archéologique National de Naples, Inv. 245625. Image personnelle.)



Fig. 116: Photo couleur du cratère du « panneau au cheval à la mangeoire » provenant de la Maison absidiale, sur la colline de Mezzavia à Pithécusses, daté du Géométrique tardif. (Musée Archéologique National de Naples, Inv. 245625. Image personnelle.)



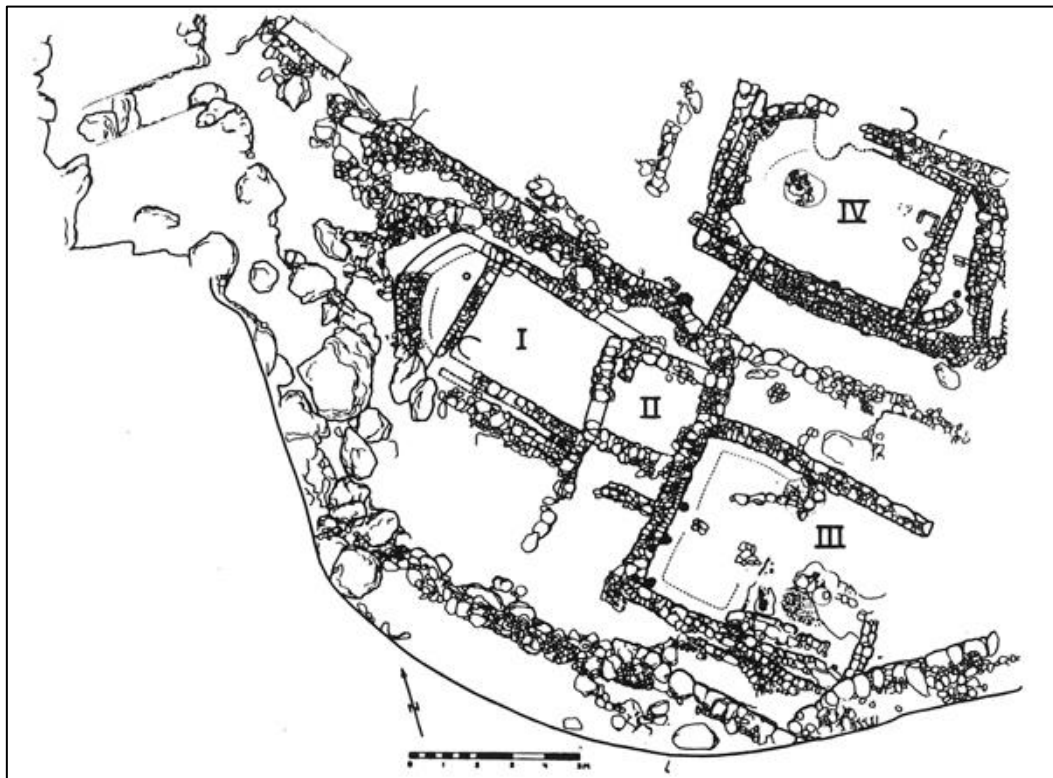


Fig. 117: Plan du complexe de Mazzola et de la Maison absidial à Pithécusses.  
(GUZZO 2014, Fig. 8.)

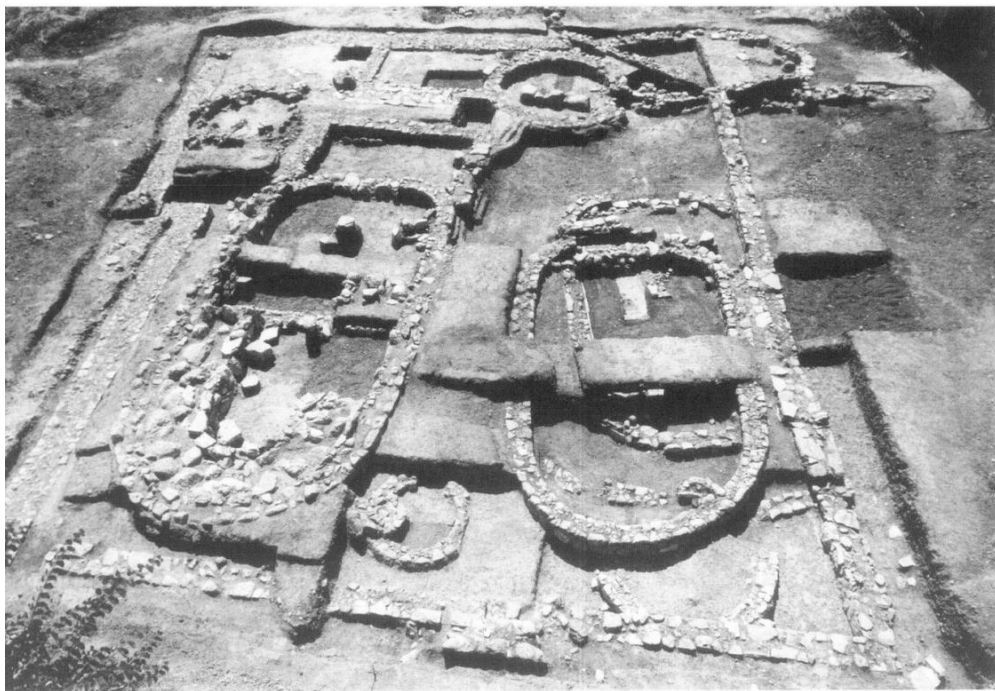


Fig. 118: Plan du bâtiment Θ d'Oropos (à gauche), en Attique, vue du nord.  
(MAZARAKIS AINIAN 1998, Fig. 17.)

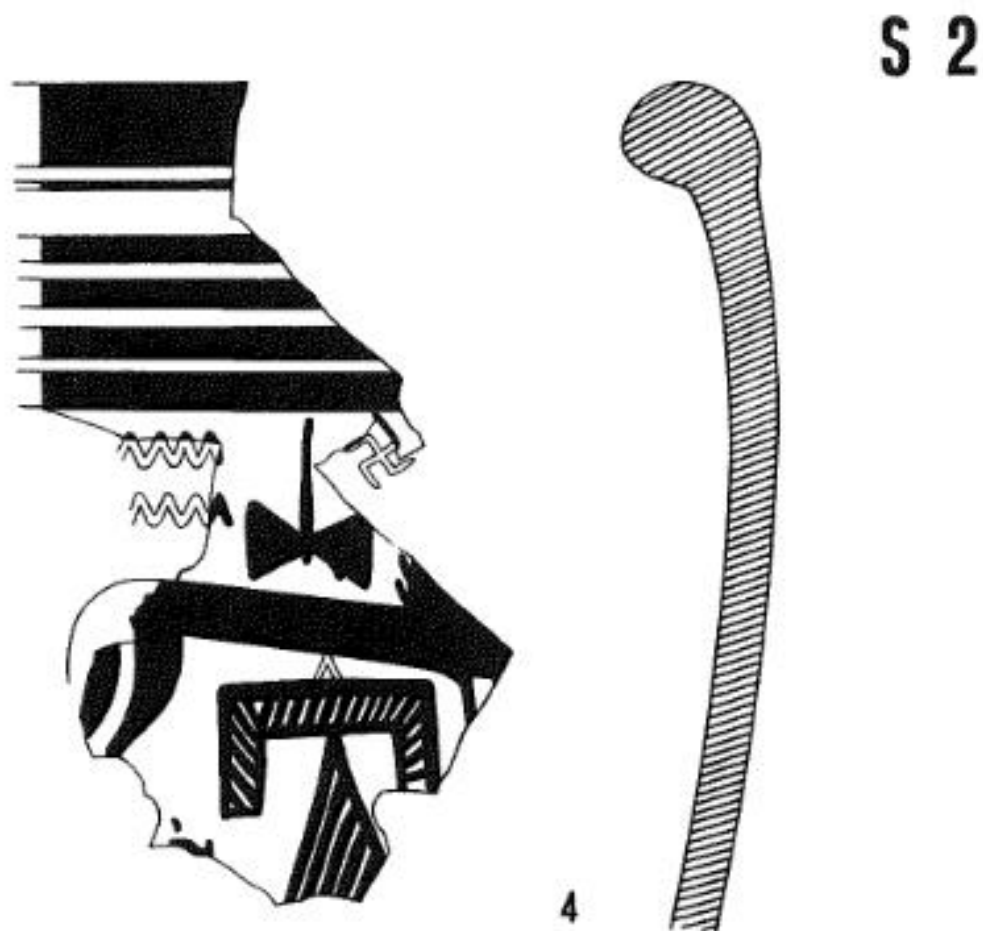


Fig. 119: Dessin d'un fragment de col cylindrique d'amphore eubéenne provenant de la nécropole de San Montano à Pithécusses, daté Géométrique tardif.  
(Inv. 168826. BUCHNER & RIDGWAY 1993, Pl. 242.)

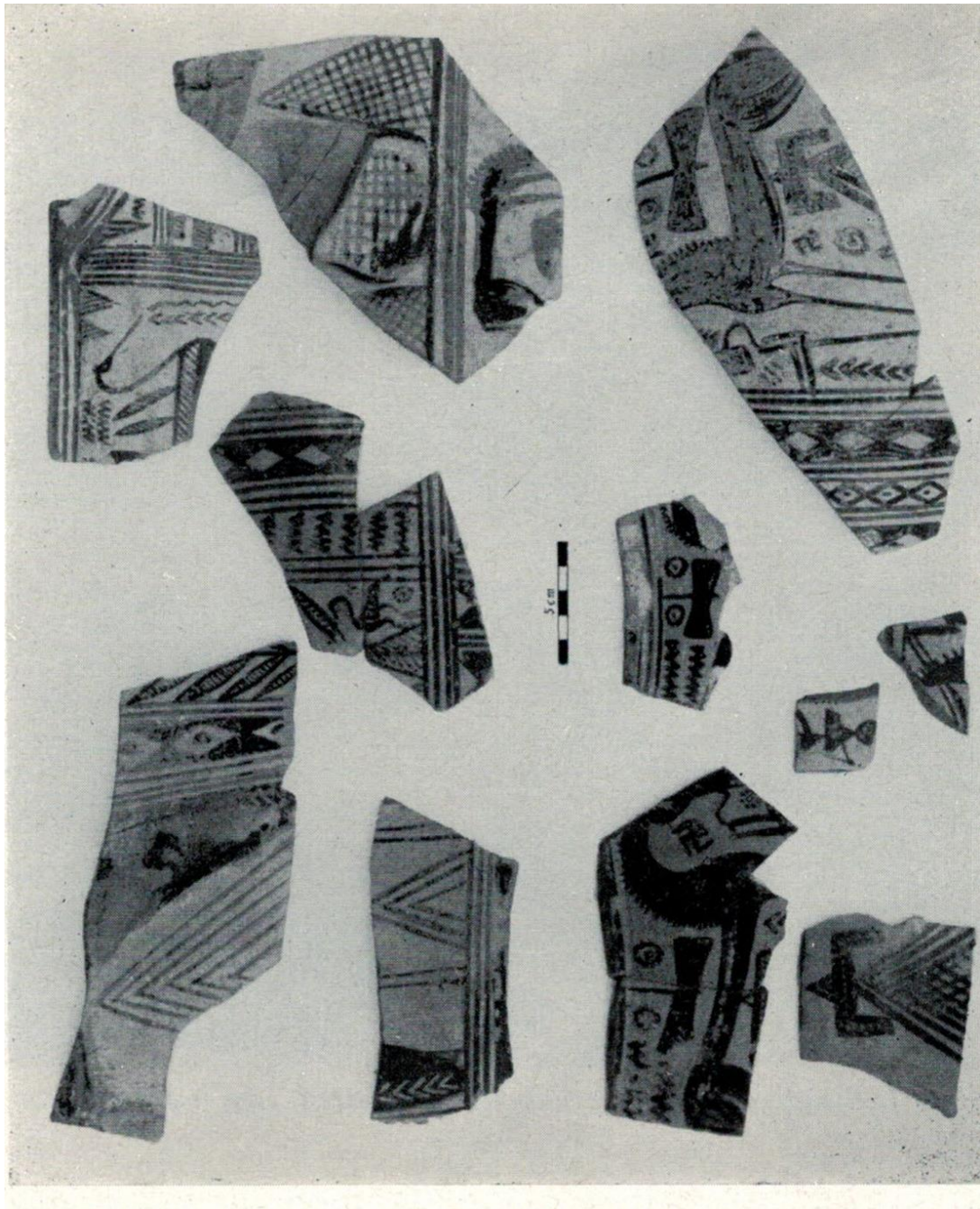


Fig. 120: Fragments de cratères géométriques décorés à la manière du « Peintre de Cesnola »,  
provenant de Monte di Vico à Pithécusses, daté Géométrique tardif.  
(*DA* III 1969, Fig. 11)



Fig. 121: Tesson de cratère décoré à la manière du Peintre de Cesnola, provenant de la décharge de l'acropole de Scarico Gosetti, daté du Géométrique tardif.  
(COLDSTREAM 1995, Pl. 27.)



Fig. 122: Canthare de la tombe 949/2 provenant de la nécropole de San Montano à Pithécusses, daté vers 730 av. J.-C.  
(MORGAN 2001, Fig. 11.)

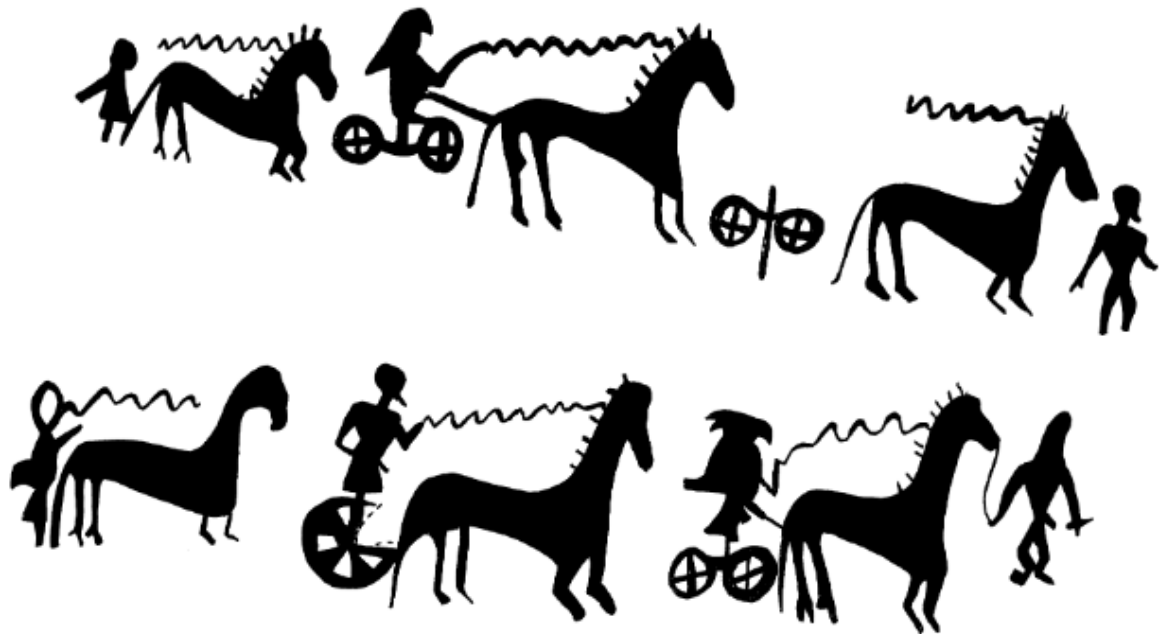


Fig. 123: Dessin des faces A et B du canthare de la tombe 949/2 provenant de la nécropole de San Montano à Pithécusses, daté vers 730 av. J.-C.  
(MORGAN 2001, Fig. 13.)





Fig. 124: Reconstitution du cratère fragmentaire de la « Maîtresse des chevaux » et de son décor, provenant de la zone Usine b II-III dans la nécropole de San Montano à Pithécusses, daté entre le VIII<sup>e</sup> et début du VI<sup>e</sup> siècle av. J.-C.  
(Inv. 168817. BUCHNER & RIDGWAY 1993, Pl. 235.)



Fig. 125: Photo cratère fragmentaire de la « Maîtresse des chevaux » et de son décor, provenant de la zone Usine b II-III dans la nécropole de San Montano à Pithécusses, daté entre le VIII<sup>e</sup> et début du VI<sup>e</sup> siècle av. J.-C. (Inv. 168817. BUCHNER & RIDGWAY 1993, Pl. 235.)

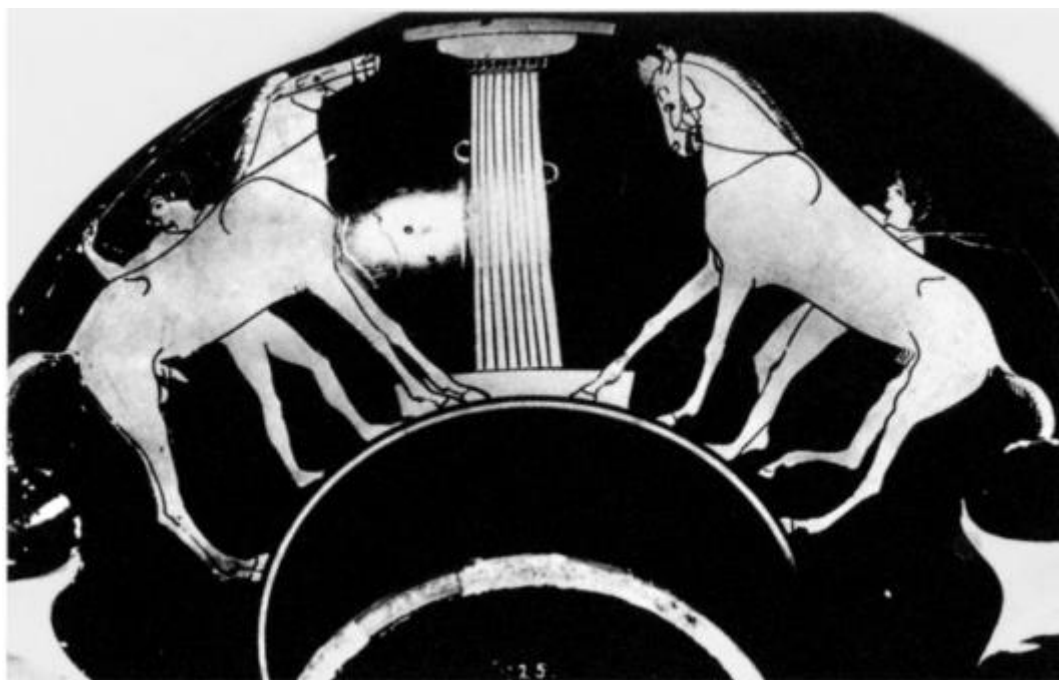


Fig. 126: Face B d'une coupe attique à figures rouges, attribuée à Onesimos, datée vers 490 av. J.-C.

(Staatliches Museum Schwerin, Inv. 725(1307). MOORE 2004, Fig. 11.)



Fig. 127: Dessin d'un cratère en cloche eubéen (?), provenant de la nécropole de San Montano à Pithécusses, daté TG II (soit la période tardo-géométrique II, vers 700 av. J.-C.).  
(Inv. 168822. BUCHNER & RIDGWAY 1993, Pl. 238.)

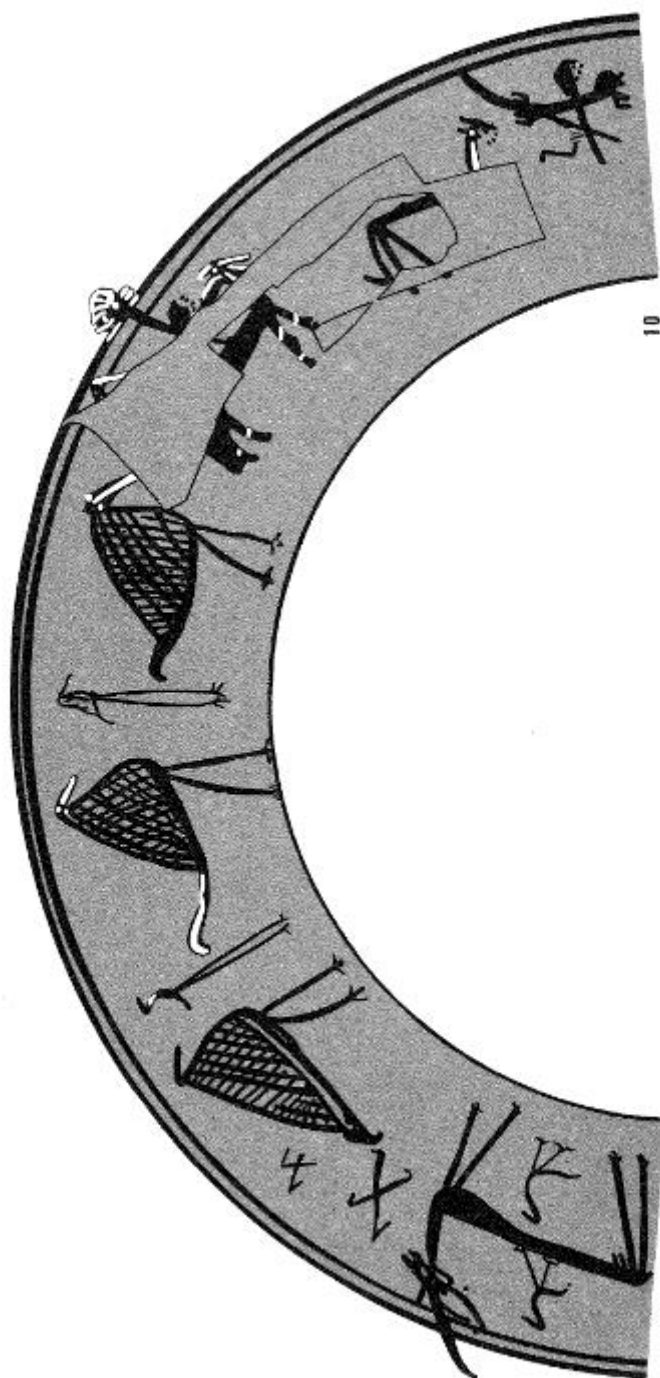


Fig. 128: Déroulé du décor de la panse d'un cratère en cloche eubéen (?), provenant de la nécropole de San Montano à Pithécusses, daté TG II (soit la période tardo-géométrique II, vers 700 av. J.-C.).

(Inv. 168822. BUCHNER & RIDGWAY 1993, Pl. 239.)





Fig. 129: Photo du cratère en cloche eubéen (?), provenant de la nécropole de San Montano à Pithécusses, daté TG II (soit la période tardo-géométrique II, vers 700 av. J.-C.).  
(Inv. 168822. BUCHNER & RIDGWAY 1993, Pl. CCVII.)



Fig. 130: Dessin d'un aryballe et son décor importé d'Eubée, provenant de la tombe 622 de la nécropole San Montano à Pithécusses, daté du TG II (soit la période tardo-géométrique II, vers 700 av. J.-C.).

(Inv. 168391. BUCHNER 1975, Pl. 175.)



Fig. 131: Statuette des chevaux tirant un char à deux roues en argile, provenant de la « Stipe dei cavalli », dans la région du Lacco Ameno à Pithécusses, daté de la fin du VII<sup>e</sup> siècle av. J.-C.

(Musée archéologique de Pithécusses. Collections en ligne)



Fig. 132: Statuette de cheval en argile, provenant de la « Stipe dei cavalli », dans la région du Lacco Ameno à Pithécusses, daté de la fin du VII<sup>e</sup> siècle av. J.-C.

(Musée archéologique de Pithécusses, Collections en ligne.)



Fig. 133: Statuette de cheval en argile, provenant de la « Stipe dei cavalli », dans la région du Lacco Ameno à Pithécusses, daté de la fin du VII<sup>e</sup> siècle av. J.-C.  
(Musée archéologique de Pithécusses, Collections en ligne.)

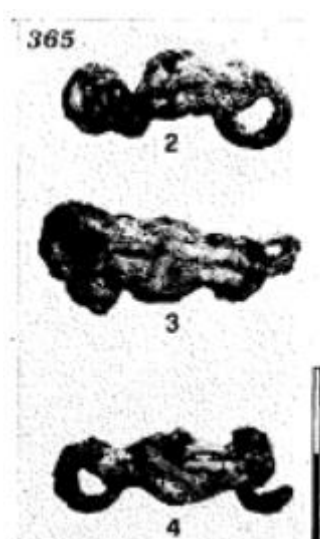


Fig. 134: Trois chaînettes de fer, provenant de la nécropole de San Montano à Pithécusses, daté du TG II (soit la période tardo-géométrique II, vers 700 av. J.-C.).

(Inv. 365.2, 365.3, 365.4. BUCHNER & RIDGWAY 1993, Pl. CLX.)

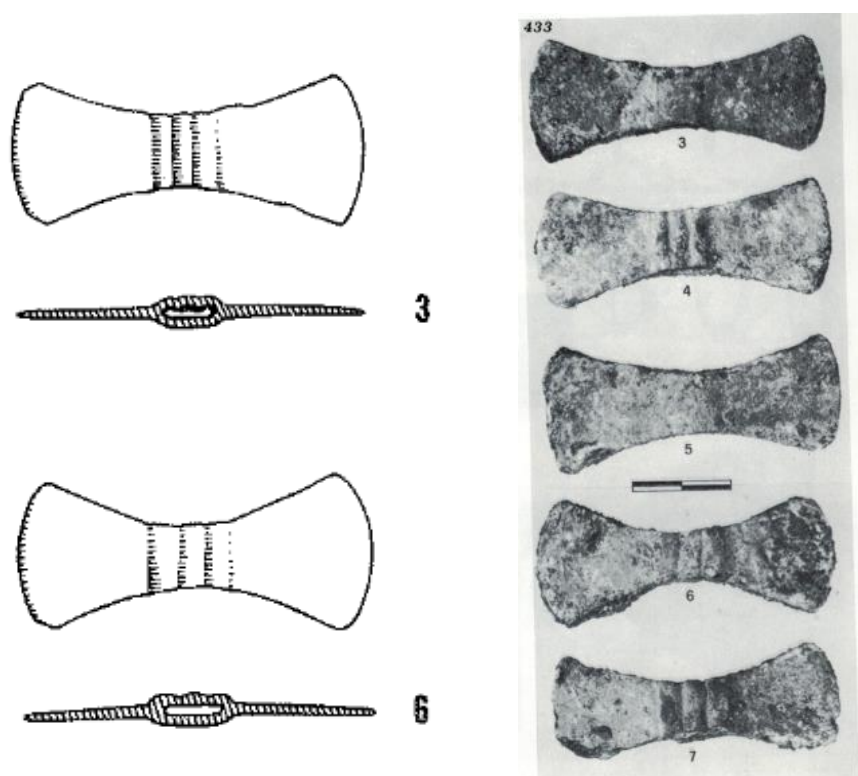


Fig. 135: Dessin et photos de haches à double tranchant miniatures, provenant de la nécropole de San Montano à Pithécusses, daté du TG II (soit la période tardo-géométrique II, vers 700 av. J.-C.).

(BUCHNER & RIDGWAY 1993, Pl. 134 et CLX.)



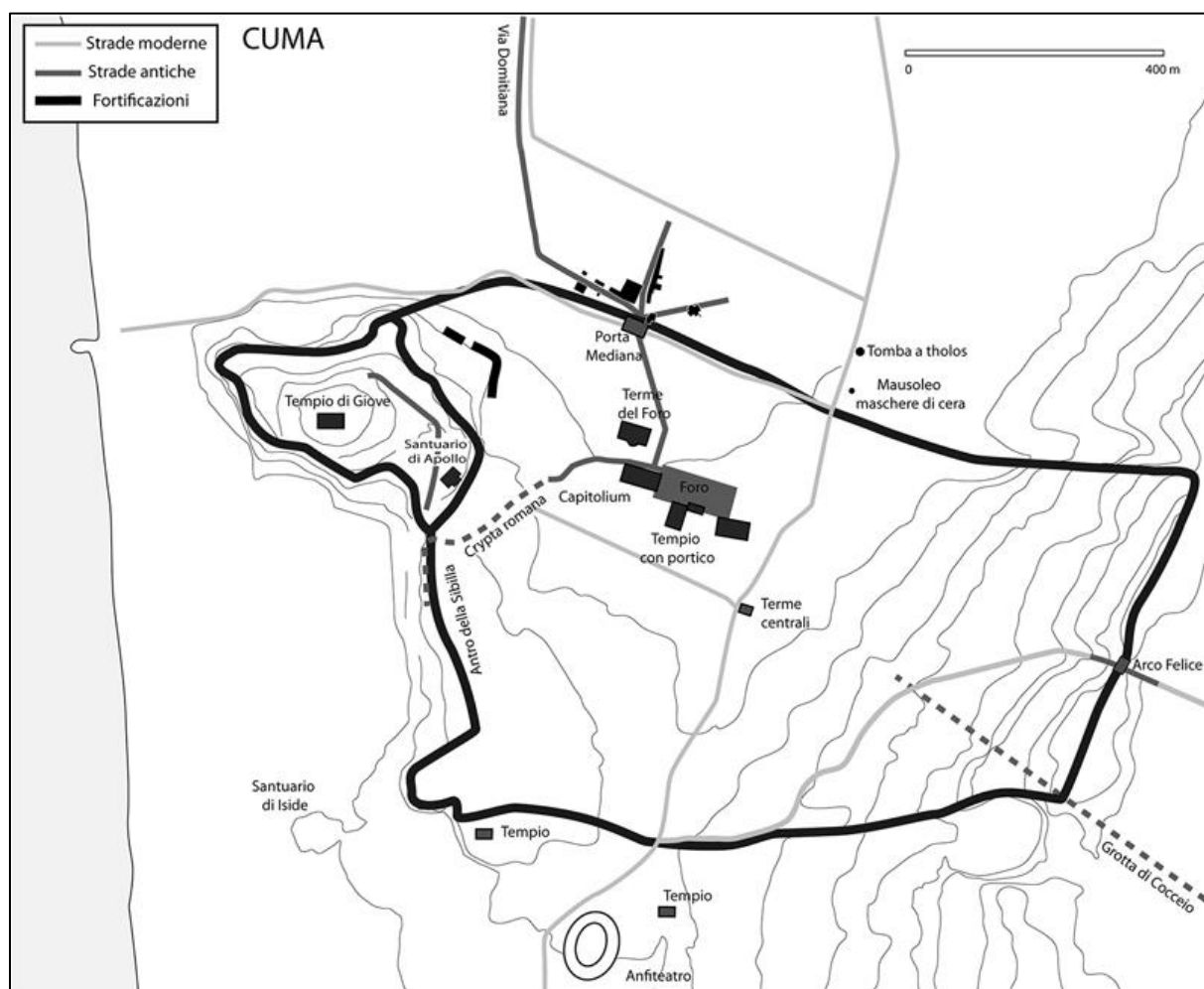


Fig. 136: Plan de Cumès et des différentes zones archéologiques.

(GUZZO 2014, Fig. 16.)

## Planche 101

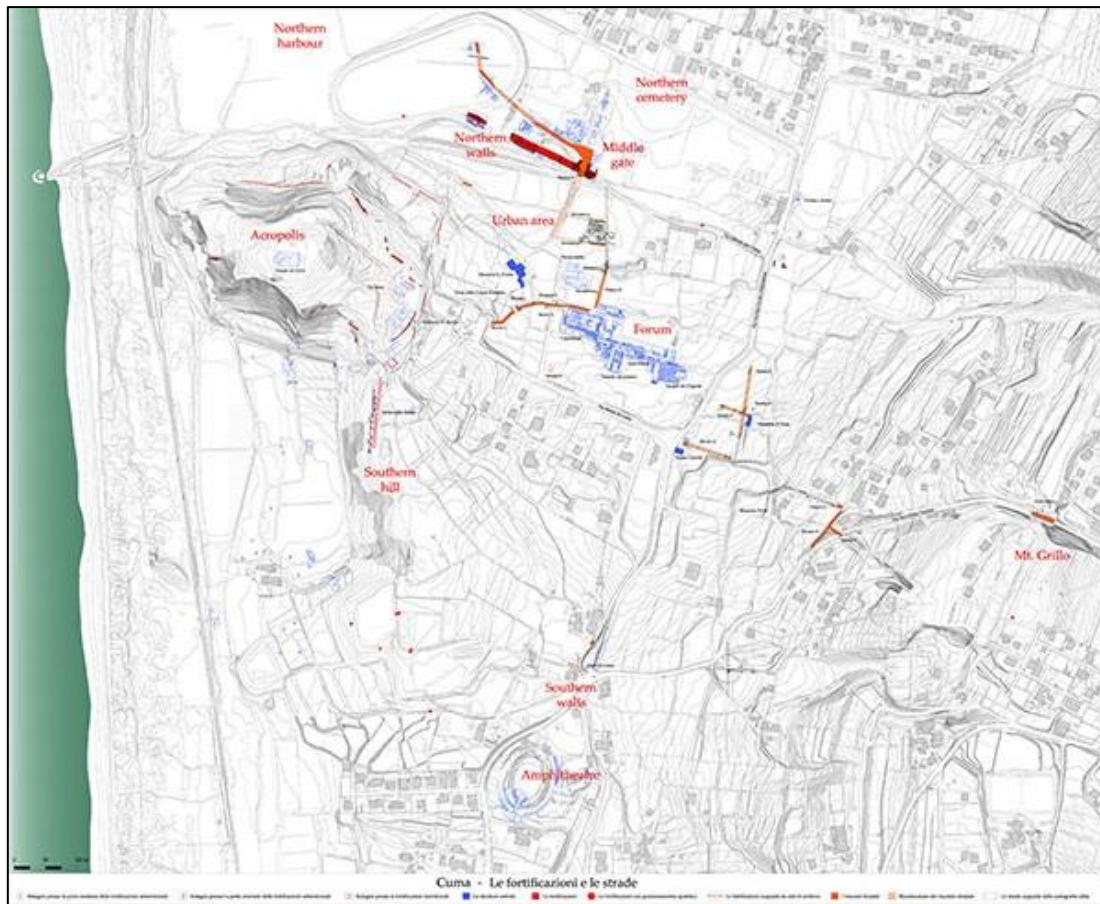


Fig. 137: Plan topographique de Cumae et des zones fouillées.

(D'ACUNTO 2015, Fig. 1.)

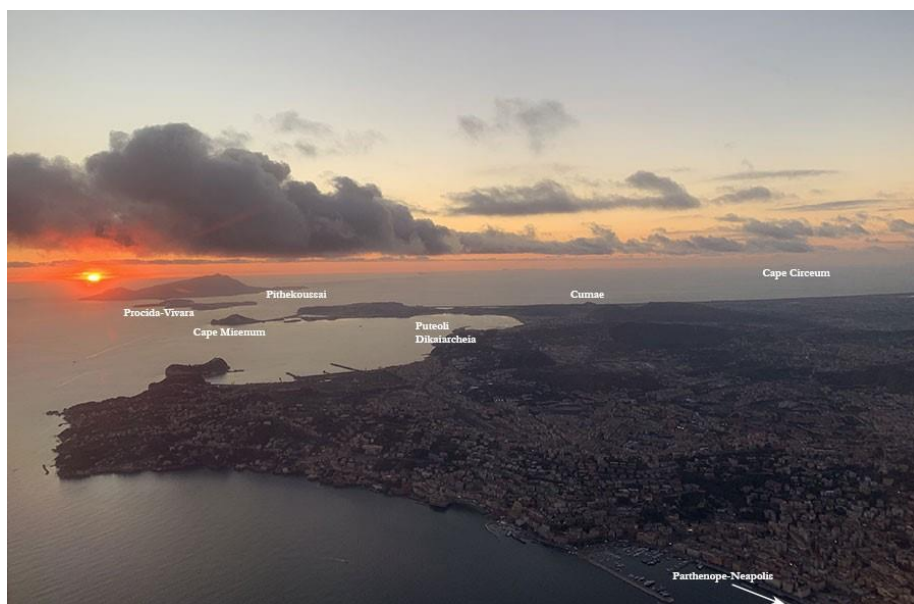


Fig. 138: Photo aérienne de la baie de Naples actuelle et de ses environs.

(D'ACUNTO 2015, Fig. 3.)

Planche 102

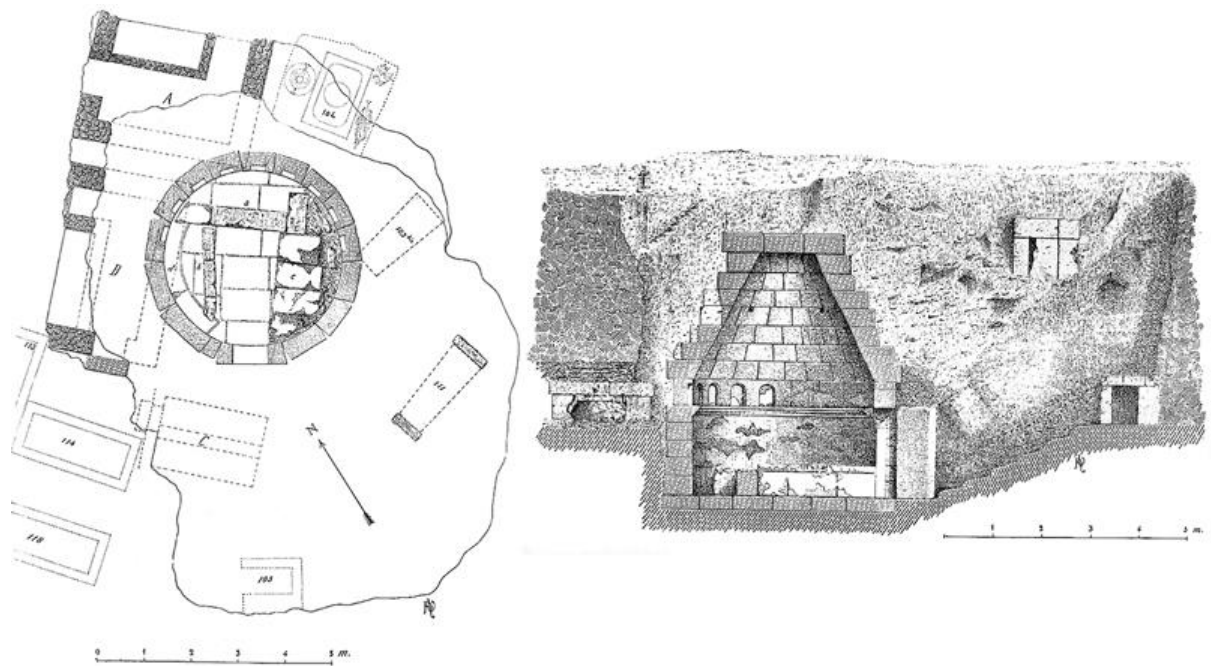


Fig. 139: Plan et coupe de la « tombe Artiano 104 » à Cumae, datée des deux dernières décennies du VIII<sup>e</sup> siècle av. J.-C.

(GUZZO 2014, Fig. 21.)



Fig. 140: Amphore attique de type SOS, découverte dans la « tombe Artiano 104 » à Cumae.  
(PELLEGRINI 1903, Fig. 42.)



Fig. 141: Dessin du décor d'une amphore provenant de l'acropole de Cumes, daté des environs du VII<sup>e</sup> siècle av. J.-C.

(MORGAN 2001, Fig. 4.)

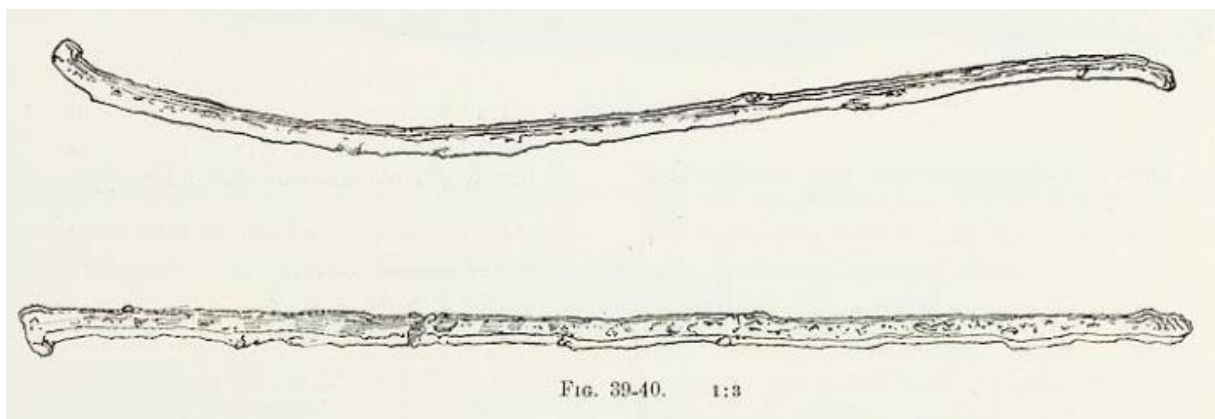


Fig. 142: Dessin de deux mors découverts dans la « tombe Artico 104 », à Cumae, datés de la fin du VIII<sup>e</sup> siècle av. J.-C.

(PELLEGRINI 1903, Fig. 39 et 40.)





Fig. 143: Exemple de petites figurines en métal représentant un cheval (?), provenant de la nécropole indigène de Cumes, daté entre les IX<sup>e</sup> et XI<sup>e</sup> siècles av. J.-C.  
(GABRICI 1913, Fig. 20.)

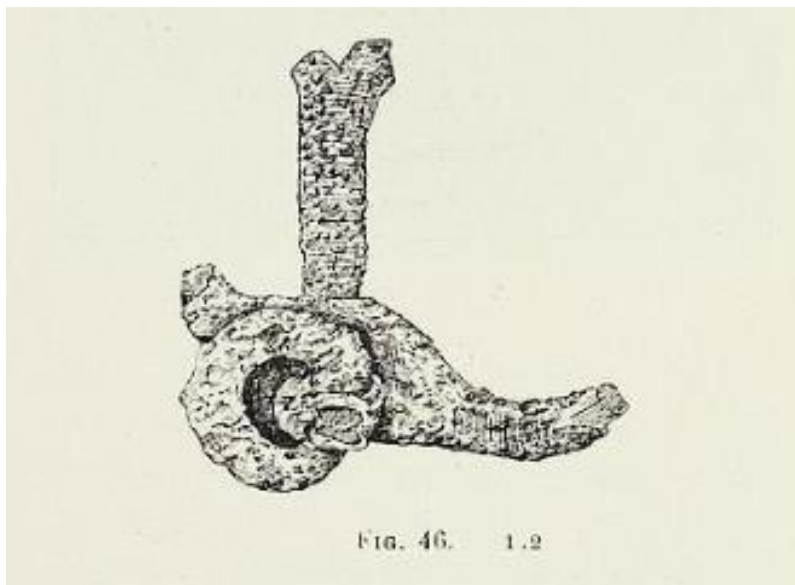


Fig. 144: Dessin d'un fragment de mor de cheval en métal, provenant de la nécropole indigène de Cumes, daté entre les IX<sup>e</sup> et XI<sup>e</sup> siècles av. J.-C.  
(GABRICI 1913, Fig. 46.)





Fig. 145: Face A du « cratère du naufrage », provenant de la nécropole de San Montano à Pithécusses, daté de la fin VIII<sup>e</sup> siècle av. J.-C.

(BUCHNER & RIDGWAY 1983, Pl. CCV.)



Fig. 146: Face B du « cratère du naufrage », provenant de la nécropole de San Montano à Pithécusses, daté de la fin VIII<sup>e</sup> siècle av. J.-C.

(BUCHNER & RIDGWAY 1983, Pl. CCV.)

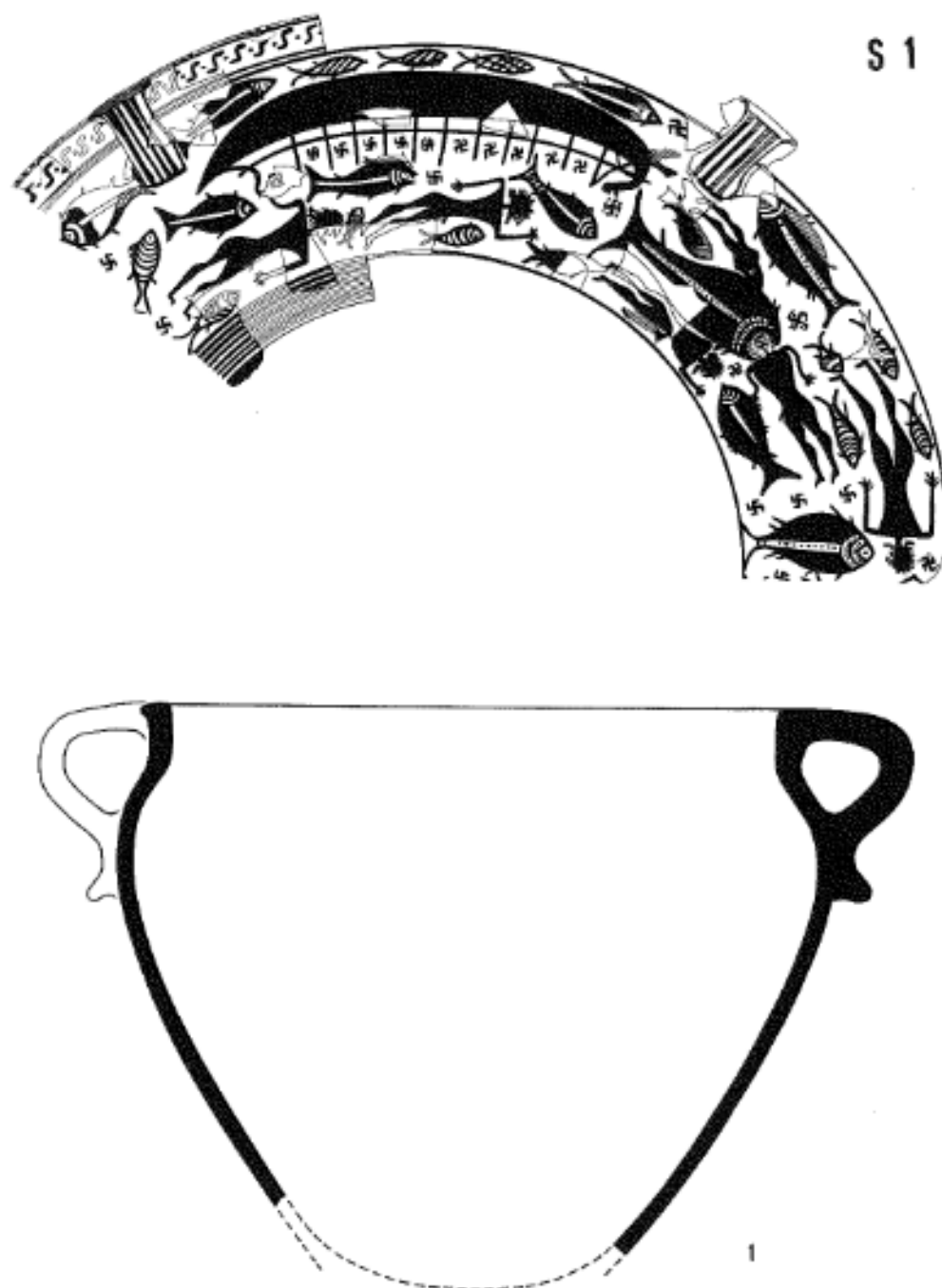


Fig. 147: Dessin du cratère du naufrage et son décor, provenant de la nécropole de San Montano à Pithécusses, daté de la fin VIII<sup>e</sup> siècle av. J.-C.

(BUCHNER & RIDGWAY 1983, Pl. 231.)



Fig. 4. Il deposito di reperti faunistici al momento del rinvenimento, US 32140.

Fig. 148: Dépôt funèbre (US 32140) proche des remparts nord de Cumes, avec des ossements fauniques dont ceux de chevaux encore en connexion anatomique (encerclés en rouge sur l'image), datés entre le VI<sup>e</sup> et V<sup>e</sup> siècle av. J.-C.

(LUPA, CARANNANTE & DELLA VECCHIA 2008-2009, Fig. 4. Modifiée par l'auteure).

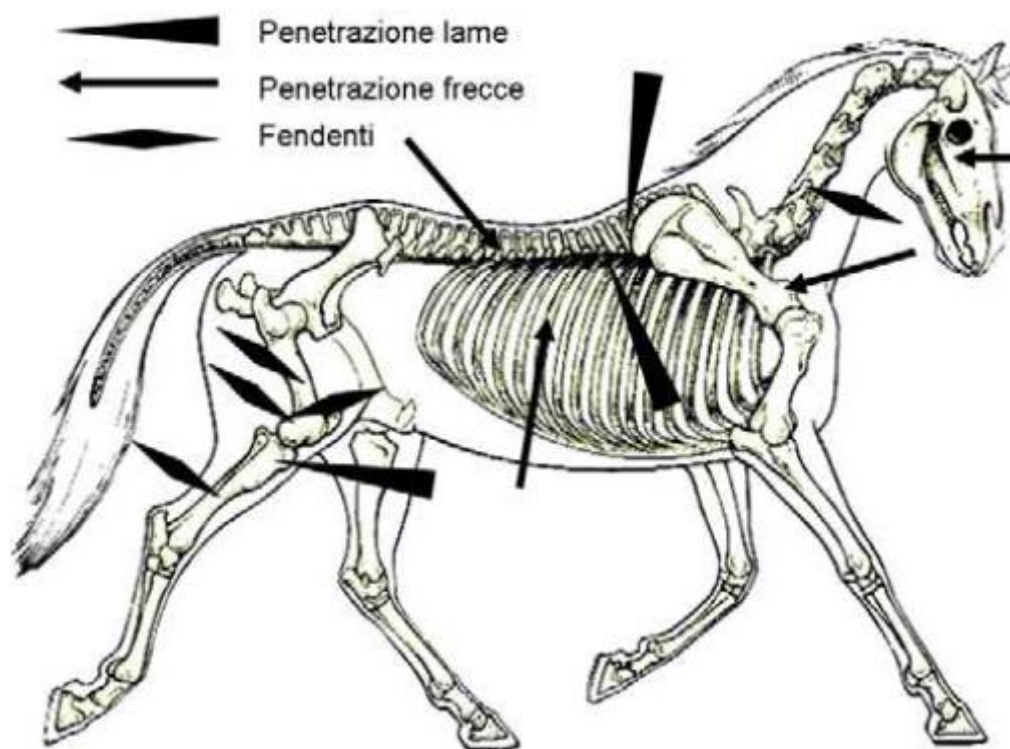


Fig. 149: Croquis des différentes zones retrouvées blessées sur les ossements équins de la fouilles dans l'US 32140.

(D'AGOSTINO & GIGLIO 2012, Fig. 170.)

Planche 109



Fig. 150: Photo d'une fracture profonde sur un fémur droit (?) d'un équidé, issu de l'US 32140.

(D'AGOSTINO & GIGLIO 2012, Fig. 167.)



Fig. 151: Photo de l'épiphyse du tibia droit d'un équidé marqué d'un coup tranchant, issu de l'US 32140.

(D'AGOSTINO & GIGLIO 2012, Fig. 163. Modifiée par l'auteure.)